Sanitized Copy Approved for Release 2010/04/14: CIA-RDP80T00246A038200360001-8

CE AGENCY

tains information affecting the National Defense of the United States within the meaning of the Espionage Laws, Title 793 and 794, the transmission or revelation of which in any manner to an unauthorized person is prohibited by law. 9-R-C-R-R-M

OCESSING COPY

25X1

COUNTRY

Czechoslovakia

REPORT

SUBJECT

Scientific Papers in the Field of Mathematical Machines and Instruments

DATE DISTR.

A NOV 1957

(In Czech)

NO. PAGES

2 🛫

ENCLOSURE ATTACHED

REQUIREMENT NO.

RD

PLEASE ROUTE

REFERENCES

25X1 25X1

SOURCE EVALUATIONS ARE DEFINITIVE. APPRAISAL OF CONTENT IS TENTATIVE.

scientific papers in Czech which were submitted for publication in the forthcoming annual report (#5-1951) (ic) of the Institute of Mathematical Machines and 26 Instruments of the Czechoslovak Academy of Sciences located in Practice. The authors, their affiliation, and the titles of the papers (in Czech) are as follows:

a. Ing. Jaroslav Maršik

VOACH Novaky

Jednoduchny vypocet optiminich p

regulacianh obvodu

b. Ing. Vaclar Pokerka

Vyscka skola zeleznicni.

Jednoducha numericka methoda pro

odezev regulacnich obvodu

c. Ing. Jiri Rippl

WIIT Praha

Ciselny vypocet odezvy nelinearniho a casove promenneho regulacniho systemu

d. Ing. Dr. Miroslav Salamen

VUACH Novaky

Impulsni modely

e. Ing. Milan Balda

Regula-vyvoj,

Elektromechanicky analogon regulacnich

obvodu eman 1 (sic) n.p. Praha

f. Ing. Jiri Haskovec

Praha, LAT-CSAV Projekt diferencialniho analysatoru laboratore pro automatisaci a telemech-

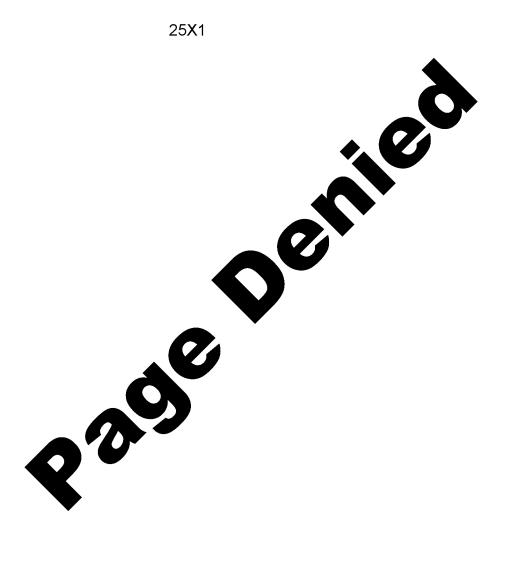
aniku CSAV

g. Ing. Vaclav Cerny and Ustav matematickych Methoda synthesy pakovych mechanismu Doc. Ing. Dr. Antonin stroju CSAV, Praha na diferencialnim analysatoru Svoboda

h. Prof. Dr. Ing. Zdenek Laborator pro auto matisici Pouziti harmonickeho Trnka, and Ing. Zdenek a telemechaniku CSAV Kotek CVUT

analysatoru v regulacni technice

Sanitized Copy Approved for Release 2010/04/14: CIA-RDP80T00246A038200360001-8



Sanitized Copy Approved for Release 2010/04/14 : CIA-RDP80T00246A038200360001-8

CENTRAL INTELLIGENCE AGENCY

This material contains information affecting the National Defense of the United States within the meaning of the Espionage Laws, Title 18, U.S.C. Secs. 793 and 794, the transmission or revelation of which in any manner to an unauthorized person is prohibited by law.

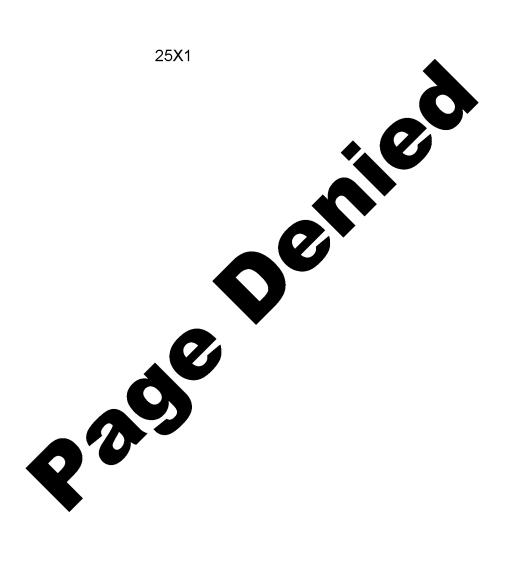
S-E-C-R-E-T 25X1 **REPORT** COUNTRY Czechoslovakia # NOV 1957 DATE DISTR. SUBJECT Scientific Papers in the Field of Mathematical Machines and Instruments NO. PAGES REQUIREMENT RD 25X1 REFERENCES 25X1

SOURCE EVALUATIONS ARE DEFINITIVE. APPRAISAL OF CONTENT IS TENTATIVE.

scientific papers in Czech which were submitted for publication in the forthcoming annual report (#5-1957) (sic) of the Institute of Mathematical Machines and Insuraments of the Czechoslovak Academy of Sciences located in Prague. The authors, their affiliation, and the titles of the papers (in Czech) are as follows:

- a. Ing. Jaroslav Marsik VJACH Novaky Jednoduchny vypocet optimilnich parametru regulaciich obvodu
- b. Ing. Vaclar Pokerka Vysoka skola Jednoducha numericka methoda pro vypocet zeleznicni odezev regulacnich obvodu
- c. Ing. First Rippl VOIT Praha Ciselny vypocet odezvy nelinearniho a casove promenneho regulacniho systemu
- d. Ing. Dr. Miroslav VUACH Novaky Impulsni modely Salamon
- e. Ing. Milan Balda Regula-vyvoj, Elektromechanicky analogon regulacnich n.p. Praha obvodu eman l (sic)
- f. Ing. Jiri Haskovec Praha, LAT-CSAV Projekt diferencialniho analysatoru laboratore pro automatisaci a telemechaniku CSAV
- g. Ing. Vaclav Cerny and Ustav matematickych Methoda synthesy pakovych mechanismu Doc. Ing. Dr. Antonin stroju CSAV, Praha na diferencialnim analysatoru Svoboda
- h. Prof. Dr. Ing. Zdenek Laborator pro automatisici Pouziti harmonickeho Trnka, and Ing. Zdenek a telemechaniku CSAV analysatoru v regulacni technice

Sanitized Copy Approved for Release 2010/04/14 : CIA-RDP80T00246A038200360001-8



Sanitized Copy Approved for Release 2010/04/14 : CIA-RDP80T00246A038200360001-8 **YCE AGENCY** stains information affecting the National Defense of the United States within the meaning of the Espionage Laws, Title 193 and 794, the transmission or revelation of which in any manner to an unauthorised person is prohibited by law. S-E-C-R-E-T PROCESSING COPY COUNTRY REPORT Czechoslovakia 4 NOV 1957 SUBJECT Scientific Papers in the Field of DATE DISTR. Mathematical Machines and Instruments 25X1 NO. PAGES (In (rech) FINGLOSURE ATTACHED REQUIREMENT NO. RD REFERENCES 25X1 PLACE & DATE ACC SOURCE EVALUATIONS ARE DEFINITIVE. APPRAISAL OF CONTENT IS TENTATIVE. scientific papers in Czech which were submitted for publication in the forthcoming annual report (#5-1951) (ic) of the Institute of Mathematical Machines and Instruments of the Czechoslovak Academy of Sciences located in Practice The authors, their affiliation, and the titles of the papers (in Czech) are as follows: a. Ing. Jaroslav Maršik VCACH Novaky Jednoduchny vypocet optimalnich reguladzich obvodu b. Ing. Vaclar Pokerka ka skola Jednoducha numericka methoda pro zelemicni. odezev regulacnich obvodu VUIT Praha c. Ing. Jiri Rippl Ciselny wypocet odezvy nelinearniho a casove promenneho regulacniho systemu d. Ing. Dr. Miroglav VUACH Novaky Impulsni modely Salamon Regula-vyvoj, e. Ing. Wilan Balda Elektromechanicky analogon regulacnich n.p. Praha obvodu eman 1 (sic) f. Ing. Jiri Haskovec Praha, LAT-CSAV Projekt diferencialniho analysatoru laboratore pro automatisaci a telemechaniku CSAV g. Ing. Vaclav Cerny and Ustav matematickych Methoda synthesy pakovych mechanismu Doc. Ing. Dr. Antonin stroju CSAV, Praha na diferencialnim analysatoru Svoboda h. Prof. Dr. Ing. Zdenek Laborator pro automatisica Pouziti harmonickeho Trnka, and Ing. Zdenek a telemechaniku CSAV analysatoru v regulacni technice i. Ing. Bohumil Mirtes VUT Praha Elektronicke methody analogickeho vypoctu S-E-C-R-R-T 25X1 Y NAVY OSL 25X1 Washington distribution indicated by "X"; Field distribution by "#".)



Sanitized Copy Approved for Release 2010/04/14 : CIA-RDP80T00246A038200360001-8 CENTRAL INTELLIGENCE AGENCY This material contains information affecting the National Defense of the United States within the meaning of the Espionage Laws, Title 18, U.S.C. Secs. 793 and 794, the transmission or revelation of which in any manner to an unauthorized person is prohibited by law. S-E-C-R-E-T

REPORT COUNTRY Czechoslovakia # NOV 1957 DATE DISTR. SUBJECT Scientific Papers in the Field of 25X1 Mathematical Machines and Instruments NO. PAGES REQUIREMENT NO. RD REFERENCES DATE OF 25X1

SOURCE EVALUATIONS ARE DEFINITIVE. APPRAISAL OF CONTENT IS TENTATIVE

scientific papers

25X1 .

in Czech which were submitted for publication in the forthcoming annual report (#5-1957) (sic) of the Institute of Mathematical Machines and Insuraments of the Czechoslovak Academy of Sciences located in Prague. The authors, their affiliation, and the titles of the papers (in Czech) are as follows:

b. Ing. Vaclar Pokerka

i. Ing. Bohumil Mirtes

VCACH Novaky Jednoduchny vypocet optimalnich parametru a. Ing. Jaroslav Marsik

regulacinh obvodu

obvodu eman 1 (sic)

Vysoka skola Jednoducha numericka methoda pro vypocet

odezev regulacnich obvodu zeleznicni

Ciselny vypocet odezvy nelinearniho a c. Ing. Simi Rippl VUIT Praha casove promenneho regulacniho systemu

Impulsni modely

VUACH Novaky d. Ing. Dr. Miroslav Salamon Regula-vyvoj, Elektromechanicky analogon regulacnich e. Ing. Milan Balda

f. Ing. Jiri Haskovec Praha, LAT-CSAV Projekt diferencialniho analysatoru

laboratore pro automatisaci a telemechaniku CSAV

g. Ing. Vaclav Cerny and Ustav matematickych Methoda synthesy pakovych mechanismu Doc. Ing. Dr. Antonin stroju CSAV, Praha na diferencialnim analysatoru

h. Prof. Dr. Ing. Zdenek Laborator pro automatisici Pouziti harmonickeho Trnka, and Ing. Zdenek a telemechaniku CSAV analysatoru v regulacni CVUT technice Kotek

n.p. Praha

Elektronicke methody VIT Praha analogickeho vypoctu S-E-C-R-E-T

STATE X NAVY X AIR OSL EV X (Note: Washington distribution indicated by "X"; Field distribution by "#".)

25X1





7. JEDNODUCHÝ VÝPOČET OPTIMÁLNÍCH PARAMETRŮ 25X1 REGULAČNÍCH OBVODŮ

Ing. Jaroslav Maršík VÚACH Nováky

Tato práce se zabývá jednoduchou methodou výpočtu optimálních hodnot konstant regulačního obvodu z jeho amplitudové frekvenční charakteristiky. Způsob, který je tu uveden, je speciálním případem výpočtu podle Sarto-RIOVY práce [1].

Hlavním autorovým příspěvkem je odvození vztahů, které umožňují značné zjednodušení výpočtů.

7.1. Úvod

Výpočet optimálních parametrů regulačního obvodu je při návrhu regulací důležitý, avšak obtížný problém, a to hlavně pro matematické nesnáze, které jsou s ním spojeny.

Všeobecně používaným kriteriem optimálnosti regulačního pochodu je kvadratická regulační plocha.

$$F = \int_0^\infty e^2(t) \, \mathrm{d}t \,, \tag{1}$$

která dává v operátorovém tvaru

$$F = \frac{1}{\pi} \int_{0}^{\infty} |r(\mathbf{j}\omega)|^{2} d\omega$$
 (2)

(kde $\epsilon(j\omega)$ je absolutní hodnota Fourierovy transformace regulační odchylky $\epsilon(t)$) velmi dobrý názor na kvalitu regulace.

Obecný výpočet integrálu (2) je však možný jen pro soustavy, jejichž přenos je racionální algebraickou funkcí, a je zpravidla velmi pracný.

Často bývá kromě požadavku minimálnosti regulační plochy ještě kladena podmínka malého přeregulování.

Jak bude ukázáno dále, dá se spojení těchto dvou požadavků využít k odvození optima bez výpočtu integrálu (2), a to fysikálně-matematickou úvahou, při čemž dostaneme obecné výsledky i pro složité soustavy pomérně snadno.

7.2. Odvození optima

Vycházejme ze dvou základních podmínek, v podstatě shodných se zmíněnými požadavky pro optimum:

- a) Hodnota regulační odchylky musí být co nejmenší.
- b) Ustáleného stavu regulačního pochodu musí být dosaženo co nejdříve, a pokud možno bez kmitů.

Pro operátorové vyjádření odchylky z toho vyplývá:

- a) |ε(jω)| musí mít co nejmenší hodnotu v nejširším rozsahu frekvencí.
- b) $|\varepsilon(j\omega)|$ musí mít monotonní průběh v závislosti na frekvenci bez resonančních vrcholů (poměr imaginární složky k reálné každého komplexního kořenu charakteristické rovnice funkce $\varepsilon(j\omega)$ nesmí být přiliš velký), aby bylo dostatečné tlumení kmitů.

Na základě těchto požadavků můžeme provést obecný rozbor regulačního obvodu, který se skládá z regulované soustavy s frekvenění charakteristikou S a regulátoru s charakteristikou R ($R = R(j\omega), S = S(j\omega)$).

V některém místě soustavy předpokládejme vznik poruchy, která působí změnu regulované veličiny. Tato změna bude závislá na tvaru poruchy, místě, kde vznikla, a na charakteru soustavy a regulátoru. Regulátor má za úkol tuto změnu co nejvíce a co nejrychleji zmenšit, at byla způsobena jakkoliv. Jeho funkci nejlépe zbodnotíme, porovnáme-li poměry před jeho zapojením a po něm.

Před zavedením regulace byla odchylka od žádané hodnoty ϵ_1 . Po připojení regulatoru se zmenší na hodnotu

$$\varepsilon_2 = \varepsilon_1 \, \frac{1}{1 + SR}$$

Aby byla regulace optimální, musí výraz $\frac{1}{1+SR}$ vyhovovat těmto podmínkám:

- a) Musí mít co nejmenší hodnotu v nejširším frekvenčním rozsahu,
- b) musí mít monotonní průběh závislosti na frekvenci.

Výraz $\frac{1}{1+SR}$ si můžeme vyjádřit účelněji ve tvaru

Jeho minimum bude nejlépe splněno při

$$F = \frac{SR}{1 + SR} \to 1. ag{5}$$

Pro soustavy, jejichž frekvenční charakteristika v závislosti na frekvenci klesá, nebo alespoň nestoupá, bude požadavek (5) nejlépe splněn při frekvenci nulové (za předpokladu monotonnosti).

Musíme se tedy snažit, aby byla hodnota funkce $F = \frac{SR}{1 + SR}$ rovna hodnotě pro frekvencí $\omega \to 0$, pokud možno v širokém rozsahu.

$$F \xrightarrow{1} F(0)$$
, (6)

$$\frac{SR}{1+SR} \stackrel{!}{\longrightarrow} \left(\frac{SR}{1+SR}\right)_{(\omega=0)}. \tag{7}$$

Vyhovuje-ji funkce F Bodeho podmínce vzájemné závislosti amplitudové a fázové charakteristiky, můžeme napsat podobný přibližný vztah i pro absolutní hodnota [F]:

$$\left|\frac{SR}{1+SR}\right| \stackrel{!}{\longrightarrow} \left(\frac{SR}{1+SR}\right)_{(\alpha=0)},\tag{8}$$

a tedy i pro dvojmoc absolutní hodnoty, které výhodně použijeme v dalším:

$$\left|\frac{SR}{1+SR}\right|^2 \stackrel{!}{\longrightarrow} \left(\frac{SR}{1+SR}\right)^2_{(\omega=0)}.$$

To platí jen přibližně a za uvedených předpokladů. Je-li totiž funkce F prakticky konstanta (je frekvenčně nezávislá v širokém rozsahu), je i posun fáze zanedbatelný, a vektor F můžeme sčítat s hodnotou $F_{(0)}$ algebraicky.

Tento postup má praktické odůvodnění, protože odstraní mnohé nemáze při, výpočtu. Zjednodušení, které jsme tím získali, není však na úkor dobřeho výsledku.

Jak si ukážeme na praktickém příkladě, může se této methody poušít i v připadě, že uvedená Bodeho podmínka není splněna (na př. u soustavy s dopravním zpožděním).

Ze vztahu (8) vyplývá, že absolutní hodnota frekvenční chárakteristiky |F| má být pokud možno co nejméně závislá na frekvenci. To platí i o její dvojmosi $|F|^2$. Aby funkce |F| měla tuto požadovanou vlastnost, musí mít co nejvíce nulových derivací v počátku (pro $\omega \to 0$), o čemž se přesvědčíme MacLaurinovým rozvojem v tomto bodě (ovšem jen za předpokladu, že funkce nemá v tomto bodě pól).

Absolutní hodnotu |F| dostaneme násobením funkce F funkci komplexně sdruženou F odmooněním:

$$F = VF \cdot F$$

kde

$$F = F_{(i\omega)}, \quad F \stackrel{\rightarrow}{=} F(-j\omega)$$

Protože plati pro $|F|^2$ obdobný vztah jako pro |F| použijeme přímo dvojmoci, aby odpadly obtižné operace s odmominou.

Dosadime-li výsledky z MacLaurinova rozvoje

$$|F|^2 = |F_{(0)}|^2 + |F_{(0)}|^{2'}\omega + \frac{1}{2!}|F_{(0)}|^{2''}...$$

do vzorce (9), dostaneme, že

$$[F_{(0)}]^{a'}\omega + \frac{1}{2!}[F_{(0)}]^{a''}\omega^{a} + \frac{1}{3!}[F_{(0)}]^{a''}\omega^{a}\dots\frac{1}{2!}0$$
. (10)

Protože $|F|^2$ je sudá funkce, jsou všechny liché derivace identicky nulové a výraz (10) přejde na

$$\frac{1}{2!}|F_{(0)}|^{g^*}\omega^2 + \frac{1}{4!}|F_{(0)}|^{grv}\omega^4 \dots \xrightarrow{1} 0. \tag{11}$$

Abychom se přiblížili tomuto požadavku, musí mít co nejvíce derivací nulovou hodnotu, jak již bylo řečeno.

Protože tyto derivace jsou funkcí konstant obvodu, obsahují též n hledaných parametrů regulátoru. Ty pak musí mít takovou hodnotu, aby platila podmínka nulové velikosti prvních n sudých derivací. Problém se tím převede na řešení algebraických rovnic.

To znamená, že musíme funkci F, která má tvar zlomku, násobit funkcí k ní komplexně sdruženou \overline{F} , abychom vypočítali dvojmoc její absolutní hodnoty, a tu potom 2n-krát derivovat.

To je však zdlouhavá práce, proto si ukážeme, jak se dá výpočet zjednodušit na základě některých vlastností methody i vyšetřované funkce.

7.3. Zjednodušení výpočtu

Máme-li již k disposici dvojmoc absolutní hodnoty funkce F ve tvaru

$$|F|^2 = \frac{|A|^2}{|B|^2},\tag{12}$$

nemusíme ji za daných okolností derivovat jako zlomek, ale postačí, kdýž zderivujeme čitatele a jmenovatele zvlášť a místo podmínky

$$\{|F|^2\}_{(w-0)}^{(k)} \stackrel{1}{=} 0 \quad (k=2,4,6,...,2n)$$
 (13)

zavedeme podminku

$$\left[\frac{\{|A|^2\}^{(k)}}{\{|B|^2\}^{(k)}} \stackrel{!}{=} |F|^2\right]_{(\omega=0)} \quad (k=2,4,6,...,2n) \,. \tag{14}$$

Důkaz. Stanovíme-li podmínku (13) pro k-tou derivaci a dosadíme-li do ní výsledky z téže podmínky pro všechny předešlé derivace, přejde vztah (13) na ekvivalentní výraz (14):

$$\left[(|F|^2)^{(1)} = \frac{\{|A|^2\}^{(1)}|B|^2 - |A|^2\{|B|^2\}^{(1)}}{|B|^4} \right]_{\omega = 0} \equiv 0.$$

$$\left[\frac{\{|A|^2\}^{(1)}}{\{|B|^2\}^{(1)}} = \frac{|A|^2}{|B|^2}\right]_{(\tilde{o} - 0)}.$$
 (15)

Napíšeme-li podmínku pro další derivaci a dosadíme-li výsledek ze vzorce (15), dostaneme:

$$\frac{\{|A|^3\}^{(3)}}{\{|B|^3\}^{(3)}} = \frac{|A|^3}{|B|^3}$$

Pokračujeme il takto postupne dale, dostaneme obecne vztah (14).

Tento výraz se dá ještě žjednodušil tím, to vhodným spůsobem obejdeme výpočet dvojmobí absolutních hodnot a vyjádříme si přímo jejich derivace.

$$|A|^2 = A\vec{A} = A(j\omega)A(--j\omega)$$

(podobně pro |B|*), bude m-tá derivace

$$\{|A|^2\}^{(m)} = \{A\overline{A}\}^{(m)}, \tag{17}$$

Použitím Leibaitzova vzorce pro derivaci součinu dostaneme:

$$\{|A|^{2}\}_{(\omega=0)}^{(m)} = \left[\sum_{k=0}^{m} {m \choose k} A^{(m-k)} A^{(k)}\right]_{(\omega=0)}$$

$$(18)$$

Abychom však nemuseli zbytečně počítat aní derivace komplexně sdruže ych funkci \hat{A} a \hat{B} , vyjádříme ai je pomocí ďaných funkci A a B. K tomu můžeme použit opět MacLaurinovy řady:

$$A = A_{(0)} + A'_{(0)}]\omega + A'_{(0)} \frac{(]\omega)^{n}}{2!} \dots + A'_{(0)} \frac{(]\omega)^{m}}{m!} ,$$
 (19)

$$\vec{A} = \vec{A}_{(0)} + \vec{A}_{(0)}' (-j\omega) + \vec{A}_{(0)}' \frac{(-j\omega)^n}{2!} \dots + \vec{A}_{(m)} \frac{(-j\omega)^m}{m!} .$$
 (20)

Porovnáním výrazů (19) a (20) zjistime, že oběcně

$$\bar{A}_{(0)}^{(m)} = (-1)^m \, \bar{A}_{(0)}^{(m)} \,, \tag{21}$$

tedy sudé derivace se rovnají, liché mají jen opačné znaménko.

Tentýž výsledek potvrzuje i základní definice Fourierovy transformace:

$$A = \int_{0}^{\infty} A(t) e^{-1\omega t} dt, \qquad (22)$$

$$\vec{A} = \int_{0}^{\infty} A(t) e^{j\omega t} dt. \qquad (23)$$

Derivujeme-li (22) a (23) pak pro $\omega=0$ najdeme stejný vztah jako (21). Po dosazeni (21) do (18) dostaneme:

$$\{|A|^2\}_{(\omega=0)}^{(m)} \left[\sum_{k=0}^{m} (-1)^k {m \choose k} A^{(m-k)} A^{(k)} \right]_{(\omega=0)}$$
 (24)

Podmínka optima (14) proto bude mít tento konečný tvar:

$$\begin{bmatrix} \sum_{k=0}^{m} (-1)^{k} {m \choose k} A^{(m-k)} A^{(k)} & \frac{1}{|B|^{k}} \\ \sum_{k=0}^{m} (-1)^{k} {m \choose k} B^{(m-k)} B^{(k)} & \frac{1}{|B|^{k}} \end{bmatrix}_{(\omega=0)}$$
(25)

(m=2, 4, 6, ..., 2n), (n=60očet volitelných konstant).

Máme-li tedy a volitelných konstant regulačního obvodu, postačí k výpočtu jejich optimálních hodnot znalost frekvenční charakteristiky a vzorce (25).

Uvedené methody můžeme použít i u lineárních impulsových regulací, u servomechanismů a zesilovačů se zpětnou vazbou, a to i tehdy, je-li frekvenční charakteristika dána experimentálně, a dá-li se nahradit analytickým

Některé příklady přispějí k vysvětlení této methody.

Příklad 1. Mějme regulovanou soustavu n-tého řádu $S=\frac{1}{(pr+1)^n}$ (všechny časové konstanty stejné, pro regulaci nejnepříznivější případ) a regulátor proporcionálně inte-

 $R=P+\frac{1}{pI}=\frac{pPI+1}{pI}$

 $\begin{tabular}{ll} \begin{tabular}{ll} \bf (kde\mbox{\it P}\mbox{\it jo}\mbox{\it proporcionální}\mbox{\it zesílení}\mbox{\it a}\mbox{\it I}\mbox{\it je}\mbox{\it integrační\mbox{\it časová konstanta}}. \\ \begin{tabular}{ll} \bf Přenos\mbox{\it regulacního}\mbox{\it obvodu\mbox{\it podle}\mbox{\it vzorce}} \mbox{\it (5)}\mbox{\it bude}; \\ \end{tabular}$

$$F(p) = \frac{pPI + 1}{pI(p\tau + 1) + pPI + 1}.$$

Hledáme optimální hodnoty P a I.

niecame oprimam neomoty I a I. **K** tomu potřebujeme dvě podmínky podle vzorce (25) (jednu pro m=2 a druhou pro m=4), tedy první čtyři derivace čitatele a jmenovatele funkce F(p) pro p=0.

Derivace čitatele:

Derivace jmenovatele:

Podmínky optima jsou (v. vz. (25)):

a) pro m = 2:

$$\frac{-\ 2P^2I^2}{4n\tau I\ -\ 2\delta I^2(1\ +\ P)^2}\stackrel{!}{=} 1\ ;$$

b) pro m = 4:

$$\frac{0}{8\binom{n}{3}3\ 6\tau^3I -\ 24\binom{n}{2}2} \frac{0}{\tau^2I^2(1+P) + 6\cdot 4n^2I^2\tau^2} \stackrel{!}{=} 1 \ .$$

$$I=rac{2n au}{1+2P}$$
 ;

$$\frac{(n-1)(n-2)\,\tau}{3[P(n-1)-1]}\,.$$

$$P=\frac{n+2}{4(n-1)},$$

$$I=\tfrac{4}{3}(n-1)\,\tau\,.$$

Abychom se přesvědčili, zda tyto výsledky jsou použitelné i pro s značně větší než je počet volitelných podmínek, provedome si kontrolu stability:

Je-li $n \geqslant 2$, bude $P \rightarrow 1$.

Dosadíme-li tyto hodnoty do přenosu rozpojeného regulačního obvodu

$$RS = \frac{pPI + 1}{pI(p\tau + 1)^n} \ ,$$

bude jeho absolutní velikost

$$|RS| \rightarrow \left| \frac{1}{4(p\tau+1)^n} \right| < 1.$$

Protože tato hodnota je značně manší než jednička, je soustava stabilní (i přesto, že stojná velikost všech časových konstant činí soustavu nejméně způsobilou ke kvalitaí regulaci). Můžeme se tedy domnívat, že správný výsledek dostaneme i v jiných případech, od potvrzuje i další příklad.

Příkiad 2. Mějme regulovat soustavu nultého řádu s dopravním zpožděním proporcio-nálním regulátorem. Víme, že je to prakticky nemožné, protože regulační pochod je vždy kmitavý, a nestabilita nastává již při jednotkovém zesílení. Přenos regulační soustavy podle vzorce (5) je:

$$F(p) = \frac{P e^{-pTd}}{1 + P e^{-pTd}}$$

Podminka optima je:

$$\frac{0}{2T_d^2(1+P)-2T_d^2} = \frac{P^2}{(1+P)^2} .$$

$$2T_d^2(1+P)-2T_d^2=0$$

což vyplývá i z logické úvahy.

Příklad 3. Soustava prvního řádu s dopravním zpožděním

$$S = \frac{e^{-pTd}}{p\tau + 1}$$

a proporcionálně integrační regulátor

$$R = \frac{pPI + 1}{pI} \ .$$

Přenos podle (5):

$$F(p) = \frac{pPI + 1}{pI(p\tau + 1) e^{pTd} + pPI + 1}.$$

Podmínky optima:

$$\frac{-2P^{2}I^{2}}{4I(T_{d}+\tau)-2I^{2}(1+P)^{2}}\stackrel{!}{=}1\ ,$$

ы

$$\frac{0}{8lT_d^2(T_d+3\tau)-24l^2T_d(T_d+2\tau)(1+P)+24l^2(T_d+\tau)^3} = 1 \ .$$

Další úpravou a po zavedení poměrných veličin, vztažených k časové konstantě τ ,

b)

$$i(1+2P)-2(d+1)=0,$$

$$d^{2}(d+3) = 3id(d+2)(1+P) + 3i(d+1)^{2} = 0$$

kde $d = \frac{T\tau}{\tau}$ je poměrné dopravní zpoždění, $i = \frac{I}{\tau}$.

Výsledky řešení těchto rovnic jsou na obr. 1.

Příklad 4. Soustava stejná jako v předešlém příkladě, regulátor PID s přenosem

$$R = \frac{p^2DI + pPI + 1}{pI},$$

kde D je derivační časová konstanta.

Přenos podle vzorce (5):

$$F = \frac{p^2DI + pPI + 1}{e^{p\tau d}pI(p\tau + 1) + p^2DI + pPI + 1}$$

Výsledky, získané obdobně jako v předešlých příkladech, ukazuje obr. 2.

Porovnáním obr. 1 a 2 zjistíme, že přidání derivační složky poněkud zlepšilo regulaci, protože umožňuje celkově větší zesílení regulátoru (větší P a menší I).

Je nutno upozornit, že soustava s dopravním zpožděním nesplňuje zmíněnou Bodeho podmínku jednoznačné závislosti fáze a absolutní hodnoty frekvenční charakteristiky, proto se může stát, že pro větší hodnoty vypočítané derivační konstanty bude regulace estabilní u vyšších frekvencí. U běžných soustav bez dopravního zpoždění stačí zabránit možným oscilacím u nejnižších frekvencí, aby bylo zaručeno, že kmity nenastanou ani

u vyšších. (Zesílení pro vyšší kmitočty klesá.) Oblast hodnoty $\delta = \frac{D}{\tau}$, zakreslená v obr. 2 však dává stabilní regulační pochod.

Na servomechanismus můžeme aplikovat výpočet beze změn, protože přenosová funkce

$$F = \frac{RS}{1 + RS}$$

je obdobná přenosu servomechanismů,

Máme-li servomechanismus s přenosem n-tého stupně a n-1 volitelnými konstantami, obdržíme výsledky, které jsou u servomechanismů prvního typu úplně shodné s Whiteleyho standardními tvary (viz práci [2] v seznamu literatury).

7.4. Závěr

Z uvedených přikladů (a zvláště z prvního) je zřejmé, že výsledky, které jenie získali, odpovídají dosti přísným požadavkům kvality přechodných průběhů, neboť je dovoleno poměrně malé zesílení, které je značně menší než kritické. To potvrdily i jiné příklady, které tu nejsou uvedeny. Protože výsledky jsou úplně obeoné a jejich získání je velmi snadné, znamená tento způsob výpočtu značné ulehčení práce při návrhu regulací.

7.5. Dodatek

Podnět k této práci byl dán článkem [1], kde je optimum odvozeno jiným způsobem. Jeho autor, H. Sartorius, vychází z podmínky monotonnosti frekvenčního spektra regulační odchylky, v němž uvažuje i tvar i místo poruchy. Za předpokladu, že je tato podmínka splněna, se domnívá, že může použít jako kriteria kvality regulace lineární regulační plochy, protože regulační pochod není kmitavý. (Není to sice vždy pravda, ale tlumení je dobré, takže lze tuto okolnost připustit.)

Je vyšetřováno frekvenční spektrum (dvojmoc absolutní hodnoty Fourierovy transformace) regulační odchylky, které se obecně může napsat ve tvaru:

$$J(\omega^2) = \frac{Z(\omega^2)}{N(\omega^2)} = \frac{B_n \omega^{2n} + B_{n-1} \omega^{2(n-1)} + \dots B_0}{A_m \omega^{2m} + A_{m-1} \omega^{2(m-1)} \dots A_0}$$

Podmínkou monotonnosti této funkce je, aby

$$rac{B_0}{A_0} \geq rac{B_\mu}{A_\mu} \;\; {
m tedy} \;\; J_{(0)} \geq rac{B_\mu}{A_\mu}$$

kde B_{μ} a A_{μ} jsou koeficienty u stejné moeniny frekvence $\omega.~J_{(0)}$ je dvojmoe lineární regulační plochy.

Dále je užito vztahu mezi funkcí Ja jejími sudými derivacemi v bodě $\omega = 0$

$$Z_{0} = J_{(0)}N_{(0)},$$

$$Z_{(0)}'' = J_{(0)}'N_{(0)} + 2J_{(0)}'N_{(0)}' + J_{(0)}N_{(0)}'',$$

$$J_{(0)} = \frac{Z_{(0)}''}{N_{(0)}''} - \frac{N_{(0)}}{N_{(0)}'}J_{(0)}''.$$
(28)

Protože

$$\frac{Z''_{(0)}}{N''_{(0)}} = \frac{B_2}{A_2}$$
,

bude

$$I = \frac{B_2}{A_0} - \frac{A_0}{A_0} J_0^{\mu} \tag{29}$$

Dosazením (29) do (27) obdržíme:

$$\frac{B_2}{A_2} - \frac{A_0}{A_2} J_{(0)}'' \ge \frac{A_2}{B_2} \,. \tag{30}$$

Tento vztah je splněn jen pro

$$J''_{(0)} \leq 0$$

 $J_{(0)}$ bude mít minimum pro $J_{(0)}''=0$, jak je vidět z výrazu (30). Pro $J_{(0)}''<0$, $J_{(0)}$ roste, pro $J_{(0)}''>0$ není možné vyhovět požadavkům (27) a (30).

První podmínkou optima bude tedy

$$J_{(0)}'' \stackrel{!}{=} 0$$
 nebo $\frac{B_0}{A_0} \stackrel{!}{=} \frac{B_0}{A_0}$

 $J_{(0)}' \stackrel{!}{=} 0 \quad \text{nebo} \quad \frac{B_0}{A_1} \stackrel{!}{=} \frac{B_0}{A_0} \,.$ Podobným způsobem lze odvodit ze vztahů $J_{(0)}$ s jejími vyššími derivacemi:

$$J_{00}^{(2\mu)} \stackrel{!}{=} 0$$
 nebo $\frac{B_{\mu}}{A_{\mu}} \stackrel{!}{=} \frac{B_{0}}{A_{0}}$, $(\mu = 1, 2, 3, ..., m)$.

Jak vidíme, je to stejná podmínka, jaká byla odvozena v této práci, jenže obecnější, protože počítá nejen s vlastnostmi regulačního obvodu, ale i s poruchami.

Podle charakteru poruchy se řídí nastavení parametrů regulátoru.

Na př. při poruchách s povlovným náběhem není nebezpečí velikého přeregulování, i když sám regulační obvod má sklony ke kmitání, protože složky spektra poruchy, jejichž frekvence se bliží resonanční frekvenci obvodu, jsou malé. V tomto případě si můžeme dovolit větší zesilení a tím dosáhnout zmenšeni regulačni plochy.

Podmínka pro minimum frekvenčního spektra v bodě $\omega=0$ není pouze $oldsymbol{ ext{podminkou}}$ pro minimum linearni regulačni plochy ($J_{(0)}$ je dvojmoc této plochy), neboť platí přibližně i pro minimum kvadratické plochy, vázané ovšem tím, že frekvenění spektrum nesmí mít vrchol převyšující hodnotu v jeho počátku.

Zvyšujeme-li totiž zesílení, klesá sice $J_{(\mathfrak{d})}$, a tím i regulační plocha (i kvadratická), ala zmenšuje se též tlumení, a může se objevit resonanční vrchol. Pro dosažení minima plochy by bylo možno zesílení ještě poněkud zvětšit, avšak požadavek, aby nebýl resonanční vrchol, tomu brání. Tento požadavek je tedy rozhodující. Aby tedy spektrum odchylky nemělo nežádoucí vrchol, nesmí od počátku a rostoucí frekvenci vzrůstat – musí být pokud možno konstantní.

Tomu odpovídají nulové derivace v počátku.

Při výpočtu optima tímto způsobem narážíme často na nutnost řešení algebraických rovnie řádu vyššího než druhého (na př. u PID regulátoru a soustavy s dopravním zpožděním). Ve speciálním případě, odvozeném autorem tohoto článku, se tato nesnáz obchází tím, že je vyšetřována jen frekvenční charakteristika samotného řegulačního obvodu bez ohledu na tvar poruchy (tedy vlastně pro poruchu tvaru jednotkového impulsu na výstupu soustavy, což je nejméně příznivé pro regulaci), při čemž bylo možno zavésti přibližné vztahy 3 + 9. Podrobnějším rozborem se dá ukázat, že tato přibližnost má za následek, že se ve výpočtech vyskytují algebraické rovnice nejvýše druhého stupně (na př. případ na obr. 2 a 3 vedl jen k řešení lineárních rovnic). Výsledky získané tímto způsobem platí sice pro přísnější podmínky pro kvalitu regulace, ale to snad nemůže být na závadu, zejména ne u případů, kde máme k disposici jen málo volitelných konstant ve srovnání s řádem soustavy.

Literatura

^[1] H. Sartorius, Angepasste Regelsysteme. Regelungstechnik 2, 1954.

^[2] A. L. Whiteley, Theory of servo systems, with particular reference to stabilize Journ. of the Inst. of Electr. Eng., vol. 93, part II, 1946.

Ing. Václav Peterka Vysoká škola železniční, Praha

8.1 Úvod

Při návrhu regulace nejrůznějších zařízení bývá často třeba alespoň přibližně znát chování soustavy při působení rušivých vlivů. Jelikož časový průběh rušivé veličiny (vstupu) může být nejrůznějšíle tvaru, vyšetřuje se zpravidla odezva regulační soustavy v případě nejnepříznivějším, t. j. při změně vstupu skokem, nebo se vyšetřuje cdezva na jednotkový impuls. Chování regulační soustavy popisuje soustava integrodiferenciálních rovnic, které ve většině případů spojitě regulače lze pro malé výchylky linearisovat. Eliminací veličin, které nás nezajímají, záskáme lineární diferenciální rovnici, která určuje závislost výstupu regulačního obvodu na jeho vstupu (časového průběhu regulované veličiny na průběhu rušivé veličiny).

K analytickému řešení takovéto diferenciální rovnice je třeba určit kořeny její charakteristické rovnice, což činí obtíže u ro vie vysokých stupňů. Moderní operátorové methody řešení lincární diferenciální rovnice značně urychlí, zejména snadným zavedením počátečních podminek, avšak nutnost stanovení kořenů charakteristické rovnice neodstraní. Proto byla vedle diferenciálních analysátorů, analogonů a jiných počítacích pomůcek, které nemá praktik vždy po ruce, vypracována řada method, které nevyžadují znalost kořenů charakteristické rovnice. U těchto moderních výpočtových method můžeme pozorovat v dosavadním vývojí dva hlavní směry.

První skupina těchto method využívá souvislosti mezi odezvou a frekvenční charakteristikou (nebo zobeonělou frekvenční charakteristikou). Patří sem na př. methoda Solodovnikovova [1], Floydova [2] a Leonhardova [3, 4].

Druhý směr tvoří methody, které vycházejí z nahrazení časových fuukcí řadou impulsů různých tvarů. Z těchto method uvedme alespoň methodu Tustinovu [5] a v poslední době publikovanou methodu BOXERA a THALERA [6].

Methody prvé skupiny jsou většinou graficko-numerické nebo používají i mechanických pomůcek, kdežto methody druhé skupiny jsou čistě numerické. K nevýhodám druhé skupiny patří, že k porozimění těchto method je třeba vyšších theoretických znalostí, takže stěží mohou nalézt uplatnění v širokém okruhu zájemoů z praxe. Naproti tomu methody vycházející z frekvenční charakteristiky jsou dobře srozumitelné, avšak jenom vynesení frekvenční charakteristiky, které je většinou třeba provádět bod po bodu, zabere mnoho času, takže praktik často od výpočtu radějí upustí.

Z těchto důvodů jsme se na katedře strojní mechaniky Vysoké školy železniční z popudu doc. Ing. Dr Nekolného zabývali hledáním jiných numerických method, které by byly jednoduché a rychle vedly k cíli. Jedním z výsledků této snahy je předkládaná práce.

Uváděná methoda předpokládá znalost jenom několika základních pravidel operátorového počtu, založeného na Laplaceově transformaci, který je v theorii samočinné regulace běžně používán. Spočívá na numerickém řešení integrální rovnice Volterrovy druhého typu, na kterou lze diferenciální rovnici přechodového procesu vždy převésti. Při tom k vyčíslení integrálu v ní se vyskytujícího (konvolutorního integrálu) je použíto všeobecně známého lichoběžníkového pravidla. To umožňuje upravit numerické vyčíslení průběhu odezvy do přehledné tabulky, kterou stačí mechanicky vyplnit. Postup při praktickém výpočtu je zřejmý z připojených příkladů.

8.2. Numerický výpočet odezvy regulačního obvodu, je-li dán jeho přenos v operátorovém tvaru

Vyjádříme-li z transformované diferenciální rovnice (resp. soustavy takových rovnic) popisující chování regulační soustavy, obraz výstupu Y(p), obdržíme pro případ, že byla soustava na počátku v klidu:

$$Y(p) = D(p) X(p)$$
,

kde X(p) je obraz vstupu (rozruchové funkce) a výraz D(p) označujeme jako přenos regulačního obvodu mezi vstupem a výstupem. Výraz pro obraz výstupu lze vždy upravit do tvaru

$$Y(p) = \frac{U(p)}{1 + Z(p)}, \qquad (1)$$

kde U(p) a Z(p) jsou funkce komplexní proměnné p, u kterých známe póly, takže můžeme postupem v operátorovém počtu obvyklým nalézt jim příslušné originály. Funkce U(p) a Z(p) nejsou dány jednoznačně a jejich výběr lze provésti řízně, jak si ukážeme dále.

Na možnost takovéto úpravy Laplaceova obrazu odezvy ukazuje prof. BLOCH ve svém příspěvku do sborníku vědeckých prací Moskevského inženýrskofysikálního institutu [7] a využívá jí k přibližnému řešení odezvy tak, že provedo ve vztahu (1) naznačené dělení a dostane nekonečnou řadu

$$Y(p) = U(p) - U(p) Z(p) + U(p) Z^{2}(p) - \dots$$
 (2)

Jelikož známe pdly funkcí U(p) a $Z(\hat{\mathfrak{p}})$, známe i póly všech članů řady (2) a můeme k nim snadno nalézt originály

$$y(t) = u(t) + u_1(t) + u_2(t) + \dots$$
 (8)

Důkas konvergence řady funkcí (3) provádí prof. Blobh tak, že celou rovnicí (1) násobí fuenovatálem pravé strany a jednoduchou úpravou obdrží vztah

$$Y(p) = U(p) - Z(p) Y(p)$$

aŭ na prave strane odpovida konvoluce jejich originalu, także mu-

$$\int_{\mathbb{R}^n} g(t) \, \mu(t) = \int_{\mathbb{R}^n} s(t-\tau) \, g(\tau) \, d\tau \,, \tag{4}$$

kde y(i), u(i) a z(i) jsou originály k obrazům T(p), U(p) a Z(p).

Timto způsobam obdržíme Velterrovu integrální rovnici druhého typu, o které je známo; že rozvodena v žadů (8) konverguje pro libovolné koncéné i. Je sřejmé, že tate přiblišná methoda výpočeu odezvy regulačního obvodu pomotí řady funkců (3) je jen taddy portizená, můžeme-il se omežit jen na několik mále dlank týte řídy. Zavěcema šlite dlaku prof. Bloch poznamenává, že to lze učinit staleka negvidy a ze sejmění ode slunku prof. Bloch poznamenává, že to lze učinit staleka negvidy a ze sejmění ode slunku prof. Bloch podvění v kontře v častalního je z zlunku vy a velkým koeficientem zesílení by bylo třebě profvění v kontře v častalního je z Z(p), aby bylo dosašeno potřebné přesnost při měžiní je zavěne v častalního obvodu pomotí řady funkcí (3) a věmenou se na se na pomotí řady funkcí (3) a věmenou se na se na

řady funkcí (3) užívá pouze k d

na pravé štraně sevnice (4) a nalezněme přilinave prav pre jeho hodnotu pomocí lichoběžníkového pravidla. Za tini desem predpokládejme na chvili, že známe průběh odezvy y(t) a že má na př. tvar podle obr. 1. Funkce z(t) nechť má průběh podle obr. 2.

Abychom rozlišili proměnnou, podle které integraci provádíme, a horní mez integrálu, zavádíme označení τ pro čas, který můžeme nazvat "uplynulým" na rozdíl od času t, "právě probíhajícího". Názornou představu o hodnotě integrálu I získáme tím, že oba průběhy z obr. 1 a 2 nakreslime nad sebe tak, že jeden z nich, na př. $z(\tau)$, kreslíme jako zrcadlový obraz vzhledem k ose pořadnic a počátky obou průběhů posuneme od sebe o vzdálenost odpovidající času právě uvašovaného okamžiku (obr. 3). Hodnota konvolutorního integrálu I je pak určena plochou pod křívkou, jejíž pořadnice jsou dány součinem pořadnic z a y na téže vertikále. Rozdělime časový interval t na k přiměřeně malých dílků Δ a ploshu odporičající konvolutornímu integrálu nahradíme součem plosh lichoběníků tvo ných pořadnicemi křivky po úsecích Δ . Postup je zřejmý z obs. 3. Pořednik tunkci $z(\tau)$ a $y(\tau)$ po intervalech Δ označujeme indexy tak, Obr. 8.

jak sa sebog následují od počátků. Konvolutorní integrál můžeme podle toho vyjátřítí přiblikném výrazem
$$I = \langle y_i z_i + y_i z_{i-1} + y_i z_{i-2} + \dots + y_{k-1} z_1 + \frac{1}{2} y_i z_0 \rangle A = \frac{1}{2} z_k A + y_k \frac{z_{k-1}}{2} + \sum_{i=1}^{k-1} y_i z_{k-1} A \quad \text{pro} \quad k \ge 1 \,, \qquad (5)$$

$$I = 0 \dots \text{pro} \quad k = 0 \,.$$

Uvažujeme-li hodnoty funkci po intervalech Δ , můžeme Volterrovu integrální rovnici (4) nahradit přibližným vztahém

$$y_k = u_k - \frac{y_0}{2} s_k \Delta - y_k \frac{z_0 \Delta}{2} - \sum_{i=1}^{k-1} y_i z_{k-i} \Delta$$

Jednoduchou úpravou získáme

$$y_k \left(1 + \frac{z_0 \Delta}{2}\right) = u_k - \frac{y_0}{2} z_k \Delta - \sum_{i=1}^{k-1} y_i z_{k-i} \Delta$$

a označíme-li

$$1 + \frac{1}{z_0 \underline{A}} = x \; ; \quad u_k x = \overline{u}_k \; ; \quad z_k \underline{A} x = \overline{z}_k \; , \tag{6}$$

můžeme psát

$$y_k = \bar{u}_k - \frac{y_0}{2}\bar{z}_k - \sum_{k=1}^{k-1} y_k \bar{z}_{k-k} \dots k \ge 1,$$
 (7)

 $y_0=u_0$ (bez pruhu). Tak dostáváme rekurentní relaci, která nám umožňuje určení hodnoty odezvy y_k ze známé předchozí hodnoty y_{k-1} . Potřebné hodnoty funkcí u(t) a z(t)vyčíslíme postupem v operátorovém počtu obvyklým, neboť póly jejich obrazů jsou známé.

O tom, jak je relace (7) vhodná pro vyčíslení průběhu odezvy, se přesvědčíme, rozvedeme-li ji podle k.

$$\begin{aligned} y_0 &= u_0 \,, \\ y_1 &= \bar{u}_1 - \frac{y_0}{2} \, \bar{z}_1 \,, \\ y_2 &= \bar{u}_2 - \frac{y_0}{2} \, z_2 - y_1 \bar{z}_1 \,, \\ y_3 &= \bar{u}_3 - \frac{y_0}{2} \, \bar{z}_3 - y_1 \bar{z}_2 - y_2 \bar{z}_1 \,, \\ y_4 &= \bar{u}_4 - \frac{y_0}{2} \, \bar{z}_4 - y_1 \bar{z}_3 - y_2 \bar{z}_2 - y_3 \bar{z}_1 \,, \end{aligned}$$

Vidíme, že tak dostáváme velmi vhodnou šablonu pro postupné vyčíslení bodů odezvy.

Při výpočtu můžeme postupovat přehledně podle tabulky 1. Hodnoty $u_0, \overline{u}_1, \overline{u}_2, \overline{u}_3$ atd.. až do času, do kterého cheeme odezvu sledovat, vyplšeme do prvého sloupce za silnější svislou čarou. Hodnoty z_1, \overline{z}_2, z_3 atd. vyplšeme nalevo od silné čáry avšak o řádek výše. Hodnota u_0 je zároveň hodnotou y_0 a přepišeme ji proto nad další volný sloupce. Záporně vzatou polovinou této hodnoty pronásobíme hodnoty $\overline{z}_1, \overline{z}_2, \overline{z}_3$ atd. a výsledky tohoto násobení. píšeme do sloupce pod hodnotu y_0 , počínaje řádkem o jeden nižším, než je u_0 , tak jako bychom hodnoty $\overline{z}_{1,223}, \dots$ posunuli řádkem o jeden nižším, než je u_0 , tak jako bychom hodnoty $\overline{z}_{1,223}, \dots$ posunuli po úhlopříčec vpravo dolů. Sečteme řádek počínající \overline{u}_1 a výsledek y_1 napíšeme nad další volný sloupce. Pronásobíme hodnotou y_2 všechna z a jednotlivé součiny píšeme do sloupce pod y_1 opěto řádek níže. Sečtením dalšího řádku dostáváme hodnotu y_2 a tak postupujeme stále dál. Na nejhořejší řádce se nám postupně řadí hodnoty hledané odezvy po časových intervalech A. Výpočet si usnadníme tím, že si hodnoty $\overline{z}_1, \overline{z}_1, \overline{z}_2$ atd. vyplšeme na proužek papíru, kterým pak posouváme.

V mnoha praktických případech je $z_0=0$ a tudíž $\varkappa=1$, takže redukci koeficientem \varkappa není třeba provádět.

_ . . .

2,		y ₀	y ₁	y ₂	y ₃	94
ī,	u ₀				*:	
ž,	ū,	$-\frac{y_0}{2}\tilde{z}_1$		1 is		
š,	ũ,	$-\frac{y_0}{2}\dot{z}_2$	$-y_1\dot{z_1}$			
:	ũ,	$-\frac{y_0}{2}$ z_s	- y ₁ z̄ ₄	$-y_1\bar{z}_1$		
:	ū,	$-\frac{y_0}{2}i_4$	$-y_1\bar{z}_8$	- y ₁ z̄ ₁	— y ₃ z̄ ₁	
•		•	•		•	* 1,52
:	1 :	:	:	1 : 1	:	

Volba funkcí U(p), Z(p) a intervalu Δ .

V předchozím výkladu jsme si ukázali, jak lze diferenciální rovnici přechodového procesu lineární regulační soustavy převést na integrální rovnici Volterrovu druhého typu a jak lze tuto rovnici numericky řešit pomocí tabulky l. Při tom jsme předpokládali Laplaceův obraz výstupu již upravený do tvaru

$$Y(p) = \frac{U(p)}{1 + Z(p)} , \qquad (1)$$

kde U(p) s-Z(p) jsou funkce komplexní proměnné p_i k nimž umíme jednoduše nalézt příslušné originály. Funkce U(p) a Z(p) je možno volit různě. Všimneme si zde jen dvou možností jejich volby, které se jeví s hlediska rychlosti výpočtu nejvýhodnější.

První z nich spočívá na tom, že přenos, resp. diferenciální rovnici přechodového procesu, která bývá často velmi vysokého řádu, získáváme eliminací proměnných ze soustavy diferenciálních rovnic popisujících chování jednotlivých členů soustavy. Pro jednoduchost a názornost výkladu ukážeme si postup na soustavě dvou simultánních diferenciálních rovnic, jež transformovány mají tvar

$$\begin{split} D_{11}X_1 + D_{21}X_2 &= R_0 \,, \\ D_{12}X_1 + D_{22}X_2 &= R_2 \,, \end{split}$$

kde D jsou lineární diferenciální operátory typu $Ap^2 + Bp + C$, X obrazy neznámých funkcí a R jsou obrazy rozruchových funkcí (není-li soustava na počátku v klidu, jsou k nim zahrnuty i operátory počátečních podmínek). Kořeny operátorů D snadno určíme, neboť, popisují-li fysikální soustavu, by vají maximálně druhého řádu. Budiž na př. X_1 obrazem výstupu regulační soustavy, který vyšetřujeme. Řešení soustavy rovnic (6) podle této neznámé můzeme upravit do tyzu:

$$X_1 = \frac{R_1D_{22} - D_{21}R_2}{D_{11}D_{22} - D_{21}D_{12}} = \frac{\frac{R_1D_{22} - D_{11}R_2}{D_{11}D_{22}}}{1 - \frac{D_{21}D_{12}}{D_{11}D_{22}}} = \frac{U(p)}{1 + Z(p)},$$

kde jsme čitatele i jmenovatele dělili součinem operátorů $D_{11}D_{22}$ za předpokladu, že $D_{11}D_{22}$ je vyššího nebo maximálně stejného řádu jako $D_{21}D_{12}$. Kdyby tomu tak nebylo, provedli bychom dělení součinem operátorů $D_{21}D_{12}$.

U soustavy libovolného počtu simultánních diferenciálních rovnie bude postup stejný, jenom ve jmenovatelích funkcí U(p) a Z(p) se objeví součin většího počtu operátorů a v čitatelích se objeví další členy. Protože ve jmenovatelích obou výrazů U(p) a Z(p) jsou pouze součiny operátorů, jejichž kořeny známe, můžeme k nim snadno nalézt originály u(t) a z(t).

V podstatě týmž postupem lze provést úpravu obrazu výstupu, je-li dáno blokové schema regulačního obvodu s přenosy jednotlivých článků (viz připojený příklad 1 a 3).

Jiná možnost je, že obraz odezvy regulační soustavy upravíme do obvyklého

$$y(p) = \frac{b_{n}p^{m} + b_{n}p^{m-1} + b_{2}p^{m-2} + \dots + b_{m-1}p + b_{m}}{p^{m-1} + a_{2}p^{m-2} + \dots + a_{n-1}p + a_{n}}, m < n.$$
 (9)

Čitatele i jmenovatele tohoto výrazu dělíme p^n a obdržíme:

$$Y(p) = \frac{\frac{b_1}{p^{n-m+1}} + \frac{b_1}{p^{n-m+1}} + \frac{b_2}{p^{n-m+2}} + \dots + \frac{b_{m-1}}{p^{n-1}} + \frac{b_m}{p^n}}{1 + \frac{a_1}{p} + \frac{a_2}{p^2} + \dots + \frac{a_{n-1}}{p^{m-1}} + \frac{a_n}{p^n}}.$$

Potom jest

$$U(p) = \frac{b_0}{p^{n-m}} + \frac{b_1}{p^{n-m+1}} + \frac{b_2}{p^{n-m+2}} + \dots + \frac{b_{m-1}}{p^{n-1}} + \frac{b_m}{p^n}$$
$$Z(p) = \frac{a_1}{2} + \frac{a_2}{2^2} + \frac{a_3}{2^3} + \dots + \frac{a_{n-1}}{2^{n-1}} + \frac{a_n}{2^n},$$

a snadno nalezneme

$$u(t) = \frac{b_0}{(n-m-1)!} t^{n-m-1} + \frac{b_1}{(n-m)!} t^{n-m} + \dots + \frac{b_n}{(n-1)!} t^{n-1}, (10)$$

$$z(t) = a_1 + a_2 t + \frac{a_3}{2!} t^2 + \dots + \frac{a_n}{(n-1)!} t^{n-1}.$$

Přesto, že v tomto druhém případě je nalezení funkcí u(t) a z(t) velmi snadné (resp. je můžeme psát přímo), bývá první postup ve složitějších případech (jako je na př. příklad 3 dále uvedený) výhodnější, jelikož odpadá pronásobování operátorů D při úpravě přenosu do tvaru (9). Tato úprava je u složitějších soustav již sama o sobě dosti pracná, nehledě k tomu, že nemáme kontrolu, zda jeme při ní neudělali chybu. Jak dobře lze kontrolovati výpočet při prvním z uvedených postupů, je patrno z příkladu 3, kde je uveden výpočet odezvy regulačního obvodu, jejíž charakteristická rovnice je desátého stupně. Výhodou druhého postupu je, že k vyčíslení u(t) a z(t) není třeba tabulek.

Než přístoupíme k praktickým výpočtům, zmíníme se ještě několika slovy o volbě časového intervalu Δ . Čím menší je tento interval, tím přesnější bude řešení, avšak tím více roste objem číselných operací, které je třeba provésti k získání odezvy potřebné délky. Při praktickém výpočtu lze dobře postupovat tak, že interval Δ odhadneme podle fysikálního charakteru soustavy, vypočteme prvních několik hodnot u_k a z_k (většinou stačí 2 až 3 hodnoty) a dosazením do tabulky 1 získáme příslušné přibližné hodnoty odezvy. Podle jejich souslednosti vidíme, zda byl interval volen správně, či zda je ho třeba opravit. Jak dobré výsledky dává methoda i při poměrně velmí hrubém intervalu Δ , je patrno z následujících příkladů.

Příklady

Příklad 1. Hledáme na jednotkový impuls regulačního obvodu na obr. 4. Jde o soustavu 1. řádu regulovanou integračním regulátorem. Pro takovýto jednoduchý případ můžeme snadno nalézt i přesné řešení a porovnat je s výsledkem, který dává popsaná methoda.

Celkový přenos obvodu je

$$D(p) = \frac{G_1(p)}{1 + G_1(p) \ G_1(p)} = \frac{\frac{1}{1 + p^{\frac{p}{1}}}}{1 + \frac{1}{T \cdot p \cdot (1 + p^{\frac{p}{1}})}},$$

což jest již zároveň Laplaceův obraz odezvy na jednotkový impuls. Časové konstanty nechť jsou $T_1=1$ s, $T_2=2$ s.

$$Y(p) = \frac{\frac{1}{1+p}}{1+\frac{1}{2p(1+p)}} = \frac{U(p)}{1+Z(p)}$$

Snadno nalezneme

$$U(t) = e^{-t}$$
, $z(t) = \frac{1}{2}(1 - e^{-t})$.

70

Interval volme 0,4 s. Pomocí tabulek \mathbf{e}^x vyčíslíme:

i	k	1	2	3	. 4	5	6	7	8	9	10	-11	12
- 1													
	\boldsymbol{u}_k	0,670	0.449	0,301	0,202	0,135	0,091	. 0,061	0,041	0,027	0,018	0,012	0,008
	\mathbf{z}_k	0,165	0,275	0,349	6,399	0.432	0.455	0,470	0.480	0,486	0,491	0,494	0,496

Jelikož $\mathbf{z_0} = \mathbf{0},$ jest $s_k = s_k, z_k + \cdots + z_k$ a po dosazení do tabulky 1 obdržíme

0,066	i	0,637	0,352	0.138	-0,015	0,016	-0,177	-0,205	-0,211	-0,201
0,110 1 0,140 0,670 0,160 0,449 0,173 0,301 0,182 0,202 0,188 0,135 0,192 0,091 0,195 0,061 0,196 0,041 0,027 0,018	-0,033 -0,055 -0,070 -0,080 -0,087 -0,091 -0,094 -0,096 -0,097 -0,098	-0,042 -0,076 -0,089 -0,102 -0,116 -0,116 -0,126 -0,122	-0,023 -0,039 -0,049 -0,056 -0,051 -0,064 -0,066	0,009 0,015 0,019 0,022 0,024 0,025	+0,001 $+0,002$ $+0,002$ $+0,002$ $+0,003$	+0,008 +0,013 +0,016 +0,019	+ 0,012 + 0,020 + 0,025	+0.014 $+0.023$	+0,014	+0,013

 $\bf V$ obr. 5 křívka "a" představuje přesné řešení naší úlohy a hodnoty označené křížkom jsou námi získané pro interval A=0.04s.

Obr. 5.

Abychom si ukázali, jak se volbou hrubšího intervalu A zmenší počet potřebných operací při zachování postačující přesnosti, opakujeme výpočet pro dvojnásobný interval A=0.08 s.

0,220		1	0,339	-0,033	-0,192	-0,222	-0,186
0,319 0,364 0,384 0,393	0,449 0,202 0,091 0,041 0,018	-0,110 -0,160 -0,182 -0,192 -0,196	-0,075 -0,108 -0,123 -0,130	+0,007 +0,010 +0,012	+0.042 +0.061	+0,049	

Zkrácení výpočtu pro vyčíslení odezvy téže délky jako v předchozím případě je zřejmé. Výsledky jsou pro porovnání vyneseny do obr. 5 a označeny kroužkem.

Příklad 2. Vyšetřeme odczvu na jednotkový skok regulačního obvodu z předchozího příkladu a postupujeme při tom druhým ze způsobů výše uvedených.

Laplaceův obraz odczvy upravíme do tvaru (9)

$$Y(p) = \frac{1}{p^{1} + p + 0.5} = \frac{\frac{1}{p^{2}}}{1 + \frac{1}{p} + \frac{0.5}{p}} = \frac{U(p)}{1 + Z(p)}$$

Ve shodě se vzorci (10) jest

$$u(t) = t$$
,
 $z(t) = 1 - 0.05t$.

Jelikož funkce z(t)má nenulovou počáteční hodnotu, je třeba provést redukci koeficientem \varkappa . Volíme-li interval A=0.04s, bude

$$\begin{split} \tilde{u}_k &= \varkappa u_k = \varkappa \, Ak = \frac{1}{4}k \;, \\ z_k &= \varkappa \, A(1+0.5Ak) = \frac{1}{4}(1+0.2k) \;. \end{split}$$

Tyto výrazy snadno vyčíslíme a dosazením do tabulky 1 obdržíme:

0,400		0	0,333	0,534	0,630	0,655	0,626	0,566	0,488	0,404	0,317	0,24
0,467	o L		1				1					1
	0,333	0										1
0,600	0,667	0	[-0.133]		!		!					1
0,667	1,000	0	-0.156	-0.214						,		1
0,733	1,333	0	-0,177	-0.249	-0,252	<u> </u>	į			1 1		1
0,800	1,667	0	1 - 0.200	-0.285	-0.294	-0.262		,				1
0,867	2,000	0	-0.222	-0,320	-0.336	-0.306	0,250					1
0.933	2.333	0	-0.244	-0.356	-0.378	-0.349	-0.292	-0.226				1
	2.667	0	-0.266	-0.391	-0.420	-0.393	-0.334	-0.264	-0,195			i
	3,000	0								-0.162		1
	3,333	0								-0,189		1

Křívka "b" v obr. 5. je přesným řešením příkladu a body označené křížkem jsou hodnoty námi získané.

Příklad 3. Jako příklad složitějšího případu uvedme vyšetření odezvy regulačního obvodu na obr. 6 na jednotkový skok. Jde o regulaci válcovací stolice a řešení bylo provedeno pro potřobu praxe. Úloha vede na diferenciální rovnici desátého řádu.

Nejprve upravíme schema do tvaru na obr. 7. Celý přenos obvodu jest

$$D(p) = \frac{G_1 \cdot G_3}{1 + G_1 \cdot G_3 + G_1 \cdot G_2}.$$

Obraz odezvy na jednotkový skok obdržíme jako součin obrazu vstupu $\frac{1}{p}\,$ a přenosu D(p)

$$Y(p) = D(p) \frac{1}{p} = \frac{\frac{1}{p} \, \mathcal{Q}_1 \mathcal{Q}_3}{-1 + \mathcal{Q}_1 \mathcal{Q}_3 + \mathcal{Q}_1 \mathcal{Q}_3} = \frac{U(p)}{1 + Z(p)}$$

$$\begin{split} U(p) &= \frac{1}{p} O_4 G_3 = \frac{26,264(0,37p+1)}{p(0,48p+1)(1,81p+1)(0,05\cdot 10^{-3}p+1)(0,0186p+1)(4,710^{-3}p+1)} \\ Z(p) &= \frac{26,264(0,37p+1)}{(0,48p+1)(1,81p+1)(6,05\cdot 10^{-3}p+1)(0,0185p+1)(4,7\cdot 10^{-3}p+1)} + \end{split}$$

$$+\frac{109.5(0.207p+1)}{(0.48p+1)(1.81p+1)(6.05\cdot10^{-3}p+1)}\cdot\\$$

Jelikož jmonovatele funkci U(p) a Z(p) mámo již vo tvaru součinu jednoduchých dvojělenů, můžeme přímo psát jejich Heavisideův rozvoj. Tak pro u(t) platí

$$u(t) = C_0 + C_1 e^{-\frac{t}{0.48}} + C_3 e^{-\frac{t}{1.81}} + C_3 e^{-\frac{t}{8.0110^{-2}}} + C_4 e^{-\frac{t}{0.0185}} + C_6 e^{-\frac{t}{4.7.10^{-3}}}.$$

Konstanty rozvoje určíme podle známých pravidel

$$C_0 = |pU(p)|_{p=0} = 26,264$$
,

$$C_1 = \frac{-28,264\left(-\frac{0,37}{0,48}+1\right)}{\left(-\frac{1,81}{0,48}+1\right)\left(-\frac{0,605}{0,48}+1\right)\left(-\frac{0,0185}{0,48}+1\right)\left(-\frac{4,7\cdot10^{-3}}{0,48}+1\right)}$$

a podobně určíme další konstanty

$$C_2 = -23,901$$
 , $C_3 = -0,148$, $C_4 = +0,412$, $C_5 = +0,062$.

Jelikož $u(0) = \lim_{\leftarrow p \to \infty} (pU(p)) 0$, musí platit

$$C_{\rm 0}\,+\,C_{\rm 1}\,+\,C_{\rm 2}\,+\,C_{\rm 3}\,+\,C_{\rm 4}\,+\,C_{\rm 5}\,=\,0\;.$$

Dosazením vypočtených konstant kontrolujeme, zda jsme při jejich výpočtu neudělali chybu:

$$26,264 + 2,311 - 28,901 - 0,148 + 0,412 + 0,062 = 0,000$$
.

Při rozvojí funkce Z(p) využijeme toho, že první její část se až na činitel p ve jmenovatel shoduje a funkci U(p). Stačí tedy provést rozvoj jenom druhé části. Rozvoj první části je derivací u(t).

$$\begin{split} z(t) &= -\frac{C_1}{0.48} \, \mathrm{e}^{-\frac{t}{6.48}} - \frac{C_3}{1.81} \, \mathrm{e}^{-\frac{t}{1.81}} - \frac{C_3}{6.05 \cdot 10^{-3}} \, \mathrm{e}^{-\frac{t}{6.0610^{-3}}} - \frac{C_4}{0.0185} \, \mathrm{e}^{-\frac{t}{6.0638}} - \\ &- \frac{C_5}{4.7 \cdot 10^{-3}} \, \mathrm{e}^{-\frac{t}{4.7 \cdot 10^{-3}}} + C_6 \, \mathrm{e}^{-\frac{t}{6.48}} + C_7 \, \mathrm{e}^{-\frac{t}{7.81}} + C_6 \, \mathrm{e}^{-\frac{t}{4.7 \cdot 10^{-3}}} \\ &- \frac{109.52 \left(-\frac{0.207}{0.48} + 1 \right)}{0.48 \left(-\frac{1.81}{0.48} + 1 \right) \left(-\frac{6.05 \cdot 10^{-3}}{0.48} + 1 \right)} = -47.43 \end{split}$$

a podobně dostaneme

$$C_1 = 73,17$$
, $C_8 = -25,74$

Kontrolujeme:

$$\lim_{p\to\infty} (pZp) = 0 = C_6 + C_7 + C_8,$$

$$= 47.43 + 73.17 = 25.74 = 0.00$$

Shrnutim konstant obdržime

$$\begin{aligned} z(t) &= K_1 \, \mathrm{e}^{-\frac{t}{0.08}} + K_1 \, \mathrm{e}^{-\frac{t}{1.01}} + K_3 \, \mathrm{e}^{-\frac{t}{0.0430-1}} + K_4 \, \mathrm{e}^{-\frac{t}{0.0185}} + K_5 \, \mathrm{e}^{-\frac{t}{4.710-1}} \\ K_1 &= -62,25 \, , \quad K_2 &= +89,14 \, , \quad K_1 &= -1.39 \, , \quad K_4 &= -22,25 \, , \quad K_4 &= -13,36 \end{aligned}$$

kontrola

$$. K_1 + K_2 + K_3 + K_4 + K_6 = -0.01 \pm 0.$$

Pro vyďislení hodnot po intervalu \varDelta upravíme výrazý pro obě funkce do tvaru

$$\begin{split} u_k &= C_0 + C_1 \delta_1^k + C_0 \delta_2^k + C_0 \delta_3^k + C_4 \delta_4^k + C_4 \delta_4^k \\ z_k &= K_1 \delta_1^k + K_4 \delta_2^k + K_2 \delta_2^k + K_4 \delta_4^k + K_6 \delta_4^k \,, \end{split}$$

kde je

Interval Δ byl nejprve odhadnut na 0,05 sec. Byly vyčísleny hodnoty u_1 u_2 , U_2 , z_1 , z_2 a desazeny do tab. 1. Z výsledků bylo patrno, že je interval příliš hruby a proto byl opraven na hodnotu $\Delta=0,02$ sec. Vyčíslení hodnot u_k a $\bar{z}_k=\Delta z_k$ pro tento

stroji). Kontrolu výpočtu provádíme tak, že sledujeme přírůstky funkcí u(t) a z(t). Vydíalení tabulky 1 (viz str.) bylo s výhodou provedeno na logaritmickém pravítku (vydíalení celého aloupce pouhým posouváním jezdce). Získaná odezva je vynesena v grafu na obr. 8 (str.)

Z výpočtu je patrno, že malé časové konstanty ovlivní pouze počáteční hodnoty funkciu(t) a z(t) a tím též průběh odezvy nejvíce v náběhové části.

8.3. Regulační obvody s dopravním zpožděním

Popsanou methodou ize vyšetřovat i regulační obvody s dopravním zpožděním. Ukážeme si postup na typickém zapojení tohoto druhu znázorněním blokovým schematem na obr. 9. Takové schema může vzniknout zjednodušením

daleko složitějšího schematu třeba i s několika zpětnými vazbami, takže póly

přenosů W(p) a V(p) obecně neznáme. Přenos celého obvodu jest

$$D(p) = \frac{e^{-pr_*}W(p)}{1 + e^{-pr_*}W(p) V(p)}.$$
 (11)

Neznáme-li póly funkci W(p) a W(p) V(p), upravíme je do tvaru

$$W(p) = \frac{U_1(p)}{1 + Z_1(p)} \quad , \quad W(p) \ V(p) = \frac{U_1(p)}{1 + Z_2(p)} \, , \tag{12}$$

$$\begin{split} u_k &= C_0 + C_1 \dot{\delta}_1^{\ k} + C_2 \dot{d}_1^{\ k} + C_2 \dot{\delta}_3^{\ k} + C_3 \dot{\delta}_4^{\ k} + C_3 \dot{\delta}_6^{\ k} \\ z_k &= K_1 \dot{\delta}_1^{\ k} + K_2 \dot{\delta}_3^{\ k} + K_2 \dot{\delta}_3^{\ k} + K_3 \dot{\delta}_3^{\ k} + K_3 \dot{\delta}_3^{\ k} \end{split}$$

+0,951 + 2,014		+0,944 + 2,795	+	+0,936 + 2,574	+0,927 + 2,354	+0,918 + 2,132
0,53527 -0,559 + 1,237 0,84726 +1,510 -24,487	0,53	$0.55804 - 0.583 + 1.290 \\ 0.85667 + 1.527 - 24.759$	0,55804 -1	$\begin{array}{c} 0.58178 & -0.608 & + & 1.344 \\ 0.86619 & +1.544 & -25.034 \end{array}$	$\begin{array}{ccccc} 0.60653 & -0.634 & + & 1.402 \\ 0.87582 & +1.561 & -25.312 \end{array}$	$\begin{array}{cccccccccccccccccccccccccccccccccccc$
k = 15	-	k = 14	, k	k = 13	k = 12	y === 11
+1		+ 36	±I	+0.883 + 1,464	+0,869 + 1,240	53 + 1,018
0,65924 -0,689 + 1,523 0,89539 +1,596 -25,878		0,68729 -0,718 + 1,588 0,90534 +1,614 -26,165	0,68729 -0 0,90534 +1	0,71653 - 0,749 + 1,653 0,91540 + 1,632 - 26,456	-0.781 + 1.726 +1.650 + 26.750	
k = 10		k == 9	ų	s- 00	k = 7	k = 6
+0,837 + 0,794		+0,815 + 0,574	±1	+0,786 + 0,360	+0,732 + 0,169	- 0,616 0,032
0,00449 -0,002 + 0,002	0,00	0,01324 -0,006 + 0,005	0,01324 -0	0,03904 -0,017 + 0,016	0,11508 -0,051 + 0,048	0,01419 - 0,004 -
0,5%020 +1,001 -21,0%0	,		- + 4,000,0	0,00005	0,97814 +1,744 -28,269	$0.98901 \pm 1.763 - 28,583$ 0.03667 - 0.001 - 0.005
0,81194 -0,848 + 1,876	0,81		0,84649 -0	0,88250 -0,922 + 2,039		
k = 5		k=4	¥	k = 3	k=2	k = 1
				k \[\frac{\partial_{k}}{\partial_{k}}	počiu	. Schema výpočtu

0,732 0,786 0,815 0,837 0,863 0,888 0,896 0,907 0,907 0,918 0,936 0,944	9,606
0 0,032 0,169 0,169 0,574 0,754 0,754 0,754 0,168 0,168 0,168 0,18	
	0 0,032
	0,150
-0,149 -0,180 -0,193 -0,193 -0,206 -0,216 -0,217 -0,217 -0,217 -0,223 -0,223	0,150 0,246 0,290 0,294
0,176 -0,176 -0,228 -0,236 -0,241 -0,247 -0,252 -0,252 -0,253	0,290
-0,240 -0,255 -0,256 -0,256	0,294
-0,173 -0,209 -0,233 -0,233 -0,239 -0,244 -0,253 -0,253	0,286 0,271
-0,164 -0,164 -0,213 -0,221 -0,221 -0,231	
-0,159 -0,192 -0,206 -0,214 -0,214	0,262
	0,254
-0.151 -0.182 -0.196 -0.208	0,249
-0,149 -0,180 -0,193 -0,200	0,249 0,246
-0.147 -0.177 -0,180	0.242
-0.107 -0.007 -0	0,236
-0,142	0,234
	0,230

kde $U_0(p),\,U_2(p),\,Z_0(p)$ a $Z_2(p)$ jsou funkce, jejichž póly známe. Obraz výstupu obdržíme jako součin obrazu vstupu a přenosu D(p). Po dosazení vztahů (12) do výrazů pro přenos obvodu (11) a jednoduché úpravě obdržíme

$$\begin{aligned} &Y(p) = D(p) \ X(p) = \\ &= \frac{e^{-px}[U_1(p) + U_1(p) \ Z_2(p)] \ X(p)}{1 + Z_1(p) + Z_2(p) + Z_1(p) \ Z_2(p) + e^{-px}[U_2(p) + U_2(p) \ Z_1(p)]} = \\ &= \frac{U(p)}{1 + Z(p)} \ . \end{aligned}$$

Originály u(t) a z(t) k funkcím U(p) a Z(p) můžeme již snadno nalézti.

 Z výrazu pro Z(p) jest patrno, že funkce z(t) obecně může být nespojitá jednak v počátku a jednak v čase $t=T_z$ (obr. 10). Funkce u(t) a tím též y(t) (plyne z rovnice (4)) může být nespojitá v čase $t=T_z$ a až do tohoto času je nulová (obr. 11).

Podrobnějším rozborem, který lze provésti na př. pomocí grafického znázornění podobného obr. 3, zjistíme, že i v tomto případě lze k vyčíslení odezvy použít tabulky 1, dodržíme-li těchto několik pravidel:

- 1. Interval Δ volíme tak, aby dopravní zpoždění bylo jeho celistvým ná-
- 2. Misto hodnoty \bar{u}_z (v mistě event. nespojitosti funkce u(t)) dosazujeme do tabulky 1 hodnotu \overline{u}_{kp} (bez pruhu!).
- 3. Za hodnoty funkcí v místě eventuální nespojitosti $t = T_s$ dosazujeme střední hodnotu limit zleva a zprava

$$\left(\frac{y_{z_1}+y_{z_2}}{2} \quad \text{resp.} \quad \frac{y_{z_2}}{2}, \quad \frac{z_{z_1}+z_{z_2}}{2}\right)$$

 $\frac{\left(y_{z_1}+y_{z_2}\right)}{2} \quad \text{resp.} \quad \frac{y_{z_2}}{2} \,, \quad \frac{z_{z_1}+z_{z_2}}{2} .$ 4. Při prvém objevení se ve výpočtu hodnoty z_z (v řádku pro $y(2T_z)$) dosazujeme za její hodnotu limitu zleva z_1 . (Toto pravidlo se uplatní jen pro $u_{z_2} \neq 0$.) Jinak je postup týž jako v případě obvodu bez dopravního zpoždění.

Příklad 4. Vyšetřeme odezvu obvodu na obr. 12 na jednotkový skok vstupu. Týž případ je řešen v lit. [2] přes frekvenční charakteristiku.

$$D(p) = \frac{\frac{\mathrm{e}^{-pT_1}}{1 + pT_1}}{1 + \mathrm{e}^{-pT_2}} \frac{k}{1 + pT_1} \; .$$

$$T_s - 2sT_1 = 10 \, s$$
, $k = 6.0$.

Obraz hledané odezvy bude tedy:

$$Yp = \frac{\frac{e^{-2p}}{p(1+10p)}}{1+e^{-2p}\frac{6}{1+10p}} = \frac{Up}{1+Zp}.$$

Originály k funkcím U(p) a Z(p)

$$u(t) = 1 - e^{\frac{t-2}{10}} \text{ pro } t > 2 \text{ s}; \quad u(t) = 0 \text{ pro } t < 2s$$

$$z(t) = 0, 6 e^{-\frac{t-2}{10}} \text{ pro } t > 2s; \quad z(t) = 0 \text{ pro } t < 2s.$$

$$z(t) = 0.6 e^{-\frac{t}{10}}$$
 pro $t > 2s$; $z(t) = 0$ pro $t < 2s$

subjective pomoci tabulek ef. Interval volíme $\Delta=1$ s. Dosazením do tabulky I při zachování výše uvedených pravidel obdržíme:

0,161		0	1,610	4,280	5,154	3,801	1,021	-1,852	-3,595	-5,618	-2,114	0,095
0,454	0											
0,657	1,610	0			j	1		i				1
0,765	4,539	0	-0,259		Į.	1		i	i .			1
0,801	6,574	0		-0,689		<u>!</u>						
0,798	7,653	0	-1,059	-1,943	0,830	<u></u>	l l					l
0,772	8,014	0	-1,229	-2,813	-2,339	-0,612	L.,	Į				
0,733			-1,291	-3,266	-3,388	-1,726	-0,164		ŀ			ļ
0,688	7,718	0	-1,286	-3,430	-3,934	-2,499	-0,463	+0,298	Щ	,		l
0,641	7,525	0	-1,243	5,416	-4,130	-2,901	-0,671	+0,841	+0,579			l
1	6,876	0	-1,180	-5,902	-4,114	-3,047	-0,779	+1,217	+1,652	+0.583		<u>l</u>
1 1	6,409	0	-1.107	-5,135	-5.977	-3,035	-0.818	+1.413	+2.365	+1.642	+0.340	ı

Získaný průběh odezvy je vynesen do grafů na obr. 13 (str. 24). Hodnoty odezvy námi získané jsou označeny křížky. Hodnoty převzaté z literatury [8] jsou označeny čtverečky. Z porovnání obou výpočtů je patrna rychlost popsané methody. Přesné řešení úlohy

8.4. Výpočet odezvy uzavřené smyčky ze známé odezvy otevřené smyčky

Mezi klasické problémy theorie regulace patří stanovení odezvy uzavřené smyčky, je-li známa odezva otevřené smyčky. Ukážeme si, ják jednoduše lze řešiti tuto úlohu pomocí popsané methody.

Vztah mezi přenosem uzavřené smyčky D(p) a přenosem otevřené smyčky G(p) je dán známým vzorcem

$$D(p) = \frac{G(p)}{1 + G(p)}$$

. Obraz výstupu uzavřené smyčky (obr. 14) pak je

$$Y(p) = \frac{G(p) \ X(p)}{1 + G(p)}.$$
Obv. (1.)

Odezva uzavřené smyčky na jednotkový impuls.

Jde-li o nalezení odezvy na jednotkový impuls, je X(p)=1 a ze srovnání výrazů (13) a (1) plyne

$$U(p) = Z(p) = G(p)$$

a tudíž :

$$u(t)=z(t)=g(t)\;,$$

kde g(t) je odezva otevřené smyčky na jednotkový impuls. Hledanou odezvu nalezneme pouhým dosazením hodnot $g_k=g(k\varDelta)$ do tabulky 1. Je-li známa odezva otevřené smyčky na jednotkový skok (na př. experimentálně získaná), je ji třeba nejprve derivovat (numericky, graficky nebo graficko-mechanicky).*)

*) Požadavky na přesnost derivace nejsou veliké. Viz př. 6.

Obr. 13.

Odezva uzavřené smyčky na jednotkový skok.

V případě odezvy uzavřené smyčky na jednotkový skok $X(p)=\frac{1}{p}$ a podle (13) a (1)

$$\begin{split} U(p) &= \frac{1}{p} \, G(p) \; , \\ Z(p) &= G(p) \; . \end{split}$$

Označíme-li odezvu na jednotkový impuls otevřené smyčky g(t) a odezvu otevřené smyčky na jednotkový skok $g_1(t)$, bude

$$\begin{split} u(t) &= g_1(t) = g(t) \; \mathrm{d}t \; , \\ z(t) &= \; g(t) = g_1'(t) \; . \end{split}$$

Známe-li odezvu otevřené smyčky na jednotkový impuls, musíme ji integrovat, abychom získali potřebné hodnoty u(t) pro dosazení do tabulky 1. Naopak, známe-li odezvu otevřené smyčky na jednotkový skok, musíme ji derivovat, abychom získali potřebné hodnoty z(t).

Příklad 5. Jako příklad uvedeme nalezení odezvy regulačního obvodu na obr. 15 na jednotkový impuls. Řešení tohoto případu jinými methodami je uvedeno v literatuře [9]. Obr. 15.

Otevřenou smyčku tvoří seriové spojení pěti aperiodických článků s časovými konstan-

tami
$$T_1=1.2\,\mathrm{s}$$
; $T_3=0.2\,\mathrm{s}$; $T_3=0.01\,\mathrm{s}$; $T_4=0.01\,\mathrm{s}$; $T_5=0.07\,\mathrm{s}$. Celkový zisk otevřené smyčky je 14. Přenos otevřené smyčky je podle toho

$$G(p) = \frac{14}{(1+1,2p)(1+0,2p)(1+0,01p)(1+0,07p)}$$

Póly přenosu jsou patrné, a proto odesvu otevřené smyčky na jednotkový impuls snadno vypočteme. Mohla by též být naměřena nebo získána derivací odezvy na jednotkový skok. Její hodnoty po intervalech $\Delta=0.1$ a jsou:

	0	1	2	3	4	5	6	7	8	9	10
g _k	0	1,610	4,539	6,574	7,632	8,014	7,983	7,716	7,325	6,876	6,409

Protože g(0)=0, platí $\varkappa=1$, $u_k=g_k, \bar{z}_k=0.01g_k$. Po dosazení do tabulky 1 obdržíma:

0 '		0	0	0/	0,095	0,181	0,230	0,224	0,179	0,128	0,095	0,105
0,003	0					i i						
0.543	0	0						5.0			1	
0,491	0	0	0			1	1.45	3.50	1 14			1 7 4
0,445	0,095	0	0	0		į i		70.				١.
0,402		0	0	0	0					1.5		
0,364	0,259	0	0	0	0,028	0		i i				
	0,330	0:	0	0	-0,052	0,054	0		i			Į.
	0,393		0		-0,047	-0,098	-0,069	0		Ì	1	1
A 3	0,451	0	0	0	-0,042	-0,089	-0,126	-0,057	0 -0.054	0	ì	
	0,503	0	0	0	-0,038		-0,113	-0,122	0,004		0	1
	0.551	0	0	. 0	0,035	-0,066	-0,102	-0,110	-0,097	-0,000	١ ٧	l

Získaná odezva uzavřené smyčky je vynesena do grafu na obr. 16 (viz str. 24). Pro porovnání jsou uvedeny i hodnoty (také jen přibližné) převzaté z lit. [3]; jsou označeny čtverečky.

8.5. Výpočet odezvy regulačního obvodu z daných přechodových charakteristik regulované soustavy a regulátoru

Uvažujme regulační obvod na obr. 17, kde S(p) jest přenos regulované soustavy a $\mathbf{Z}(p)$ je přenos regulátoru. Porucha nechť působí v obecném mistě regus

lované soustavy. Podle zákona superposice, který platí pro lineární soustavy lze obvod překreslit do tvaru na obr. 18, kde S*(p) je přenos regulované soustavy od místa poruchy k jejímu výstupu. Pro obraz výstupu pak platí

$$Y(p) = \frac{S^*(p) X(p)}{1 + S(p) R(p)}.$$
 (14)

Předpokládejme, že jsou známy odezvy soustavy (i její části S^*) a regulátoru na jednotkový impuls $[s(t), s^*(t), r(t)]$. Ziskali jsme je experimentálně přímo nebo derivací odezvy na jednotkový skok. Z porovnání výrazu pro obraz výstupu (13) a výrazu (1) plyne

$$U(p) = S^*(p) X(p)$$
,
 $Z(p) = S(p) R(p)$.

Budeme-li znát originály k těmto funkcím u(t) a z(t), stačí k nalezení odezvy obvodu dosadit do tabulky 1. Hledáme-li odezvu na jednotkový impuls (skok), je u(t) shodné s odezvou na jednotkový impuls (skok) části regulované soustavy mezi místem poruchy a výstupem. z(t) je dáno konvolutorním integrálem

$$z(t) = \int_0^t s(t-\tau) r(\tau) d\tau, \qquad (15)$$

který můžeme vyčíslit pomocí přibližného výrazu

$$z_k = a_k \left(\frac{s_0}{2} \, r_k - s_k \, \frac{r_0}{2} \, + \sum_{i=1}^{k-1} s_{k-1} r_i \right) \Delta .$$

Jeho vyčíslení pro různé hodnoty k můžeme upravit do tabulky 2 podobné tabulce 1. Při tom násobení hodnotou Δ provádíme až před dosazením do tabulky 1, abychom ušetřili jednu operaci. Pak bude

$$\bar{z}_k = z_k \Delta = \bar{z}_k \Delta^2 .$$

		,				
7	**	8 1.	•,	•	٥,	
4	ō		rasi () Sesie ()			Z,
•	49.71	ø, <u>ro</u>				Ž,
7.	3.	0,171	s ₂			7,
1	34.	8178	9871	83 <u>70</u>		Ξ,
	4,	airs.	6373	251	4, 79	ž,

Příktad 3. Stěvajíd objekt má být opatřen samotimou regulad. Odesva soustavy, ješ má býtí regulována, na jednotkový skok na jejím vstupu býla vyšetřena experimentálně a je uvedenía na obr. 19 (křívka s.(d)). Zejímá nás pdesva soustavy s připojeným regulátorem podle obs. 28 na jednotkový skok na vstupu segulovaná soustavy. Odesva regulátoru na jednotkový skok je rovněž na obr. 19 (křívka š.(d)). Podle předalkůn platí u(t) = s.(d). Pro výpoše podlebných hodnot s musíme nejprve odesvy s.(d) se r.(d) derivova, abychom dostal st.) s r(d), ktevé pak dosadíme do tabulky 2. Podsávsky na přemost derivace nejsou váliké. Provedene ji numericky. Vystašíme s provinní přibližním, podle kterého jest hodnota derivace váse turkov (t) v čase t = kA

$$J_{k}' = \frac{I_{k+1} - I_{k-1}}{2A}$$

ypočet podla isto formule postupuje velmi rychle, "Interval A volime tak, aby řada "Nodnet," dobre narrasovala grůběh funkce /(i). T nalem případá volime interval s ohledem na proběh 5(i) 0,25 s. Tak obdržíme (uvedeme výpočet prvých deseti hodnot hledané odesvýja

	ð	1	2	8	•	8	6	1	B	9	10
44.0	0	0,015	0,049	0,098	0,155	0,217	0,279	0,340	0,399	0,455	0,809
	0,000	0,098	0,166	0,212	0,288	0,248	0,246	0,240	0,230	0,220	0,206
	0	2,21	3,03	3,32	3,44	8,47	8,49	3,5	3,5	3,5	8,5
	8,85	6,06	2,22	0,82	0,30	0,10	0,06	0,02	0,00	0,00	0,00

4,425	0,030	0,098	0,166	0,212	0,238	0,248	0,248	0,240	0,280	0,220	0,206	
6,06 3,22	0 0,182	0,435 0,595	0.785		•					. A./		0 0,617 1,897
0,82 0,20 0,10	0,067 0,025 0,009	0,218	1,008 0,369 0,186	0,939 1,285 0,471	1,053	1.098			. ¥			2,187 2,798 3,180
0,06 0,02 0,00	0,008 0,002 0,001	0,010	0,050	0,174	0,528	1,502 0,551 0,204	1,088 1,490 0,546		1.018			3,354 3,386 3,387
0,00	Ė	0,002	0,010		0,024	0,074	0,202	0,535		0,974 1,383	0,912	3,217 3,070

*) Za derivací v počátku vezmeme přibližnou hodnotu $f'_0 = \frac{f_1 - f_0}{A}$.

nou odszvu zlikáme dosazením hodnot $ar u_k = a_k, ar z_k = A^{a_k} = 0.0625 ar z_k$ do tabulky 1

0,089	0	0,015	0,048	0,094	0,148	9,160	0,234	0,268	0,286	0,292	0,290
0,087 0	44	2.5	. J. V	Č.	100						
0.187 0,018	0	-0.001		- 35 s		778				2	100
0,175 0,049 0,198 0,098	ď	-0.002	-0.002	A			10.04	6147		1. 200	
0,810 0,155 0,218 0,217	0.	-0,002	-0,004	0,004	0,006		1177				1.4
0.208 0.279	0	0.000	. 0 000	0 013	1_0.013	-0.008	0.000			1.00	
0,201 0,340 0,192 0,399	0,	0.004	10 010	0.019	-0,020 -0,025	-0.020	0.020	-0,010			
0,455	0	0.000	A 010	0.000	i n n29	0.034	-0.032	J U.U23	-0.02	-0.01	1
0,809	0	0,008	-0,010	-0,020	-0,030	-0,040	-0,041	-0,000	1 0,00	1	1_

Příklad byl zvolen tak, aby bylo možno nalest i přesmé řešení, které představuje křivka na obr. žl. Křížky jsou označeny hodnoty námi získané.

8.6. Závěr

V článku je popsána jednoduchá numerická methoda pro výpočet odezov lineárních regulačních obvodů. Uvědená methoda timožňuje rychlý výpočet odezvy regulačního obvodu soustavy, je-li známa soustava diferenciálnich rovnie popisujících chování jejích jednotlivých článků, resp. je-li znám celkový přenos obvodu v operátorovém tvaru. Umožňuje též jednoduše vyšetřit odezvu uzavřené smyčky, je-li známa odezva otevřené smyčky, a odezvu regulačního obvodu, jsou-li známy (na př. experimentálně zjištěny) přechodové charakteris

tiky regulované soustavy a regulátoru. Rychlost s jakou vede methoda k cíli je patrna z připojených příkladů. Pro posouzení přesnosti výsledků methodou dosažených jsou uvedeny i jednoduché příklady, jejichž přesné řešení lze snadno nalézt. Je z nich patrno, že methoda dává dobré výsledky i při volbě poměrně velmi hrubého intervalu 4, při čemž se počet potřebných číselných operací značně sníží. Je pozoruhodné, že přesnosti výsledku s délkou vyčíslované odezvy neubývá.

Po přípravě výpočtu, která odborníkovi nezabere mnoho času (úprava obrazu odezvy do tvaru (1), rozvoj pro funkce U(p) a Z(p) a volba intervalu A), může vyčíslení provádět kancelářská síla s nižší odbornou kvalifikací.

Autorovi je milou povinností poděkovat svému školiteli doc. Ing. Dr J. Nekolnému za cenné rady, které mu poskytl během vypracování této práce.

Literatura

- [1] V. V. SOLODOVNIKOV, O primenenii trapeciodalnych častotnych charakteristik k analizu kačestva sistem avtomatičeskogo regulirovanija, Avtomatika i tenemonisami, 1948, č. 4.
 týš. Vvedenije v statističeskuju dinamiku sistem avtomatičeskovo upravlenija, Gosizdat techn.-teor. lit., Moskva 1952.
 [3] G. S. Brown, D. P. Cambell, Principles of Servomechanisms, N. Y. 1948.
 [3] A. LEONBAID, Trans. ASME, 76 (8), 1954.
 [4] Podrobněji o vývojí těchto method viz: Trudy vtorogo vsěsojuznogo sověščanija po teorii avtomatičeskogo regulirovanija, Tom II, str. 41 AN SSSR, 1955.
 [5] A. TUSTIN, A Method of analysing the Behavour of Linear Systems in Terms of Time Series, Journal EEE, IIA, 1947.
 [6] R. BOXER, S. TRALER, A Simplified Method of Solving Linear and Nonlinear Systems, Proc. IRE, Jan. 1956.
 [7] Z. Š. BLOGE, Integralnyje uravnenije teorii regulirovanija, Rasčot i analiz sistem avtomatičeskogo regulirovanija mašin (Sbornik naučnych rabot), Mašgiz, Moskva 1954.

 181 A. I-ZONBARD. Trans. ASME, 76 (8), 1954. Viz těž ruský překlad ve sborníku Mažinolizu kačestva sistem avtomatičeskogo regulirovanija, Avtomatika i telemechanika,

- I J. LEONHARD, Trans. ASME, 76 (8), 1954. Viz též ruský překlad ve sborníku Mažiuostrojenije, 5 (23), Izd. inostr. lit., Moskva 1955.

 [9] J. Benzš a Z. Tranka, Matematické a grafické methody řešení regulačních soustav. Soukmr prací o automatisaci, ČSAV, 1955.

ČÍSELNÝ VÝPOČET ODEZVY NELINEÁRNÍHO A ČASOVĚ PROMĚNNÉHO REGULAČNÍHO SYSTÉMU

Ing. Jiří Rippl.

Theoretické řešení regulačních systémů, jejichž funkce je popsána diferenciálními rovnícemi nelineárními nebo s časově proměnnými koeficienty, je stále ještě obtížné a mnohé problémy zůstávají dosud nevyřešeny. V regulační technice jde zejména o rozřešení těchto základních úloh:

a) určení stability regulačního systému,

b) určení časového průběhu regulačního pochodu.

Prvý problém lze řešit užitím Ljapunovských kriterií (L-9) a přiblíženou linearisací výchozích rovnic. Rešení druhého problému je dáno integrálem základních diferenciálních rovnic a je známo několik způsobů počtářských, grafických i kombinovaných, které umožňují jeho výpočet. Většinou jde vásk o početní způsoby velmi pracné a nevhodné pro použití u rovnic nelineárních. V dalším naznačíme početní postup pro řešení regulačních problémů daných obyčejnými diferenciálními rovnicemi lineármími i nelineárními, založený na využití všech výhod symbolického operátorového počtu. Na základě toho lze pak při numerickém výpočtu používat nejjednoduších základních početních úkonů proveditelných na počítacích strojích a výpočtových tabulkách.

9.1. Operátorový počet Mikusiňského

Při teoretickém výpočtu průběhy odczvy na libovolný vstup u regulačního systému dospějeme k úloze řešit konvolutorní integrál (3) a (4) tohoto typu

$$\int_{\tau}^{t} y(t-\tau) x(\tau) d\tau,$$

kde jedna z funkcí je odezva na jednotkový impuls a druhá je daný libovolný vstup. O početní methodě k vyčíslení tohoto integrálu zmínil se ve své přednášce Ing. Peterka. Výpočet odezvy se jeví ve zcela novém světle při použití Mikusiňského operátorového počtu (1), (2), nebot je mnohem obeemější a exaktnější než dosud užívaná Laplaceova transformace. Jeho předností je, že obchází celkem zbytečný postup transformace funkce, výpočet obrazu a zpětný výpočet originálu, při tom však zachovává všechny předností Laplaceovy integrální transformace a rovněž i její pravidla. Charakter operátorového počtu Mikusiňského je zcela algebraický a Laplaceova integrální transformace se jeví jako jeho jistý speciální případ.

Pro informaci vyslovíme v dalším výkladu pouze nejpodstatnější vlastnosti a pravidla tohoto počtu, kterých bude zapotřebí pro pochopení a objasnění použité symboliky.

Základem operátorového počtu Mikusiňského je zcela nové pojetí funkce f(t)

a její hodnoty v bodě t. Hodnotou funkce f(t) v bodě t je číslo f(t), a není-li funkce proměnná s parametrem t, pak je číselnou konstantou.

Funkci f(t) v operátorovém počtu je nutno pojímat jako množinu všech hodnot funkce f(t) na intervalu $0 \le t < \infty$, kterou označíme symbolicky $\{f(t)\}$ na rozdíl od číselné hodnoty funkce. Funkce $\{f(t)\}$ má na intervalu $0 \le t < \infty$ hodnoty f(t) a v intervalu $-\infty < t < 0$ hodnoty f(t) = 0.

Na př. funkce $\{1\}$ značí jednotkovou skokovou funkci (t. j. funkci, která má pro všechna záporná <math>t hodnotu 0 a pro všechna kladná t číselnou hodnotu 1). Naproti tomu 1 je pouhé číslo, číselný opeřátor.

Pro takto zavedené funkce lze vybudovat algebru, která má shodná početní pravidla jako při počítání s čísly.

Součet dvou funkcí $\{f\}$ a $\{g\}$ je funkce $\{h\}$, jejíž všechny hodnoty v libovolném čase t jsou dány součtem hodnot obou funkcí v témž čase t. Platí tedy

$${f} + {g} = {h} = {f + g}.$$

Součin dvou funkci $\{f\}$ a $\{g\}$ nazýváme splotem nebo konvolucí a definujeme jej konvolutorním integrálem

$${f}{g} = {\int f(t-\tau) g(\tau) d\tau}.$$

Toto jednoduché symbolické vyjádření konvolutorních integrálů je jedním z hlavních tůvodů, proč užíváme tento počet. Pro součet i součin funkcí plati komutativní, asociativní a distributivní zákony obdobně jako při počítání s čísly.

Z definice splotů dále plyne

$$\{1\}\{f\} := \{\int_{\tau}^{t} f(\tau) \, \mathrm{d}\tau\}$$

a pro celé kladné číslo n

$$\{1\}^n = \left\{\frac{t^{n-1}}{(n-1)!}\right\}.$$

Násobení funkce $\{f(t)\}$ číslem k je definováno jako funkce, jejíž všechny hodnoty jsou násobeny tímto číslem, čili

$$k\{f(t)\} = \{k f(t)\}.$$

 $\mathbf{Při}$ počítání s čísly dává dělení vznik zlomkům. Dělením funkcí vznikají nové útvary – operátory. Důležitým operátorem je $s=\frac{1}{\{1\}}$. Jeho vlastnost podává

$$k\{1\} = \{k\}$$
,

kde k je konstanta. Po dělení rovnice jednotkovou skokovou funkcí $\{1\}$ plyne:

$$k = \frac{\{k\}}{\{1\}} = s\{k\}$$
.

Skoková funkce $\{k\}$ násobená operátorem s je číselným operátorem k, tedy prostě číslem (impulsovou funkcí velikosti k). Z rovnice

$$\{\iint_0^t f(\tau) d\tau\} = \{1\}\{f(t)\}$$

lze vypočítat $\{f(t)\}$ pomocí operátoru s takto:

$$s\{\int_0^t f(\tau) d\tau\} = \{f(t)\}.$$

Operátor s je operátorem inversním k integraci, tedy operátorem derivačním. Má-li funkce $\{a(t)\}$ derivaci a', pak platí

$$-s\{a\} = \{a'\} + a(0)$$

kde a(0) je hodnota funkce $\{a(t)\}$ v čase t=0.

Důkaz tohoto tvrzení obdržíme zpětnou integrací. Násobme celou rovnici {1} a obdržíme identitu

$${a} = {1}{a'} + {a(0)} = {\int_a^t a'(\tau) d\tau + a(0)} = {a}.$$

Zobecněním tohoto tvrzení, které uvedeme již bez důkazu, je

Věta 1. Má-li funkce an-tou derivaci a(n), pak platí

$$s^{n}\{a\} = \{a^{(n)}\} + \sum_{i=0}^{n-1} s^{i}a_{(0)}^{(n-i-1)}, \quad n = 1, 2, \dots,$$
 (1)

kde $a^{(n-i-1)}_{(0)}$ jsou počáteční podmínky. Vztah operátoru Mikusiňského k Laplaceově transformaci podává translacní theorem.

Posunutí funkce $\{f(t)\}$ ve směru osy času o míru λ určuje výraz

$$e^{-\lambda a} \{f(t)\} = \begin{cases} 0 \text{ pro } 0 \le t < \lambda, \\ \\ f(t-\lambda) \text{ pro } 0 \le \lambda < t. \end{cases}$$

Hodnoty funkce f(t) pokládejme za číselný operátor proměnné λ čili $f(\lambda)$. Pak podle právě uvedeného translačního theoremu je možno množinu všech hodnot $f(\lambda)$ vyjádřit jako funkci $\{f(t)\}$ ve formě součtu všech impulsů $f(\lambda)$ d λ posunutých o hodnotu λ v kladném smyslu na ose času t, čili

$$f(\lambda) e^{-\lambda \epsilon} d\lambda$$
.

Protože v zavedeném operátorovém počtu máme nenulové hodnoty funkce $\{f(t)\}$ definovány na intervalu $0 \le t < \infty$, sečteme všechny impulsy na tomto intervalu, t. j. $0 \le \lambda < \infty$. Tím dostaneme $\{f(t)\}$ vyjádřenou pomoci číselného operátoru $f(\lambda)$ ve tvaru

$$\{f(t)\} = \int\limits_0^\infty f(\lambda) \, \mathrm{e}^{-\lambda s} \mathrm{d}\lambda = Q(s) \; .$$

Tento integrál je formálně shodný s Laplaceovou integrální transformací, která se dříve považovala za matematický základ operátorového počtu objeveného Haevisidem [5].

Tato souvislost opravňuje též použití operátorových slovníků sestavených pro Laplaceovu transformaci v theorii operátorů Mikusinského [6]. Z tohoto důvodu, jak se dá též přímo dokázat, operátorům $\frac{1}{s-\alpha}$ přísluší funkce $\{e^{at}\}$ čili platí

$$\frac{1}{s^{\lambda}} = \left\{ \frac{t^{\lambda-1}}{\Gamma(\lambda)} \right\}; \quad \frac{1}{(s-x)^{\lambda}} = \left\{ \frac{t^{\lambda-1}}{\Gamma(\lambda)} e^{at} \right\}, \qquad (\lambda > 0)$$

Právě tak platí

$$\frac{1}{(s+\alpha)^2+\beta^2} = \left\{\frac{1}{\beta} \operatorname{ex}^t \sin \beta t\right\}; \quad \frac{s+\alpha}{(s+\alpha)^2+\beta^2} = \left\{\operatorname{ex}^1 \cos \beta t\right\}; \quad \dots$$

Postup a výhody výpočtu ukážeme na příkladě jednoduché diferenciální rov-

$$y'' + \beta^2 y = f(t) .$$

Přepsáním dostáváme

$$\{y''\} + \beta^2\{y\} = \{f(t)\}.$$

Pomocí věty 1 pro nulové počáteční podmínky y'(0)=y(0)=0 platí

$$\{y\} = \frac{1}{s^2 + \beta^2} \{f(t)\} - \frac{1}{\beta} \{\sin \beta t\} \{f(t)\}$$

$$y = \frac{1}{\beta} \int_{0}^{t} \sin \beta (t - \tau) f(\tau) d\tau.$$

Rovnici řešíme tak, že rozložíme operátorové výrazy na částečné zlomky s operátorem s, k nimž funkce známe, nebo vyhledáme v operátorovém slovníku, a provedeme konvoluci nalezených funkcí.

Není-li možno jednoduchým způsobem určit kořeny polynomu ve jmenova-teli operátorového výrazu, takže zlomek není možno rozložit v částečné zlomky,

je možné přibližné řešení methodou vyčíslení konvolutorních integrálů. Postup je obdobný methodě, o niž referoval Ing. Péterka. Na př. mějme diferenciální rovnici s konstantními koeficienty čtvrtého řádu v operátorovém

$$(s^4 + c_3 s^3 + c_3 s^2 + c_1 s + c_0) \{y\} = (b_1 s + b_0) \{x\}.$$

Dělením $s^4 + c_3 s^3 + c_2 s^2$ celé rovnice obdržíme

$$\left(1 + \frac{c_1 s + c_0}{s^2 (s^2 + c_3 s + c_2)}\right) \{y\} = \frac{b_1 s + b_0}{s^2 (s^2 + c_3 s + c_2)} \{x\} \; .$$

$$\frac{c_1s + c_0}{s^2(s^3 + c_3s + c_2)} = \{t\} \frac{c_1s + c_0}{s^2 + c_3s + c_2} = \{t\}\{g(t)\} = \{C(t)\}$$

$$\frac{b_1 s + b_0}{s^2 (s^2 + c_3 s + c_2)} = \{B(t)\} \; ,$$

$${y} = - {C(t)}{y} + {B(t)}{x(t)}$$

$$y = -\int_0^t C(t-\tau) y(\tau) d\tau + \int_0^t B(t-\tau) x(\tau) d\tau.$$

Rovnici lze řešit vyčíslením konvolutorního integrálu. V dalším uvedeme větu důležitou pro řešení lineárních rovnic s proměnnými

Věta 2. Má-lí funkce x(t) spojité všechny derivace až do n-té a funkce a(t) rovněž spojité všechny derivace až do n-té, pak platí

$$\{ax^{(n)}\} = \sum_{k=0}^{n} s^{k}(-1)^{n-k} \binom{n}{k} \{a^{(n-k)}x\} = \sum_{k=0}^{n-1} \sum_{l=k+1}^{n} s^{k}(-1)^{n-l} \binom{bn+k-l}{k} a^{(n-l)}_{(0)} x^{(n-k-1)}_{(0)}$$
(2)

Důkaz. Ve sčítacích indexech počátečních podmínek výrazu (2) zavedme

$$l'=l-k-1$$

a po omezení sčítacích mezi nového indexu l' a prohození sledu sečitání dostáváme vztahy (psáno symbolicky)

$$\sum_{k=0}^{n-1} \sum_{l=k+1}^{n} = \sum_{k=0}^{n-1} \sum_{l'=0}^{n-k-1} = \sum_{l'=0}^{n-1} \sum_{k=0}^{n-l'-1}.$$
 Po přepsání rovnice (2) obdržíme

$$\begin{aligned} \{ax^{(n)}\} &= \sum_{k=0}^{n} s^{k}(-1)^{n-k} \binom{n}{k} \{a^{(n-k)}x\} - \\ &- \sum_{l=0}^{n-1} \sum_{k=0}^{n-l'-1} s^{k}(-1)^{n-l'-k-1} \binom{n-l'-l}{k} a^{(n-l'-k-1)}x_{(0)}^{(l')} \end{aligned}$$
(2a)

Rovnice (2) a (2a) jsou identické. V dalším budeme psát v rovnici (2a) místo l'

Důkaz provedeme úplnou indukci. Integraci per partes Laplaceova obrazu $ax^{(n+1)}$ dostáváme vztah

$$\{ax^{(n+1)}\} = \int_{0}^{\infty} ax^{(n+1)}e^{-st} dt = ax^{(n)}e^{-st}\Big|_{0}^{\infty} - \int_{0}^{\infty} a'x^{(n)}e^{-st} dt + s\int_{0}^{\infty} ax^{(n)}e^{-st} dt = -a_{(0)}x^{(n)} - \{a'x^{(n)}\} + s\{ax^{(n)}\}.$$

$$(3)$$

 $-\{a'x^{(n)}\}+s\{ax^{(n)}\}.$ Dosazením tvrzení (2a) do (3) dostáváme

$$= a(0) \, x_{(0)}^{(n)} + \sum_{l=0}^{n-1} \sum_{k=0}^{n-1} s^k (-1)^{n-1-k-l} \binom{n-1}{k} - l \choose k a_{(0)}^{(n-k-l)} x_{(0)}^{(l)} - \\ - \sum_{k=0}^{n-1} \sum_{k=0}^{n-1} s^k k^k (-1)^{n-1-k-l} \binom{n-1-l}{k} a_{(0)}^{(n-1-k-l)} x_{(0)}^{(l)} - \\ - \sum_{k=0}^{n} (-1)^{n-k} s^k \binom{n}{k} \left\{ a^{(n-k+l)} x \right\} + \sum_{k=0}^{n} (-1)^{n-k} s^{k+l} \binom{n}{k} \left\{ a^{(n-k)} x \right\} = \\ = -a(0) \, x^{(n)}(0) - \\ - \sum_{l=1}^{n-1} \binom{n-l-l}{k} a_{(0)}^{(n-l)} - \sum_{k=1}^{n-1} s^k (-1)^{n-k-l} \binom{n-1-l}{k} + \binom{n-1-l}{k-1} \right\} a_{(0)}^{(n-k-l)} - \\ - s^{n-1} a(0) \right\} x_{(0)}^{(l)} + (-1)^{n+l} \left\{ a^{(n+1)} x \right\} + \sum_{k=1}^{n} (-1)^{n-k+l} s^k \binom{n}{k} + \binom{n}{k-1} \right] \cdot \\ \cdot \left\{ a^{(n-k+l)} x \right\} + s^{n+1} \left\{ ax \right\} = \\ = -\sum_{l=0}^{n} \sum_{k=0}^{n} s^k (-1)^{n-k-l} \binom{n-l}{k} a_{(0)}^{(n-k-l)} x_{(0)}^{(l)} + \\ + \sum_{k=0}^{n+l} (-1)^{n+l-k} s^k \binom{n+l}{k} \left\{ a^{(n-k+l)} x \right\} = \left\{ ax^{(n+l)} \right\} .$$

Tím je dokázáno tvrzení (2a) a též identické tvrzení věty 2.

9.2. Numerický výpočet bodů odezvy lineární diferenciální rovnice s proměn nými koeficienty

Mějme diferenciální rovnici popisující regulační pochod otevřené smyčky vo tvaru

$$\sum_{i=0}^{m} a_i(t) y^{(i)} = \sum_{i=0}^{m} b_i(t) x^{(i)}; \quad n > m.$$
 (4)

Koeficienty a_i,b_i jsou spojitými analytickými funkcemi času mající dle potřeby všechny derivace. Necht $a_n=1$.

Aplikujme na rovnici (4) operátorový počet Mikusiňského. Pak dostáváme

$$\{y^{(n)}\} + \sum_{i=1}^{n-1} \{a_{i}y^{(i)}\} = \sum_{i=n}^{m} \{b_{i}x^{(i)}\}$$
 (5)

Aplikujme na rovnici (4) operátorový počet Mikusińského. Pak dostáváune
$$\{y^{(n)}\} + \sum_{i=0}^{n-1} \{a_{i}y^{(i)}\} = \sum_{i=0}^{m} \{b_{i}x^{(i)}\}$$
 (5) a po úpravě podle věty 1 a 2
$$s^{n}\{y\} = -\sum_{i=0}^{n-1} \sum_{k=0}^{i} s^{k}(-1)^{i-k} \binom{i}{k} \{a_{i}^{(i-k)}y\} + \\ + \sum_{i=1}^{n-1} \sum_{k=0}^{i-1} \sum_{k=1}^{i} s^{k}(-1)^{i-i} \binom{i+k-l}{k} a_{i}^{(i-1)}(0) y^{(i-k-1)}(0) + \\ + \sum_{i=0}^{n-1} s^{i}y^{(i-i-1)}(0) + \sum_{i=0}^{m} \{b_{i}x^{(i)}\}.$$

U dvojnásobného součtu ve výrazu (6) prohodme pořad sečitání podle sym-

$$\sum_{i=0}^{n-1} \sum_{k=0}^{i} = \sum_{k=0}^{n-1} \sum_{i=1}^{n}$$

 $\sum_{i=0}^{n-1}\sum_{k=0}^{i}=\sum_{k=0}^{n-1}\sum_{i=k}^{n-1}$ a u trojnásobného součtu počátečních podmiek podle symbolické rovnice $\sum_{i=1}^{n-1}\sum_{k=0}^{i-1}\sum_{i=k+1}^{i-1}\sum_{i=k+1}^{n-1}\sum_{i=k+1}^{n-1}\sum_{i=1}^{n-1}.$ Zavedne označení 4 podle symbolické rovnice

$$\sum_{i=1}^{n-1}\sum_{j=1}^{i-1}\sum_{i=1}^{j}\sum_{j=1}^{n-1}\sum_{i=1}^{n-1}\sum_{j=1}^{n-1}\sum_{j=1}^{n-1}$$

Zavedme označení A_k pro funkce vystupující v rovnici (6) ve tvaru

$$A_k = \sum_{i=k}^{n-1} (-1)^{i-k} \binom{i}{k} a_{(i)}^{(i-k)}(t) \tag{7}$$

a pro počáteční podmínky

$$C_{l,k} = \sum_{i=1}^{n-1} (-1)^{i-l} \binom{i+k-l}{k} a_i^{(l-l)}(0).$$
 (7a)

Spojením výrazu (7) a (7a) s rovnicí (6) a po úpravě obdržíme zjednodušený

$$\begin{split} s^n\{y\} &= -\sum_{k=0}^{n-1} s^k \{A_k(t)\,y\} + \sum_{k=0}^{n-2} \sum_{1-k+1}^{n-1} s^k C_{ik}\, y^{(i-k-1)}(0) + \\ &+ \sum_{k=0}^{n-1} s^i y^{(n-i-1)}(0) + \sum_{k=0}^{n} \{b_i x^{(i)}\} \,. \end{split} \tag{6a}$$

Násobme rovnici (6a) funkcí

$$\{1\}^n = \left\{\frac{t^{n-1}}{(n-1)!}\right\}$$

(rovnici n-krát integrujeme).

Vzhledem ku vlastnostem operátoru s' a funkce {1}' dostáváme

$$\begin{aligned} \{y\} &= -\sum_{k=0}^{n-1} \left\{ \frac{t^{n-k-1}}{(n-k-1)!} \right\} \{A_k y\} + \sum_{k=0}^{n-1} \sum_{1=k+1}^{n-1} C_{1,k} y^{(l-k-1)}(0) \left\{ \frac{t^{n-k-1}}{(n-k-1)!} \right\} + \\ &+ \sum_{i=0}^{n-1} y^{(n-i-1)}(0) \left\{ \frac{t^{n-i-1}}{(n-i-1)!} \right\} + \left\{ \frac{t^{n-1}}{(n-1)!} \right\} \sum_{i=0}^{m} \left(b_i x^{(i)}\right). \end{aligned}$$

$$\left\{\frac{t^{n-1}}{(n-1)!}\right\} = \{z\}, \left\{\frac{t^{n-k-1}}{(n-k-1)!}\right\} = \{z_k\}. \quad (9)$$

 $\left\{\frac{t^{n-1}}{(n-1)!}\right\} = \{z\}, \quad \left\{\frac{t^{n-k-1}}{(n-k-1)!}\right\} = \{z_k\}. \tag{9}$ a funkcí $\{u\}$ součet všech známých funkcí času vystupujících v rovnici (8).

$$\{\boldsymbol{u}\} = \sum_{k=0}^{n-2} \sum_{i=k+1}^{n-1} C_{i,k} y^{(i-k-1)}(0) \{z_k\} + \sum_{i=0}^{n-1} y^{(n-i-1)}(0) \{z_i\} + \{z\} \sum_{i=0}^{m} \{b_i x^{(i)}\}.$$
(9a)

Spojením rovnic (9) a (9a) s rovnicí (8) dostaneme zjednodušený vztah

$$\{y\} = -\sum_{k=0}^{n-1} \{z_k\} \{A_k y\} + \{u\}.$$
 (10)

Pro číselný výpočet funkce y z rovnice (10) je třeba numericky vypočíst konvolutorní integrál pomocí diferencí At (viz referát Ing. Peterky). Pro z-tou hodnotu funkce y v bodě $\varkappa \Delta t$, kterou v dalším označíme $y(\varkappa \Delta t) = y_{(\varkappa)}$ se konvolutorní integrál určí pomocí známých (dříve vypočtených) z-hodnot funkcí $y_{(0)}, y_{(1)}, \ldots, y_{(\kappa-1)}$. Pro snadné a schematické vyčíslení zavedme hodnotu $\boldsymbol{z}_{l(v)}$ kterou budeme rozumět hodnotu funkce \boldsymbol{z}_l v bodě v $\boldsymbol{A}t$ násobenou ještě hodnotou intervalu Δt .

$$z_{t}(v \Delta t) \Delta t = z_{e(v)}. \tag{11}$$

V uvedeném speciálním případě je tedy

$$z_{l(v)} = \frac{(v \Delta t)^{n-l-1}}{(n-l-1)!} \Delta t . {(11a)}$$

81

Rovnici (10) lze tedy upravit pro hrubý numerický výpočet do tvaru

$$y_{(s_0)} = u_{(s_0)} - \frac{1}{2} \sum_{l=0}^{n-1} z_{l(s_0)} A_{l(s)} y_{(s)} -$$

$$- \sum_{l=1}^{n-1} \sum_{l=0}^{n-1} z_{l(s-r)} A_{l(s)} y_{(r)} - \frac{1}{2} \sum_{l=0}^{n-1} z_{l(s)} A_{l(s)} y_{(s)}.$$
(12)

Jak plyne z (11a), je v tomto případě číslo $z_{l(0)}$ o neznámé $y_{(\omega)}$ rozdílné od nuly pouze pro l=n-1a má hodnotu

$$z_{n-1(0)}=\Delta t.$$

V rovnici (12) dostáváme tedy na pravé straně rovněž neznámou hodnotu $y_{(n)}$ ve třetím (posledním) součtu pro případ, že l=n-1. Pak pomocí (7) obdržíme

$$- \frac{1}{2} z_{n-1(0)} A_{n-1(\kappa)} y_{(\kappa)} = - \frac{1}{2} a_{n-1(\kappa)} y_{(\kappa)} \Delta t.$$

Poněvadž $a_{n-1(n)}$ je danou funkcí času, můžeme $y_{(n)}$ z diferenční rovnice (12)

$$y_{(\kappa)} = \frac{1}{1 + \frac{\Delta t}{2} a_{n-1(\kappa)}} \left[u_{(\kappa)} - \frac{1}{2} \sum_{i=0}^{n-1} z_{e(\kappa)} A_{e(0)} y_{(0)} - \sum_{r=1}^{\kappa-1} \sum_{i=0}^{n-1} z_{e(\kappa-r)} A_{e(r)} y_{(r)} \right]. \tag{13}$$

Jestliže $a_{n-1}=$ konst, pak je možno zavést nové funkce $\bar{u}_{(\mu)}, \bar{z}_{l(\mu)}$ ve tvaru

$$\dot{u}_{(\mu)} = \frac{u_{(\mu)}}{1 + \frac{\varDelta t}{2} a_{n-1}}, \qquad \bar{z}_{l(\mu)} = \frac{z_{(\mu)}}{1 + \frac{\varDelta t}{2} a_{n-1}}, \qquad (14)$$

takže rovnice (13) dostane tvar

$$y_{(u)} = \bar{u}_{(u)} - \frac{1}{2} \sum_{l=0}^{n-1} \bar{z}_{l(u)} A_{l(0)} y_{(0)} - \sum_{r=1}^{u-1} \sum_{l=0}^{n-1} \bar{z}_{l(u-r)} A_{l(r)} y_{(r)}.$$
(18)

. Tento vztah lze sestavit v poměrně jednoduchou výpočtovou tabulku, vhodnou pro praktický výpočet. Funkci $\overline{u}_{(s)}$, $\overline{z}_{\ell(s)}$, a $A_{\ell(s)}$ můžeme spočítat přímo, protože nezávisí na hodnotách $y_{(s)}$.

9.3. Zjednodušení výpočtové methody

Předpokládejme, že diferenciální rovnice (4) obsahuje vedle koeficientů proměnných s časem též konstanty c_i a d_i . Nechť tedy diferenciální rovnice zní:

$$\sum_{i=0}^{n} c_{i}y^{(i)} + \sum_{i=0}^{n-1} a_{i}(i)y^{(i)} = \sum_{i=0}^{m} d_{i}x^{(i)} + \sum_{i=0}^{m} b_{i}(|) x^{(i)},$$
 (16)

kde $c_n = 1$, a po úpravách v operátorovém tvaru

$$\sum_{i=0}^{n} {}_{i}s^{i}\{y\} + \sum_{k=0}^{n-1} {}_{i}s^{k}\{A_{k}y\} = \sum_{i=0}^{m} {}_{i}\{x^{(i)}\} + \sum_{i=0}^{m} \{b_{i}(t) x^{(i)}\} +$$

$$+ \sum_{k=0}^{n-1} \sum_{i=k+1}^{n} {}_{i}s^{k}c_{i}y^{(i-k-1)}(0) + \sum_{k=0}^{n-1} \sum_{i=k+1}^{n-1} s^{k}C_{i,k}y^{(i-k-1)}(0) .$$
(17)

Předpokládejme, že dovedeme určit funkci příslušející operátoru

$$\frac{1}{\sum_{i=0}^{n} c_i s^i} = \{\eta(t)\}$$

V případě, že to není možné, vybereme alespoň vhodný, pokud možno co nejvyšší počet konstantních koeficientů u nejvyšších derivací, tvořících lineární mnohočlen P(s), a určíme k nim funkci $\frac{1}{P(s)} = \{\eta(t)\}$. Chybějící lineární členy zahrneme do funkcí a. Způsob je obdobný uvedené methodě řešení diferenciální rovnice s konstantními koeficienty.

Vynásobíme tedy celou rovnici (17) operátorem $\frac{1}{P(s)}$. Pak dostáváme

$$\begin{aligned} \{y\} + \sum_{l=0}^{n-1} \frac{s^{l}}{P(s)} \{A_{l}y\} &= \frac{1}{P(s)} \sum_{i=0}^{m} d_{i}\{x^{(i)}\} + \frac{1}{p(s)} \sum_{i=0}^{m} \{b_{i}(t) x^{(i)}\} + \\ &+ \sum_{k=0}^{n-1} \sum_{i=k+1}^{n} \frac{s^{k}}{P(s)} c_{i}y^{(i-l-1)}(0) + \sum_{k=0}^{n-2} \sum_{i=1}^{n-1} \frac{s^{k}}{P(s)} C_{l,k}y^{(i-k-1)}(0) . \end{aligned}$$
(18)

Určíme funkce příslušející operátorům ve vzorci (18), a to za předpokladu, že dovedeme vypočíst přímo funkci $\{\eta\}$ k operátoru $\frac{1}{P(s)}$.

Označíme analogicky, jako v případě (9)

$$\frac{s_l}{P(s)} = s^l(\eta) = \{\eta^{(l)}\} = \{z_s\}, \quad l = 0, 1, ..., n-1$$

(oprávnění podává věta 3 – viz v dalším) a

$$\begin{split} \{u\} &= \{z\} \sum_{i=0}^{m} \{(d_i + b_i(t)) \, x^{(i)}\} + \sum_{i=0}^{n-1} \sum_{i=i+1}^{n} c_i y^{(i-i-1)}(0) \{z_i\} + \\ &+ \sum_{k=0}^{n-2} \sum_{i=k+1}^{n-1} C_{i,k} y^{(i-k-1)}_{(0)} \{z_k\} = \{z\} \sum_{i=0}^{n} \{(d_i + b_i(t)) \, x^{(i)}\} + \\ &+ y(0) \{z_{n-1}\} + \sum_{k=0}^{n-2} \sum_{i=k}^{n-1} C_{i,k}^{n} y^{(i-k-1)}(0) \{z_k\} \, . \end{split}$$

Pak rovnice (18) je formálně shodná s rovnicí (10), (Funkce $\{u\}$ a $\{z_i\}$ jsou však v obou rovnicích rozdílné.

$$\{y\} = -\sum_{k=0}^{n-1} \{z_k\} \{A_k y\} + \{u\}.$$
 (19)

Při numerickém výpočtu rovnice (19) obdobně jako v případě rovnice (12) bude nutno znát nenulové počáteční hodnoty funkcí $\{z_k\}$. Pro další výpočet objasníme větu 3.

Věta 3. Nechť polynom P(s) je stupně n. Funkce

$${z_l(t)} = \frac{s^l}{P(s)}, \quad l = 1, 2, ..., n-1$$

mají pro t=0hodnoty nulové, vyjma funkce $\{z_{n-1}\},$ pro niž platí

$$z_{n-1}(0) = \text{konst} + 0.$$

Důkaz. Dle poznatku z operátorového počtu platí

$$\frac{s^i}{P(s)} = \{z_i(t)\}$$

tehdy, je-li polynom P(s) stupně n a l < n. Slovy: pro každý podíl polynomů \forall s, pro něž čitatel je nižšího stupně než jmenovatel, existuje funkce $\{z_i\}$, kterou dostaneme rozkladem zlomku v pároiální zlomky, k nimž známe funkce

Je-li l = n, pak

$$\frac{s^n}{P(s)} = K + \frac{Q(s)}{P(s)} = K + \{z_n\}, \tag{20}$$

kde K je konstanta a Q(s) je opět polynom niklího stupně než P(s).

Podle definice funkce $\{z_i\}$ a podle věty 1 plyne

$$\{z_i\} = \delta^i\{z\} = \{z^{(i)}\} + \sum_{i=0}^{i-1} \delta^i z_0^{(i-i-1)}$$

Aby rovnice měla smysl, musí pro i = 0 být $z^{(i-t-1)} = 0$. Pouzé pro $z^{(i-1)}_{(0)}$ může.

ale nemusi být roven nule. Tento vztah s ohledem na rovnici (20) plati až do $l=\pi_i$ při tom současně platí

$$\frac{s^n}{P(s)} = s^n(z) = \{z^{(n)}\} + \sum_{i=0}^{n-1} s^i z_{(0)}^{n-(-1)} = \{z^{(n)}\} + z_{(0)}^{(n-1)}. \tag{21}$$

 $\frac{s^n}{P(s)} = s^n(z) = \{z^{(n)}\} + \sum_{i=0}^{n-1} s^i z_{00}^{i-i-1} = \{z^{(n)}\} + z_{00}^{(n-1)}. \tag{21}$ Z porovnání obou vyjádření (20) a (21) plyne $K = z_{00}^{(n-1)}, \{z_n\} = \{z^{(n)}\}.$ Poněvadž K není nikdy rovno nule, nemůže se nule rovněž rovnat $z_{0}^{(n-1)} = z_{n-1}(0) \neq 0$ \neq 0. To dokazuje platnost věty 3

Vztahy zjednodušíme tak, že hodnotou $z_{l(s)}$ budeme opět rozumět

$$z_{t(\kappa)} = z_t(\kappa \Delta t) \Delta t$$
.

Při hrubém numerickém vyčíslení konvolutorního integrálu methodou aproximace integrálu součtem lichoběžníků dospěli jsme k vzorci (12). Z něho se zřetelem na tvrzení věty 3 plyne

$$y_{(n)} = \frac{1}{1 + \frac{1}{2} z_{n-1(0)} A_{n-1(n)}} v_{(n)} - \frac{1}{2} \sum_{i=0}^{n-1} z_{i(n)} A_{i(n)} y_{(0)} - \sum_{\nu=1}^{n-1} \sum_{i=0}^{n-1} z_{i(n-\nu)} A_{i(\nu)} y(\nu) . \tag{22}$$

Poněvadž

$$A_{n-1(\kappa)}=a_{n-1(\kappa)}$$

$$a_n =$$

$$z_{n-1(0)} = At$$

a vzorec (22) je formálně zcela shodný se vzorecm (13). Je-li tedy $a_{n-1}=\,{\rm konst},$ pak lze zavést funkce s pruhem vztahem (14), přičemž $\widehat{u}_{(\rho)}$ i $\widehat{z}_{(\mu)}$ budou mít jiné hodnoty. Je tedy způsob odvození vzorce (13) zcela speciálním případem odvození vzorce (22). Postup výpočtu a vlastní vyčíslení konvolutorního integrálu je schematicky znázorněno na tabulce 1 pro případ, že $a_{n-1} =$ konst a že lze tudíž zavést funkce s pruhem \tilde{u} a \tilde{z}_i , a na tabulce Π pro případ, že $a_{n-1} \neq$ konst.

Tabulky III, IV a V jsou pomocné pro schematické vyčíslení hodnot funkcí, vystupujících na tabulce I a II.

9.4. Postup výpočtu integrálu lineární diferenciální rovnice s proměnnými koeficienty

- a) Zvolíme diferenční krok At a počet intervalů q integrálů, t. j. celkovou dobu T=q A t.
- b) Provedeme výpočet pomocných hodnot pro tabulku I nebo II.
- a) Určíme nejprve funkci $\{\eta\}=\{z\},\ n=1$ -krát ji derivujeme a vepíšeme do tabulky III. Vypočítíme hodnoty jednotlivých derivací v bodech 0, At, až q At, násobíme je At a vepíšeme do příslušných sloupců. Tím jeme spočítali hodnoty $z_{t(\mu)}$. Tuto tabulku přeneseme do levé části tabulky 11. Jo-li $a_{n-1}=1$
- = konst, vynásobíme všechny hodnoty $z_{t(\mu)}$ koeficientem $\frac{1}{1 + \frac{At}{2}a_{n-1}}$ a zapíšeme do tabulky I.

 $\beta)~$ Do tabulky IV vyneseme hodnoty koeficientů při neznámých (které v rovnici zbyly), t. j. hodnoty všech proměnných koeficientů a zbývajících konstant, které nefigurují ve funkci $\{\eta\}$ a jejich derivací pro hodnoty 0, At až q Δt a jednotlivé sloupce příslušející těmže hodnotám z sečteme a zaneseme do tabulky I nebo II nahoru.

 $\gamma)$ Spočítáme v tabulce V hodnoty okrajových podmínek. Počáteční hodnoty všech koeficientů při neznámých konstantních i proměnných a jejich derivací, počínaje koeficientem a_1, c_1 a konče koeficientem $c_n = 1$, vyneseme do tabulky V. V oddíle pro k=0 budou se měnit střídavě pouze znaménka. Hodnoty prvého oddílu přeneseme do všech dalších oddílů pro $k=1\div n$ a postupně vynecháme vždy jeden sloupec. Hodnoty příslušné části prvého oddílu pronásobíme s předepsanými hodnotami kombinací, což půjde velmi rychle, neboť v úhlopříčkách jsou hodnoty stejné. Každý sloupec potom sečteme, čímž dostaneme $C_{i,k}^*$. Tyto hodnoty v každém oddílu zvláště pronásobíme postupně odzadu s hodnotami počátečních podmínek funkce y a jejich derivací a sečteme. Tak dostaneme hodnoty Vi, které zaneseme do tabulky VI.

ð) Zintegrujeme konvolutorně funkce $\{z_0\}$ a funkce pravé strany diferen ciální rovnice $\sum_{i=0}^{m} (d_i + b_i(t)) x^{(i)}$ }, spočítáme hodnoty takto získané funkce v bodech 0, dt až q dt a zapíšeme postupně do levého sloupot tabulky VI. Pronásobíme hodnoty V_0,\dots,V_{n-1} se stejnolehlými sloupci tabulky III a zapíšeme do stejnolehlýh řádků a sloupců v tabulce VI. Takto získané hodnoty v jednotlivých řádch sečteme a tím obdržíme hodnotu funkce u_n v jednotlivých bodech. Tyto hodnoty přepíšeme do příslušného sloupce tabulky II nebo po

vynásobení koeficientem 1 — je-li $a_{n-1} = \text{konst do tabulky I } (\overline{u}_{(n)}).$ $\frac{1}{1+\frac{\Delta t}{2}a_{n-1}}$

 $\mathbf{T}\mathbf{\acute{i}mto}$ jsme vypočetli všechny potřebné hodnoty pro tabulku I nebo II.

c) Vlastní výpočet integrálu diferenciální rovnice v tabulce I (II).

a) Do tabulky zapíšeme hodnotu $y_{(0)}=u_{(0)}$ a touto hodnotou vynásobíme čísla $A_{n(0)},\dots,A_{n-1(0)}$. Takto získanými čísly pronásobíme tabulku $\bar{z}_{(i,\mu)}$ ($\bar{z}_{(i,\mu)}$) a hodnoty jednotlivých součinů zapíšeme do stejnolehlých řádek a sloupoň v částí pod $y_{(0)}$. Postup je obdobný jako při výpočtu integrálu diferenciální rovnice s konstantními koeficienty, pouze s tím rozdílem, že zde jde o vícesloupcové pronásobení. Sečteme hodnoty celého prvého řádku od svislé silné čáry, čímž získáme hodnotu $y_{(1)}$, kterou zapíšeme do vedlejšího oddílu v tabulce I (v tabulce II obdržíme sečtením řádky hodnotu $y_{(1)}$, kterou vynásobíme ještě hodnotou $\frac{1}{4t}$ a zapíšeme do vedlejšího oddílu označeného $y_{(1)}$).

-a zapíšeme do vedlejšího oddílu označeného $y_{(1)}$). ještě hodnotou - $\frac{1}{1+\frac{\Delta t}{2}a_{n-1(1)}}$

 β) Hodnotou $y_{(1)}$ vynásobíme čísla $A_{\alpha(1)},\dots,A_{n-1(1)}$ a takto získanými součiny pronásobíme opět tabulku $\bar{z}_{l(\mu)}$ ($z_{l(\mu)}$) a výsledky zapíšeme do stejnolehlých sloupců a řádek posunutých o jednu dolů. Provedeme součet druhého řádku od silné svislé čáry, čímž dostáváme hodnotu $y_{(2)}$, kterou obdobným způsobem zapíšeme do záhlaví sousedního oddílu, označeného $y_{(2)}$ v tabulce I. (V tabulce

II obdržíme hodnotu $y_{(2)}^*$, kterou násobíme koeficientem - $\frac{1+\frac{\Delta t}{2}a_{n-1(2)}}{1+\frac{\Delta t}{2}a_{n-1(2)}}$

dostáváme hodnotu integrálu $y_{(a)}$.) Tento postup opakujeme pro každou z-tou hodnotu pro určení hodnoty z + 1.

Postup úpravy rovnice pro numerickou integraci ukážeme na příkladě lineární diferenciální rovnice s proměnnými koeficienty. Mějme rovnici:

 $y''' + (c_2 + t^2 \cos t) y'' + (c_1 + 4t \cos t - 2t^2 \sin t) y' + [c_0 + (2 - t^2) \cos t - t^2]$ $-4t\sin t]y=f(t).$

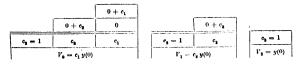
Pro počáteční podmínky

$$y(0) = 1$$
, $y'(0) = y''(0) = 0$

lze ji přepsat do operátorového tvaru pomocí tabulek IV a V. Pro funkce $a_i(t)$ platí podle tabulky IV

		$(2-t^2)\cos t - 4t\sin t$
	$4t\cos t - 2t^2\sin t$	- $(4\cos t - 4t\sin t - 4t\sin t - 2t^2\cos t)$
t ² cos t	$-2\left(2t\cos t+t^2\sin t\right)$	$2\cos t - 2t\sin t - 2t\sin t - t^2\cos t$
t ² coe t	0	0

a pro počáteční hodnoty dle tabulky V



Diferenciální rovnice bude tedy znít v operátorovém tvaru s vypočtenými hodnotami a funkcemi

$$\begin{aligned} (s^3 + c_1 s^2 + c_1 s + c_0) \{y\} + s^2 \{t^2 \cos ty\} \\ &= \{f(t)\} + (c_1 + sc_2 + s^2) y(0) \; . \end{aligned}$$

Nalezněme funkci příslušející operátoru

$$\frac{1}{s^3 + c_2 s^2 + c_1 s + c_0} = \{z\}$$

a násobme celou rovnici tímto operátorem. Tím dostáváme

$$\begin{aligned} \{y\} &= -\{z_2\}\{t^2\cos ty\} + \{z\}\{f(t)\} + \\ &+ y(0)(c_1\{z\} + c_2\{z_1\} + \{z_2\}), \end{aligned}$$

kde $\{z_1\}$ a $\{z_2\}$ je prvá a druhá derivace funkce $\{z\}$, (pro niž jsou počáteční podmínky z(0) a $z_1(0)$ nulové, jak tvrdí věta 3).

Tuto rovnici lze již snadno numericky integrovat použitím uvedených tabulek.

bulek. Na jednoduchém příkladě ukážeme číselný výpočet odezvy na jednotkový

Určeme odezvu na jednotkový impuls u regulačního členu, jehož funkce je popeána diferenciální rovnicí

$$y'' + \left(\frac{3}{2} - \frac{t^3}{4}\right)y = f(t) = x$$

při nulových počátečních podminkách y(0)=y'(0)=0 po jednotkovém impulsu. V operátorovém tvaru rovnice zní

$$\left(s^3 + \frac{3}{2}\right)\left\{y\right\} - \left\{\frac{t^3}{4}y\right\} = 1$$
,

$$\{y\} = \frac{1}{s^3 + \frac{3}{2}} \left(1 + \left\{ \frac{t^4}{4} y \right\} \right) = \sqrt{\frac{2}{3}} \sin \left\{ \sqrt{\frac{3}{2}} t \right\} \left(1 + \left\{ \frac{t^4}{4} y \right\} \right).$$

Protože $a_1=0$ použijeme tabulky I, v níž bude platit pro velikost intervalu $\varDelta t=\sqrt{\frac{2}{3}}\,\frac{\pi}{6}=0.427$

$$\Delta t = \sqrt{\frac{2}{3}} \frac{\pi}{a} = 0,427$$

$$\begin{split} \bar{z}_{(a)} &= z_{(a)} = \sqrt{\frac{2}{3}} \sin (30^{\circ} \cdot x) \cdot \sqrt{\frac{2}{\beta}} \frac{\pi}{6} = \frac{\pi}{9} \sin (30^{\circ} \cdot x) , \\ A_{\pi(a)} &= x^{2} \cdot (\frac{\sqrt{\frac{2}{3}} \frac{\pi}{6})^{2}}{4} = x^{4} \cdot 0,0456 , \\ \bar{u}_{(a)} &= u_{(a)} = \sqrt{\frac{2}{3}} \sin (30^{\circ} \cdot x) . \end{split}$$

100				344								
-0,369	-0,303	-0,175	•	0,175	0,303	0,349	0,303	0,175	4 = 0			
-0,817	-0,707	-0,408	0	0,408	0,707	0,817	0,707	0.408	u _(e) = 0			
•	•	•	٠	•	•	•	•	•	A(0)V(0) 0	$A_{(0)}=0$	y (e) = 0	0
-0,006	-0,003	0	0,003	0,906	0,007	9,006	890,0		0,0186	0,044	0,408	_
-0,023	0	0,023	0,039	0,045	0,039	0,023			0,130	0,188	0,710	to
ð	0,060	0,102	0,125	0,102	0,060				0,345	0,411	0,846	3
0,104	081,0	0,208	0,180	101,0					0,596	0,731	0,813	*
0,229	0,265	0,229	0,133					\ 	0,769	1,144	0,665	Ç1
0,275	0,238	0,138		•					0,790	1,646	0,480	6
0,198	0,114								0,654	2,24	0,292	7
0,075		1							0,430	2,93	0,147	
					,					190	0,035	•

V mnohých případech technické praxe nepostačí vyčíslení konvolutorního integrálu methodou lichoběžníkovou a je nutno přistoupit k metodám přesnějším. Zpřesnění výpočtu se dosáhne numerickou aproximací konvolutorního integrálu s větší přesností na základě Stierlingovy formule. Uvedeme zde znění tabulky pro výpočet konvolutorního integrálu pomocí pravidla Simpsonova a tříosminového, které mají přibližně stejnou přesnost [7 a 8].

Při výpočtu prvé hodnoty $y_{(1)}$ je nutno užít pravidla lichoběžníkového, při výpočtu druhé hodnoty (ve druhém řádku) Simpsonova, ve třetím tříosminového a dále ve všech dalších sudých řádcích Simpsonova pravidla a ve všech dalších lichých pro prvé tři hodnoty tříosminového a dále Simpsonova. V tabulce násobíme proto hodnotu v každém poli ještě příslušným koeficientem, udávajícím váhu jednotlivým součinům.

Schema výpočtové tabulky podává tabulka VII. Od řádku čtvrtého se již koeficienty pravidelně mění a koeficient pro výpočet $y_{(i)}$ z $y_{(i)}^{\mu}$, má již stálý tvar. Funkce s pruhem zde však nelze zavést. Tato tabulka je sestavena pro dife-Funkce s prinem zue vsak nieze zavest. Lato tabuna je sostavene pro tude renoifaln rovnice s konstantimi koeficienty. V připadě proměnných koeficientů se při zpřesněném výpočtu v tabulce II objeví v n-sloupci přislušející hodnotě $y_{(i)}$ v každém řádku koeficienty z tabulky VII pro odpovídající hodnoty $y_{(i)}$.

9.6. Numerický výpočet odezvy uzavřené smyčky

Tabulka I a II podává numerický výpočet otevřené smyčky regulační soustavy, která je popsána lineární diferenciální rovnici s proměnnými koeficienty. Soustavu můžeme schematicky znázornit v blokovém schematu dle obr. 1.

Obr. 1. Předpokládejme, že smyčku rozpojené soustavy uzavřeme přes lineární zesilovač o koeficientu zesílení K a hledejme, jak se změní postup výpočtu v tabulkách. V blokovém schematu dle obr. 2 jsou vlastnosti mezi vstupní Obr. 2.

funkcí x^* a výstupní y popsány diferenciální rovnicí

$$\sum_{i=0}^{n} a_{i} y^{(i)} = \sum_{i=0}^{m} b_{i} x^{\Phi(i)}, \qquad (23)$$

kde pro vstupní funkci x* platí

$$x^* = x - Ky. (24)$$

Vztah mezi funkci $oldsymbol{x}$ a výstupní $oldsymbol{y}$ uzavřené regulační smyčky bude, jak plyne z rovnie (23) a (24), pro m < n

$$\sum_{i=0}^{n} [a_{i}(t) + Kb_{i}(t)] y^{(i)} = \sum_{i=0}^{m} b_{i} z^{(i)}, \quad \begin{cases} \text{pro } i > m \\ \text{je } b_{i} \equiv 0 \end{cases}. \tag{25}$$

Označme obdobně s větou 2
$$\sum_{i=1}^{m-1} [a_i^{(i-k)} + Kb_i^{(i-k)}](-1)^{i-k} \binom{i}{k} = A_x^k$$
(26)

pak platí ve zcela stejném znění celá předchozí výpočtová methoda, a tedy i tabulky I až VII, jen s tím rozdílem, že místo A_k se vynášejí hodnoty A_k^k dané

9.7. Numerický výpočet bodů odezvy regulační soustavy s nelineárními členy

Při řešení integrálu obyčejné lineární diferenciální rovnice s proměnnými koeficienty jsou funkce A₂(t), resp. A^{*}₂(t) a n(t) v tabulce I až VII známý, a tedy předem vypočitatelné. Základní myšlenkou dalžího výpočtu je uvažovat ne lineární diferenciální rovnici jako nehomogenní lineární, po případě s nekonstantnímiskoeficienty, kde funkce času na pravé straně nebudou již známými explicitními funkcemi času t, avšak také známými nelineárními funkcemi hleda ných proměnných a jejich derivací. Funkce času na pravé straně tedy připodob-

níme nelineárním funkcím hledaných proměnných. Tím tedy převádíme nelineární diferenciální rovnice na rovnice lineární s jistými časovými funkcemi, jejichž hodnoty postupně vypočteme z hodnot hledaného integrálu a jeho derivací.

hetatieno megratu a jeno ucrvacu. Je tedy nutno určit vždy $\varkappa+1$ hodnotu $y_{(s)+1}$ pomoci známých předchozích hodnot $y_{(s)},...,y_{(s)}$ a jejich derivací a z nich hodnoty koeficientů diferenciální rovnice, jež jsou jejich funkcemi. V dalších úvahách předpokládejme diferenciální rovnici tvaru (16) rozšířenou

o nelineární člen tohoto tvaru:

$$g_{\alpha}(y, y', \ldots, y^{(\alpha)}; t), \quad \alpha < n$$

kde α je řád nejvyšší derivace obsažené v nelineární funkci. O nelineární funkci $g_a(y,\dots,y^{(a)};t)$ předpokládejme, že je takovou nelineární funkcí všech svých argumentů, že zaručuje splnění existenčních podmínek pro jednoznačný spojitý integrály(t)dané diferenciální rovnice na určitém časovém intervalu 0 $\le t \le T$ při předepsaných počátečních podmínkách.

O nelineární funkci $h_{\rho}(x,...,x^{(\rho)};t)$ předpokládejme, že pro libovolnou spojitou omezenou funkci času i ve všech svých derivacich $x,...,x^{(\rho)}$ je funkce $h_{\beta}(x,x^{(\beta)};t)$ jednoznačnou, alespoň po částech spojitou omezenou funkcí času. 88

Nejdříve vyřešíme nejjednodušší případ, kdy $\alpha=0.$ Rovnice má tvar

$$\sum_{i=0}^{n} c_{i} y^{(i)} + \sum_{i=0}^{n-1} a_{i}(t) y^{(i)} + g_{0}(y, t) =$$

$$= \sum_{i=0}^{m} d_{i} x^{(i)} + \sum_{i=0}^{m} b_{i}(t)^{\gamma(i)} + h_{\beta}(x, \dots, x^{\beta}; t)$$
(27)

a v operátorovém tvaru (lineární členy upravíme podle vzoreů, uvedených při výkladu numerického řešení lineárních diferenciálních rovnic s proměnnými koeficienty)

$$\{y\} = -\sum_{k=0}^{n-1} \{z_k\} \{A_k y\} - \{z\} \{g_0(y;t)\} +$$

$$+ \{z\} \{\sum_{i=0}^{n} (d_i + b_i(t)) x^{(i)} + h_{\beta}(x, ..., x^{(\beta)}; t)\} +$$

$$+ y(0) \{z_{n-1}\} + \sum_{k=0}^{n-2} \sum_{k=1}^{n-1} C_{i,k}^* y^{(i-k-1)}(0) \{z_k\}.$$

$$(28)$$

V případě, že rovnice (27) je řádu $n \ge 2$, pak funkce $\{z\}$ pro t = 0 má hodnotu nula a tím v rovnici pro výpočet hodnoty integrálu $y_{(n)}$ odpadne hodnota funkce $g_0(y, t)_{(n)}$ obsahující neznámé. Výpočet se opět velmi snadno sestaví do tabulky obdobné tabulce I a II. Oddily v těchto tabulkách pro každou hodnotu $y_{(n)}$ se rozšíří ještě o sloupec hodnot nelineární funkce $g_0(y, t)$, jejiž hodnota se určí na základě vypočtené velikosti $y_{(n)}$ a pronásobí so se sloupem $z_{\theta(n)}$. Hodnoty $u_{(n)}$ jsou rovněž zvětšeny o $\{z\}\{h_p\}_{(n)}$.

Je-li diferenciální rovnice (27) prvého řádu, komplikuje se výpočet pouze tím, že z každého součtu hodnot $y_{(*)}^*$ je nutno $y_{(*)}$ vypočítávat, což podle charakteru funkce g_* může být pracnou úlohou. Postup výpočtu pro tento speciální případ objasníme na obecnějším případě.

K numerickému řešení hodnot integrálu obyčejné diferenciální rovnice, která obsahuje nelineární člen g_a na levé straně, je třeba vypočítat také všechny derivace $g^{(a)}$ až do řádu α vystupující v této funkci. Abyohom snížili řád nejvyšší derivace ve členu g_a a řešení tak usnadnili, pokusme se integrovat samotnou tuto funkci nebo některou její část. Podaří-li se nalézt takový integrál, pak se rovnice upraví do operátorového tvaru podle věty l v případě, že neobsahuje explicitně vyjádřený čas, a podle věty 2. jestliže integrál je ještě násoben explicitní funkci času.

Na jednoduchém příkladě ukážeme snížení nejvyšších derivaci u nelineární funkce $q_s=q_s$. Mějme funkci

$$g_0 = y''y(3y + 2c) + y''6y'(3y + c) + y'(7y' + 3y'' + 2by) + y''.$$

Po přepsání do operátorového tvaru a postupnými běžnými úpravami dostaneme pomocí vět 1 a 2

$$\{g_{0}\} = (s + e^{2})\{y^{5} + by^{2}\} + \{y'^{2}\} + \{y^{5}\} - (1 + e^{5})(y^{3}(0) + by^{3}(0)) - \\ - e(3y^{3}(0) y'(0) + 2by(0) y'(0)) - (6y(0)y'^{3}(0) + 3y^{3}(0)y''(0) + 2by'^{2}(0) + \\ + 2by(0)y''(0)) .$$

Tímto způsobem se podařilo snížit funkci $\{g_s\}$ na $\{g_t^*\}$, nebot funkce g_s se skládá z několika totálních diferenciálů. Tímto snížením nelineární funkce se podatatně zkrátil a zjednodušil celý výpočtový postup a zvýšila přesnost výpočtové methody.

Tento postup není ovšem vždy možný a pak je nutno počítat s funkci $\{g_a\}$ přímo.

Mějme obyčejnou nelineární diferenciální rovnici

$$\sum_{i=0}^{n} c_{i} y^{(i)} + \sum_{i=0}^{n-1} a_{i}(t) y^{(i)} + g_{\alpha}(y, ..., y^{(\alpha)}; t) =$$

$$= \sum_{i=0}^{m} d_{i} x^{(i)} + \sum_{i=0}^{m} b_{i}(t) x^{(i)} + h_{\beta}(x, ..., x^{(\beta)}; t).$$
(29)

V této rovnici oddělíme lineární členy s konstantními koeficienty od členů s koeficienty proměnnými a od nelineární funkce, a každou skupinu těchto členů budeme řešit rozdílným způsobem.

Přepišme celou rovníci do operátorového tvaru za předpokladu, že

$$\frac{1}{\sum_{i=1}^{n} s^{i} c_{i}} = \{z\}$$

Pak obdržíme diferenciální rovnici podle známých úprav ve tvaru

$$\{y\} = -\sum_{k=0}^{n-1} \{z_k\} \{A_k y\} - \{z\} \{g_x\} + \{u\},$$
 (30)

kde

$$\{u\} = \{z\} \{ \sum_{i=0}^{m} (d_i + b_i) x^{(i)} + h_{\beta} \} + y(0) \{z_{n-1}\} +$$

$$+ \sum_{k=0}^{n-2} \sum_{i=k+1}^{n-1} C_{i,k}^* y^{(i-k-1)}(0) \{z_k\}.$$
(31)

Pokusme se snížit stupeň $\{g_x\}$ nalezením úplného diferenciálu některého členu nebo skupiny členů v této funkci.

Předpokládejme, že se podaří snížit funkci g_x v rovnici (30) o stupeň ϱ , kde $0 \le \varrho \le v$.

Nechť tedy podle věty 1 platí

$$\{g_x\} = s^* \{g_{x,y}^*\} + \{g_{x,y}^{(s)}\} + \sum_{i=1}^n s^i g_{x,y}^{(s)} = 1 \},$$
 (32)

Dosadme předpokládaný vztah (32) do rovnice (30); dostaneme

$$\{y\} = -\sum_{k=0}^{n-1} \{z_k\} \{A_k y\} - \{z_k\} \{g_{x_{-k}}^*\} - \{z\} \{g_{x_{-k}}^{**}\} + \{u^*\}, \qquad (33)$$

kde

$$\{u^*\} = \{u\} - \sum_{i=0}^{e-1} g^{*_{e_e}}_{e_e}^{-1-i}\{z_i\}.$$
 (34)

K určení hodnot integrálů diferenciální rovnice (33) v daných intervalech Δt vyčíslením konvolutorních integrálů ve vhodných tabulkách musíme také znát hodnoty všech derivací funkce $\{y^{(\sigma)}\}$ pro $\sigma=0$ až v $-\varrho$. To znamená, še vedle výpočtu hodnot funkce $\{y\}$ vyčíslením konvolutorního integrálu je nutno ještě vypočítat obdobným způsobem hodnoty derivací, které vystupují v nelineárních funkcich.

Pro funkci $\{y^{(\sigma)}\}$ odvodíme nejrychleji výpočtový vzorec z rovnice (33) po násobení operátorem s^{σ} . Jelikož nás zajímají jen hodnoty této funkce a nikoliv její počáteční podmínky, stačí pouze stanovit derivaci řádu σ pro všechny funkce a počáteční podmínky vynechat. Pro součiny $s^{\sigma}\{z_k\}$ podle věty 1 a 3 platí

$$s^{\sigma}\{z_k\} = \{z_{k+\sigma}\} - \sum_{k=0}^{k+\sigma-n} s^{i}z_{k+\sigma-k-1}^{(0)}$$

Okrajové podmínky jsou nenulové jen potud, pokud $k+\sigma-i-1\geq n-1$ Z této podmínky plyne omezení sčítacích nezi. Musí být $i\leq k+\vartheta-n$ a počáteční podmínky funkce $\{z\}$ přicházejí tedy v úvahu jen, je-li $k+\sigma\geq n$. Z rovnice (33) dostáváme

$$\{y^{(\sigma)}\} = -\sum_{k=0}^{n-1} \{z_{k+\sigma}\}\{A_k y\} + \sum_{k=0}^{n-1} \sum_{\ell=0}^{k-n-1} s^{(2n)}_{z_{k+\ell-\ell-1}}\{A_k y\} - \{z_{\sigma}\}\{g_{k-\ell}^{**}\} - \{z_{\sigma}, \sigma\}\{g_{k-\ell}^{*}\} + \{u^{*(\sigma)}\}.$$
 (35)

Z předpokládaných mezi pro sčítací indexy plyne

$$o + \sigma \leq n - 1$$

a v součinu $\{z_e + \sigma\}\{g_{a-e}^*\}$ se okrajové podmínky nevyskytnou. V rovnici (35) je nutno upravit členy do tvaru

$$\sum_{k=0}^{n-1} \sum_{i=0}^{k+\sigma-n} \delta_{i}^{(a)} z_{k+\sigma-i-1}^{(a)} \{A_{k}y\} =$$

$$= \sum_{k=0}^{n-1} \sum_{i=0}^{k+\sigma-n} z_{k+\sigma-i-1}^{(a)} \left\{ \sum_{j=0}^{i} \binom{i}{j} A_{k}^{(i-j)} y^{(j)} \right\}.$$
 (36)

Ze součtu plyne, že $0 \le j \le \sigma - 1$. Jest tedy nutné znát pro určení derivace řádu σ v bodě x, t. j. $y_{(n)}^{(\sigma)}$ všechny derivace od nulté až po $\sigma - 1$ v bodě x.

Po dosazení výrazu (36) do rovnice (35) dostáváme konečný vzorec pro určení derivace řádu σ

$$\begin{aligned} \{y^{(\sigma)}\} &= -\sum_{k=0}^{n-1} \left\{ \{z_{k+\sigma}\} \{A_k y\} - \sum_{i=0}^{k+\sigma-n} z_{k+\sigma-i-1}^{(0)} \left\{ \sum_{i=0}^{i} \binom{i}{j} A_k^{(i-1)} y^{(i)} \right\} \right\} = \\ &- \{z_{\sigma}\} \{g_{k+\sigma}^{n,n}\} - \{z_{\sigma+\sigma}\} \{g_{k-\sigma}^{n}\} + \{u^{n(\sigma)}\}. \end{aligned}$$
(37)

Z výrazu (37) je zřejmé, že lze obecně řešit uvedenými methodami každý případ. Lineární členy s proměnnými koeficienty však komplikují značně výpočet derivací a schematické tabulky, nejsou již dostatečně přehledné. Sestavíme proto výpočtové tabulky v nichž nebudou lineární členy s proměnnými koeficienty vystupovat samostatně, ale budou zahrnuty do nelineární funkce g_x , jejíž řád vhodně snížíme. Tabulka respektující lineární členy vznikne samostatně vhodně upravenou kombinací tabulek II a VIII. Mějme tedy diferenciální rovnici, z které v operátorovém tvaru po úpravě vypočteme derivace $\{g^{(r)}\}$ ve tvaru

$$\{y^{(\sigma)}\} = -\{z_{\sigma}\}\{g^{**}_{\alpha-\varrho}\} - \{z_{\varrho+\sigma}\}\{g^{*}_{\alpha-\varrho}\} + \{u^{*(\sigma)}\}, \qquad (37a)$$

kde

$$\begin{aligned} \{u^{\bullet(\sigma)}\} &= \{z_{\sigma}\}\{\sum_{i=0}^{m} (d_{i} + b_{i}) x^{(i)} + h_{\rho}\} + \sum_{i=0}^{n-1} \sum_{i=1+1}^{n} c_{i} y^{(i-1-1)}(0) \{z_{i+\sigma}\} \\ &- \sum_{i=0}^{q-1} g_{\alpha-q}^{(\sigma-1-i)}(0) \{z_{i+\sigma}\}, \quad \sigma = 0, 1, ..., \kappa - \varrho. \end{aligned}$$
(38)

Hodnoty integrálů se opět numericky vypočtou z rovnice (37a) pomocí intervalu Δt obdobně jako v případě lineárních rovnic, je-li $\alpha < n-1$, jak ukazuje vzorec (39), přičemž celý výpočet lze sestavit do vhodné tabulky.

Po vyčíslení obdržíme rovnici

$$\begin{split} y_{(s)}^{(\sigma)} &= u_{(s)}^{*(s)} - \frac{1}{2}(z_{\sigma(s)}g_{s-\varrho(0)}^{**} + z_{\varrho+\sigma(s)}g_{s-\varrho(0)}^{*}) - \\ &- \sum_{r=1}^{\kappa-1} (z_{\sigma(s-r)}g_{s-\varrho(r)}^{**} + z_{\varrho+\sigma(s-r)}g_{s-\varrho(r)}^{*}) , \\ \sigma &= 0, 1, \dots, \alpha - \varrho \quad \text{pro} \quad \alpha < n-1 , \\ \sigma &= 0, 1, \dots, n-2 - \varrho \quad \text{pro} \quad \alpha = n-1 . \end{split}$$

Schematisovaný výpočet rovnice (39) je uveden na tabulce VIII. Z kažcíc řádky vypočitáváme sečtením všech hodnot jednu derivaci a tedy postupné hodnot $y_{(pa)}, \dots, y_{(s)}^{(s)}, v$, které přepíšeme do záhlaví dalšího oddílu. Pomoci takto nalezených hodnot funkce a jejich derivací určíme příslušnou hodnotu potřebných funkcí $y_{s=(ps)}^{(s)}$ a $y_{s=(ps)}^{(s)}$. Hodnoty funkce $u_{(s)}^{(s)}$ vypočteme na tabulce IX.

Na tabulce VIII jsou podle rovnice (39) uvedeny dvě funkce nelineárm, kterých může býti ovšem i více a různého řádu.

V případě, že x=n-1 je nutno vzorec (39) modifikovat pro výpočet derivace $y_{(s)}^{(n-1-e)}$, neboť $z_{n-1(0)} \neq 0$ (jak plyne z věty 3) a ve výpočtu se objev hodnota nelincární funkce $g_{n-1-(e)}^*$:

Vzorec pro výpočet hodnot derivace tedy zní

$$\begin{aligned} y_{(s)}^{(n-1-s)} &= u_{(s)}^{(s,n-1-s)} - \frac{1}{2} (z_{n+1-s/s} g_n^{**} + z_{(0)} + z_{n-1(s)} g_{n-1-s/0}^{*}) \cdots \\ &= \sum_{s=1}^{s-1} (z_{n-1-s/s-s} g_n^{**} + z_{n-1/s-s} g_{n-1-s/n}^{**}) - \frac{1}{2} |z_{n-1(s)} g_{n-1-s/s}^{**}| \end{aligned}$$
(30.1)

Jestliže nelineární funkce g_{n-1-2}^* je ve své nejvyšší derivaci, t. j. v proměmac g^{n-1-2} lineární, pak se dá hodnota $g_{(s)}^{n-1-2}$ z rovnice (39a) vypočítat přímo, neboť jsou známy hodnoty všech ostatních proměnných v nelineární funkci. Můžeme určit hodnote

$$G_{(\kappa)} = \frac{g_{n-1-g(\kappa)}^*}{g_{(\kappa)}^{(n-1-g)}}$$
,

Pak

$$y_{(s)}^{(n-1-\varrho)} = \frac{1}{1+\frac{\mathcal{H}}{2}(G_{(s)})} [R_{(s)}^{\bullet(n-1-\varrho)} - \frac{1}{2}(z_{n-1-\varrho(s)}g_{n-1-\varrho(0)}^*] +$$

$$+ z_{n-1(e,\theta_{n-1-e^{(n)}}^*)} - \sum_{r=1}^{n-1} (z_{n-1-e^{(n)}r}g_{n-1-e^{(n)}}^{***} | z_{n-1(e-r)}^* g_{n-1-e^{(n)}}^*)| = -(41)$$

$$= \frac{1}{1 + \frac{dt}{2} G_{(n)}} \text{krát součet řádky označené!*) na tabulce VIII).}$$

Je-li však funkce $g_{n-1-(cs)}^{n}$ žávislá na své nejvyšší derivaci g_{n-1}^{n} e' nelineárně, buď ve tvaru polynomu nebo nějaké transcendentní funkce, je nutno vypočítat hodnotu této derivace nějakou aproximativní methodou. Na př. dosadíme do funkce g_{n-1-c}^{n} hodnotu $y_{(n-1)}^{n-1}$ °a sečtením řádky na tabulce VIII určíme nuttou aproximaci hodnoty $y_{(n-1)}^{n-1}$ ". Tuto nutou aproximaci dosadíme do funkce g_{n-1-c}^{n} a sečtením hodnot voltot řádku (!*)) na tabulce VIII určíme prvou aproximaci a postup můžeme opakovat až na libovolnou přesnost.

Předpokládejme, že pravá strana je lineární funkcí x a derivaci x^{ϕ} . V tomto případě lze počítat i s impulsovými funkcemi. Impulsová funkce zavedená m vstup příslušného regulačního prvku změní okamžitě počáteční hodnoty $y(0), \dots, y^{(\alpha)}(0)$ a tudíž tež g(0), s minž je nutno ve výpočtové tabulce VIII při vyčíslování rovnice (39) počítat.

Tyto nulové hodnoty po impulsu vypočítáme tak, že v rov. (30) a (35) necháme t limitovat zprava k nule $t\to+0$ a z takto získaných rovnic určíme potřebné nulové hodnoty.

Jako příklad vypočteme numericky odezvu na impuls $\{f(x)\}=2$ u nelineárního regulačního prvku, který je popsán diferenciální rovnicí

$$y'' + y' + 2(y + y^3) = f(x)$$

při nulo vých počátečních podmínkách y'(0) = y(0) = 0.

Rovnice přepsána do operátorového tvaru zní

$$s^2\{y\} + s\{y\} + 2\{y\} + 2\{y^3\} = 2 \; .$$

a) Jako funkci $\{z\}$ volíme nejdříve funkci příslušející operátoru $\frac{1}{s^2}=\{t\}$ Pak

$$\frac{\{y\}}{\{u\}} = 2\{t\} - \underbrace{\{2t+1\}}_{\{2_{\text{lin}}\}} \{y\} - \underbrace{\{t\}}_{\{2_{\text{lin}}\}} \{2y^{s}\}$$

Nelineární funkce g_0 je řádu 0 a není třeba aní počítat derivace. Funkce $\{z\}$ jsou v našem případě dvě, jedna pro lineární funkci $\{y\}$, kterou označíme $\{z_{mi}\}$ a jedna pro nelineární funkci $\{2y^3\}$ označenou $\{z_{min}\}$. Poněvadž pro nulovou

hodnotu $z_{\text{\tiny IIs}}(0)=1$ zavedeme funkce s pruhem ve tvaru $\ddot{z}=\frac{z}{1+\dfrac{At}{2}}$, $\ddot{u}=\dfrac{z}{1+\dfrac{At}{2}}$.

Interval Δt volme 0,33. Hrubý výpočet je proveden na tabulce X a hodnoty vyneseny na obr. 3 (křivka x).

 $\beta)$ Za funkci $\{z\}$ volme

$$\{z\} = \frac{1}{s^2 + s + 2} = \frac{1}{(s + \frac{1}{2})^2 + \frac{7}{4}} = \{e^{-\frac{1}{2}t}\sqrt{\frac{1}{7}}\sin\sqrt{\frac{7}{4}}t\}$$

tedy

$$\{y\} = 2\{z\} - \{z\}\{2y^3\}$$

a volme stejný interval At. Výpočet je proveden na tabulce XI a křivka vyne sena rovněž na obr. 3 (křivka β).

88

9.8. Regulační obvod uzavřené smyčky s nelineárním členem

Předpokládejme opět regulační obvod otevřené smyčky s nelineárním členem, jehož funkce je popsána nelineární diferenciální rovnicí. Jest určiti rovnici téhož obvodu, jestliže smyčku uzavřeme podle obr. 2, a to pro několik různých případů.

Nelineární diferenciální rovnice (27) má lineární pravou stranu. V diferenciální rovnici tvaru

$$\sum_{i=0}^{m} c_{i} y^{i} + \sum_{i=0}^{n-1} a_{i}(t) y^{i} + g(y, y', ..., y_{x^{(2)}}) = \sum_{i=0}^{m} b_{i}(t) x^{*(i)} + \sum_{i=0}^{m} d_{i} x^{*(i)}.$$
(41)

je možno zavést zpětnou vazbu vztahem (24). Pro m < n rovnice (41) po dosazení (24) zní

$$\sum_{i=0}^{n} (c_i + a_i(t) + Kd_i + Kb_i(t)) y^{(i)} + g_x =$$

$$= \sum_{i=0}^{m} b_i x^{(i)} + \sum_{i=0}^{m} d_i x^{(i)}.$$
(41a)

Rovnice popisuje přenos uzavřené smyčky. Zecla obdobně jako u obvodu s uzavřenou smyčkou, popsaného lineární diferenciální rovnicí s proměnnými koeficienty, změní se pouze koeficienty lineárních členů levé strany. Tento případ lze dále dobře řešit.

 β) Diferenciální rovnice (24) má pravou stranu nelineární. Zavedením zpětné vazby vztahem (24) stane se vlivem nelinearity na vstupu rovnice na lové straně nelineární funkci argumentů y,y',\ldots a x,x',\ldots čili bude záviset také na vstupní funkci a jejích derivacích.

$$\sum_{i=0}^{n} a_{i}y^{(i)} + \Phi(y, y', ..., y^{(n-1)}, x, x', ..., x^{(n)}; t) = \varphi(x, ..., x^{(n)}).$$
 (42)

Rovnici (42) je nutno řešit případ od případu podle zadané vstupní funkce zvlášť. Vzhledem k závislosti funkce Φ rovněž na vstupních funkcích je regulační prvek popsaný rovnicí (42) velmi nevhodný.

y) Lineární regulační prvek má nelineární zesilovač ve zpětnovazební smyčce. Nechť přenos lineárního regulačního prvku je popsán diferenciální rovnicí

$$\sum_{i=0}^{n} c_{i} y^{(i)} = \sum_{i=0}^{m} d_{i} x^{(i)}; \quad m < n,$$
 (43)

k němuž připojíme zpětnovazebně nelincární zesilovač (viz obr. 2) o charakteristice

$$\eta = K_1 \xi + K_2 \xi^3 \,. \tag{44}$$

Na vstupu regulačního prvku působí jednak vstup do uzavřené smyčky x, jednak nelineárně zesílená zpětná vazba, kterou popisuje rovnice (44) čili funkce (45)

$$x^* = x - \eta = x - K_1 \xi - K_2 \xi^3 = x - K_1 y - K_2 y^3$$
. (45)

Dosazením rovnice (45) do (43) dostaneme diferenciální rovnici uzavřené smyčky ve tvaru

$$\sum_{i=0}^{n} c_{i} y^{(i)} + \sum_{i=0}^{m} K_{i} d_{i} y^{(i)} + \sum_{i=0}^{m} K_{i} d_{i} (y^{3})^{(i)} = \sum_{i=0}^{m} d_{i} x^{(i)}$$
 (46)

čili nelineární rovnici, kterou lze řešit operátorovými methodami. V operátorech Mikusińského dostane rovnice (46) tvar

$$\sum_{i=0}^{n} (c_{i} + K_{1}d_{i}) s^{i}\{y\} + \sum_{i=0}^{m} K_{2}d_{i}s^{i}\{y^{2}\} =$$

$$= \sum_{i=0}^{m} d_{i}\{x^{(i)}\} + \sum_{i=0}^{m-1} \sum_{i=1}^{n} (c_{i} + K_{1}d_{i}) s^{i}y^{(i)}_{\phi} e^{i-1j} +$$

$$+ \sum_{i=0}^{m-1} \sum_{i=1}^{m-1} K_{2}d_{i}s^{i}(y^{2})^{(i)}_{\phi} e^{i-1j}.$$
(47)

Nechť funkce (z) přísluší operátoru

$$\{z\} = [\sum_{i=0}^{n} (c_i + K_i d_i) s^i]^{-1}$$

pak

$$\{y\} = K_2 \sum_{i=0}^{\infty} d_i \{z_i\} \{y^i\} + \{z\} \{u\},$$
 (48)

kde

$$\begin{split} \{u\} = \{z\} \sum_{i=0}^{m} d_i\{x^{(i)}\} + \sum_{i=0}^{n-1} \sum_{1=1}^{n} (c_i + K_i d_i) \, y_{i(0)}^{i,-1,-1)}\{z_i\} + \\ + \, K_2 \sum_{l=0}^{m-1} \sum_{i=1}^{m} d_i(y^2)_{(0)}^{(i-1,-1)}\{z_i\} \; . \end{split}$$

Rovnice číslo (48) se opět řeší pomocí tabulky VIII.



9.9. Závěr

Numerická methoda, uvedená v práci, umožňuje výpočet integrálu obyčejných diferenciálních lineárních rovnie s konstantními a časově proměnnými koeficienty a diferenciálních rovnie nelineárních. Má význam zejména pro řešení regulačních obvodů a jiných úloh z oboru regulační teohniky. Výpočet integrálů rovnie je podán obecně a pro numerický výpočet speciálních případů jsou vypracovány tabulky, unožňující řešení s poulitím nejelementárnější znalostí. Výsledky výpočtů jsou zatíženy chybou. Její přesné určení bude výzadovat ještě další podrobnou analysu. Pro technickou praxi, kde potřebu-jeme řešti uvedené rovnice jednoduchým a rychlým spůsobem, bude přesnost výpočtové methody ve většině případů postačující. Článek budiž námětem pro další theoretický a experimentální výzkum.

Literatura

- [1] J. Mikusińsky, Rachunck operatorów, Warszawa 1953.
- [2] V. Doležak: Kurzweil: Mikusinského operátorový počet; Slabopro č. 11, 1955.
- [3] M. Salamon, Laplaccova a Laplaccova-Wagnerova transformace, Souhrn precion automatisaci, Praha 1955.
- [4] K. W. WAGNER, Operatorenrechnung und Laplacesche Transformation, Leipzig 1950.

- 1950.

 [5] B. VAN DER POL, H. BREMMER, Operational Calculus Based on the Twosided Laplace Integral, Cambridge 1950 ruský překlad 1952.

 [6] V. A. DITKIN, P. I. KUZNŠCOV, Příručka operátorového počtu, Praha 1954.

 [7] L. COLATZ, Numerische Behandlung von Diferenzialgleichungen. Berlin-Göttingen-Heidelberg 1951 ruský překlad Moskva 1953.

 [8] A. N. Kaylov, Lekcii o přibliženných vyčislenijach, Moskva-Leningrad 1950.

 [9] A. M. Lerov, Ustojčivosť nelinejných regulirujemych sistem, Moskva 1955.

 [10] V. V. Střenaov, Kurs diferenciáluích rovnic (český překlad z ruštiny), Praha 1950.

Tabul							
5	4	3	2	1 (6		
0,19416	0,49150	0,74794	0,80634	0,34624	$g_{(0)} \approx 0$		
0,01462	0,23740	0.83680	1,04930	0,32596	$f_{(0)} \sim 0$	ts.	ż
					0	0.54624	0.09103
1				-0.02967	ù	0.83621	0,13936
,			0.09551	-0.04542	0	0,88877	0,14813
l		-0.07617	-0.14623	-0.04828	43	0,76218	0,12702
	-0.02161	-0.11661	0,15543	-0,04140	0 '	0,52921	0,08819
-0,00133	0,03308	-0.12395	-0.13327	-0.02874	41	0,26445	0,04407
-0,00202	-0.03516	-0.10629	-0.09253	-0,01436		0.02568	0,00427
-0.00216	-0,03015	-0,07379	0.04624	-0.00139	- (1	-0.15017	- 0,02502
-0,00185	-0,02093	0.03687	-0.00448	4.0,09815	- 0	-0,24831	-0,04138
-0,00188	-0,01046		0.02625	4 0,01348	e e	-0,27274	-0,04545
-0,00064	-0.00101		0.04342	+ 0.01481	U	-0.23936	-0,05989
-0,00006	+0.00593	+0.03462	+ 0.04769	1-0.01300	0	-0,17115	-0,02852

6	7	8	9	10	11	12
-0,05592	-0,22466	- 0,30180	- 0,29809	-0,23256	-0,14130	-0,04930
0,00034	-0,02266	-0,05496	- 0,05190	0,02514	- 0,00564	
+ 0,00003 + 0,00004 + 0,0005 + 0,00004	+ 0,00206 + 0,00315 + 0,00335	+ 0,00500 + 0,00765	+ 0,00472			

- = = -1, pa utno bedoon derivees y _(n) (=-+) as novicu hatels feldry takto emakend vypotitelma yeaks saskeginty jako e estatada kidita. Je-ji a = n − 1, je utno bedoon derivees y _(n) (=-+) as novicu hatels feldry takto emakend vypotitelma jouda vaces (4) ando postegarjeni approximasema.	Poznámka I. II.	$z_{\alpha-\rho(8)}$ $z_{\alpha(8)}$ $u_{(8)} = (\alpha-\rho) - \frac{1}{2} - -z_{\alpha-\rho(8)} $		$\begin{array}{c ccccccccccccccccccccccccccccccccccc$	z _{a(2)} u _{(2)*(x-p)}		$z_{\varrho(z)}$ $z_{\varrho(z)}$ $u^*_{(2)}$ $-\frac{1}{2}$ $z_{\varrho(2)}$	$z_{-\phi(1)} = z_{\alpha(1)} = u_{(1)} z_{\alpha-\phi(1)} = z_{\alpha-\phi(1)} $	101	$z_{(1)} = z_{q+1(1)} = u_{(1)}^{q_{1}} = -\frac{1}{2} \cdot -z_{(1)} = -\frac{1}{2} \cdot \cdot z_{q+1(1)} $	$z_{0(1)}$ $z_{0(1)}$ $u_{(1)}^{\bullet}$ $-\frac{1}{2}$ $ \cdot $ $z_{0(1)}$	9a-q(0)**	(0) (0) (0) (0) (0)	Mos Mos
é řádky označené !*) se rovná hodní se součtu kašdé řádky takto označe	1000	$u_{(2)} = (a-e)$ $-\frac{1}{2} \cdot - -\frac{1}{2} \cdot -e(2) $ $-\frac{1}{2} \cdot - -\frac{1}{2} \cdot -e(2) $ $-\frac{1}{2} \cdot - -\frac{1}{2} \cdot -e(2) $:	- i - z ₀ (z) - i - z ₀ (z) z ₀ (z)	(1)9-62		$-\frac{1}{2} \cdot \frac{ \cdot }{ \cdot } \cdot \frac{z_0(z)}{ -1 } - \frac{1}{2} \cdot \frac{ \cdot }{ \cdot } \cdot \frac{z_0(z)}{ -1 } - \frac{z_0(z)}{ \cdot } - \frac{1}{2} \cdot \frac{z_0(z)}{ \cdot }$	- 1 - 1 - 2 _{a(1)} ! •) viz pozn.		- ± - - ± p + 1(1)	- \$ · - 20(1)	9x-q(0) * 9x-q(1) **	y(1)····· y(1)····· y(1)·····	_
oeb denivace y ₍₁₁₎ («-e) acela ausliggisky jako u ej poditsivali podle vaces (40) zeko postuge	(1)*** (1)******************************		:	[2 ₍₁₎ 2 ₍₁₎ 2 ₍₁₎	£ _{a(t)}		·* _e (t)					9x-q(1) 9x-q(2) 00 9x-q(2) 0	(3) (3-8) Y(3)····· Y(3) (3-6)	
Vini oprovinacemi		,	(a) : (2) (d, +) (a) (b)	(4) : { $\sum_{i=0}^{\infty} (a_i + b_i(i)) a^{(i)} + h_j)^{(a_i-i)}$		$((s) \cdot (\sum_{i=0}^{\infty} (d_i + b_i(0)) x^{(i)} + h_{jk}))_{(k)}$		((a) . { \(\Sigma\) (d _i + b _i (i		$((s) \cdot \{\sum_{i=0}^{\infty} (d_i + b_i(s)) = (1 + b_i(s))_{(1)}$	$(3) \cdot \left(\sum_{i=0}^{n} (d_i + b_i(i)) \times (1 + b_{ij}) \right)_{(1)}$		y(z)y(z)(a-e)	
		(2.04)		$ s^{(i)} + h_{ij} ^{(a-i)} = V_0 + s^{(a-1)}_{a-a(0)}$:	:	$\frac{V_0 + g_0^{(q-1)}}{\frac{s_0^{(q-1)} + s_0^{(q-1)}}{\frac{s_0^{(q-1)}}$	(ap) (a)	(is) . { Σ (is, +b,(i), $z(i) + h_{-1}(e-e)$ } $V_0 + \frac{e(e-1)}{2e-e(e-1)}$.	•	$P_0 + g_{\alpha-q(0)}^{(q-1)}$ $P_0 + g_{\alpha-q(0)}^{(q-1)}$ $-s_1(ds)$	9) $\pi^{(i)} + h_{j(i)}(i)$ $r_0 + g_{m-q(i)}^{-1}$ $r_{m}(Ai)$		$V_{\bullet} + g^{(q-1)}$	
1		(3.46)	7. + 0/4-9)	$V_1 + g_{(0-2)}^{(0-2)}$:	$F_1 + g_{a-q(0)}^{(q-1)}$ $. s_1(2\Delta t)$	· z _{a-q+1} (Δt)	$P_1 + g(e-b)$		F ₂ + e ^(e-2) _{(-e(d)} .	· + 0 (45)	(6)	P. + o(e-9)	Tabulta (X
:		· *e-1(3dt) Fe *e(3dt) .	- [$V_{e-1} + g_{a-q(e)} \cdot V_{e} \epsilon_a(2\Delta t)$ $\vdots V_{e} \epsilon_a(2\Delta t) \vdots$:	$\begin{array}{cccc} V_{q-1} + g_{\alpha-q(0)} & & & & & & & & & & \\ & \ddots & & & & & & &$	$\begin{array}{ccc} & & & & & & & & & & & & & & & & & &$:		$\begin{array}{cccccccccccccccccccccccccccccccccccc$	$\begin{array}{c c} F_{e^{-1}} + g_{e^{-e}(e)} \cdot \\ & \cdot s_{e^{-1}}(\Delta t) \end{array} \qquad \qquad F_{e^{-2}e}(\Delta t)$.5		
:		V _{n-1} z _{n-1} (3Δt) u ₍₀₎ *	(a) (appr)#48+1-44.	V _{n-1} · · · · · · · · · · · · · · · · · · ·	:	$V_{n-1} z_{n-1}(2dt)$ $u_{(2)}^*$: :		V _{n-1} z _n (Δt) u ₍₁₎ **	V _{n-1} z _{n-1} (dt) u ₍₁₎ *	··· P _{n-1}		

Sanitized Copy Approved for Release 2010/04/14 : CIA-RDP80T00246A038200360001-8

	z _{0(p)} == z _(p)	z _{i(r)}	23(*)	 z _{n-1(+)}
	η	η΄	η·	 η(n-1)
$z_{i(0)} = \eta_{(0)}^{(1)} Ai$	z(0)	21(0)	2 2 (0)	 z _{n-1(0)}
$z_{l(i)} = \eta \ 2 \beta l^{(i)} \Delta t$	-(1)	21(1)	Z ₂₍₁₎	 z _{n-1(1)}
$z_{l(z)} = \eta A t^{(1)} \Gamma t_{l}$	2(2)	21(2)	22(2)	 Z _{n-1(2)}

			Tabulka IV		
					a _{0(×)}
				a _{1(×)}	- a'in
			a ₂	- 2a'2(x)	a* _{2(x)}
		a _{3(x)}	3a ₃ '(x)	3a" _{3(x)}	— a" _{B(x)}
			***		•••
a _{n-1(*)}	,	$\pm \binom{n-1}{3} a_{n-1(n)}^{(n-4)}$	$\mp \binom{n-1}{2} a_{n-1(\kappa)}^{(n-3)}$	$\pm \binom{n-1}{1} a_{n-1(n)}^{(n-3)}$	∓ a(n-1)
A _{n-1(n)}		A _{3(n)}	$A_{2(n)}$	A _{1(n)}	A _{0(x)}

		Tabuli	ka V		
					$\binom{k}{k}a_{k+1}(0) + a_{k+1}$
	•	,	$\binom{k}{k}a_{n-2}(0)+o_{n-2}$		$(n-4)a_{n-3}^{(n-4-k)}(0)$
	•	$\binom{k}{k}a_{n-1}(0) + c_{n-1}$	$\binom{k+1}{k}a'_{n-2}(0)$		$\binom{n-3}{k}a_{n-3}^{(n-3-k)}(0)$
	$\binom{k}{k}a_{n-1}(0) + a_{n-1}$	$\binom{k+1}{k}a'_{n-1}(0)$	$\binom{k+2}{k} \ll_{n-1}(0)$		$(n-2)a_{n-1}^{(n-2-b)}(0)$
o _n = 1	0*	<i>C</i> * , , ≥	C* 3,k		Ø*,1,b
	V _k =	y ^(n-k-1) (0) + 1	$\sum_{k+1}^{1} C_{i,k}^{*} y^{(i-k-1)} ($	0)	

		(3) (3)	£ 1		
$\{z\}\{\sum_{i=1}^{n}(d_{i}+b_{i}(i))x^{(i)}\}_{(x)}$:	$\{z\}_{i=0}^{\infty} (d_i + b_i(t)) z^{(i)}_{(1)}$	$\{z\}\{\sum_{i=0}^{n}(d_{i}+b_{i}(i))x^{(i)}\}_{(0)}$		
V V 1	i	z(1)V 0 1	*(e)V = 1	F ₀ 1	
//V 1	;	*1(1)V1 1/1	ε ₁₍₀₎ V ₁ 1/Δt	F, 1	
:	:	i	:	÷	
1	;	$z_{n-1(1)}V_{n-1}\frac{1}{\Delta t}$	2n-1(0)Vn-1 dt	V _{n-1} 1/d _i	
u(x)	:	u (1)	u(0)	$\Sigma_{\mathbf{r}\cdot\mathbf{u}}$ 1842 $\mathbf{r} = \mathbf{u}_{(\mathbf{r})}$	
ū(x)	:	<u>v</u> (a)	ŭ(0)	$\overline{u}(v) = \frac{u(v)}{1 + \frac{\Delta t}{2} a_{n-1(v)}}$	

2(0) = 4(0) = 10 = 10 = 10 = 10 = 10 = 10 = 10 =		S(1) = S(1)*	1 + 4 de 1	$\frac{y^{a}(a)}{1 + \frac{3}{8} d\theta a_{n-a}} \frac{y^{b}(a)}{1 + \frac{dt}{8} a_{n-1}}$	1 (4 (c)	y*(1)		y*(7)
G 3 3	Î,					1+ 3 an-1 1+ 3 an-1		1 T 3 44-1
3 3	l	Σ = y(ι)*						
Ş	ş	\$ \$(x) ² (x)	ы 9 (8)					
	Ę	3	9 8(10 ⁴ (1)	ы - У _(в) *				
-	å	- - 2 Jaren	2 2 ³ 2(a) ² (a)	4 3 8(a) ² (1)	N = 9(1)			
	ı.	(P) ₂ (1) ₆ 8	9 9(s) ² (3)	17 24 9(a) ² (a)	4 3 y(4) ² (1)	N = y(c)*		
9206E 02 2 03 03 03 03 03 03	ŧ	4 \$ \$(x) ² (0)	2 3 9(x) ² (t)	+ 3 9(s) ² (s)	$\frac{2}{3}y_{(4)^2(2)}$	3 9(6)2(1)	N =: 3(c)*	
*(r) *(v) 8 *(o)*(s)	£	(9) ₂ (1) ₆ 8	9 %(3) ² (8)	17 24 ³ (s) ² (t)	4 3 y(s) ² (z)	2 3 9(a) ² (a)	$\frac{4}{3} y_{(6)}^{2}(1)$	N == 9(1, *

	F(s)	4-40) 440) 4-40)	1		4-403(0)4-40	-4-4(3)(1)3-4(3) -4-4(4)(4)(4)3-4(3) -4-4(4)(4)(4)3-4(3)			$\frac{g_{(1)}}{1+\frac{f^{2}}{f^{2}}a_{-1(2)}} \frac{g_{(1)}}{1+\frac{f^{2}}{f^{2}}a_{-1(2)}}$	A _(t) A _{1(t)}	Aquiy(t) A ₁₍₁₎ y(t) A _{n-1(1)} y(t)		$\Sigma = \hat{y}^a(t)$	$ = A_{0(1)} Y_{(1)} \circ_{0(1)} $	The state of the s	2 4	-0,09520 -0,23810 -0,32260	-0,00172 -0,03438 -0,06676	+ 0.15332
		4-(1) 4-(1)	4-408(1) 4-408(1)			Anthinibat) Attub(1)Bit)			4 .	A4(1)	A ₁ (3)V(s) ····		_	$-A_{6(1)}(1)^{2}_{6(1)} \qquad -A_{4(1)}(1)^{2}_{6(1)} \qquad \cdots \qquad A_{n-1(1)}(1)^{2}_{n-1(1)}$		2 2	-0,25810	-0,03438	+0.00001 +0.00002 +0.00004 +0.00049 +0.00049 +0.1332
		4 _{n-1(3)} 4 _{n(3)} A ₁₍₃₎	4-408(1) 4-408(1)			Anthinibat) Attub(1)Bit)			4 .	A4(1)	A ₁ (3)V(s) ····		_	- Ao(t)y(1)z0(1) - A1(1)y(2)z1(1)		9	-0,25810		+0,00000 +0,000000 +0,0000000 +0,0000000 +0,0000000 +0,0000000 +0,000000 +0,000000 +0,000000 +0,000000 +0,000000 +0,000000 +0,000000 +0,000000 +0,000000 +0,000000 +0,000000 +0,000000 +0,0000000 +0,000000 +0,000000 +0,000000 +0,000000 +0,000000 +0,000000 +0,000000 +0,000000 +0,000000 +0,000000 +0,0000000 +0,0000000 +0,0000000 +0,0000000 +0,0000000 +0,0000000 +0,0000000 +0,0000000 +0,0000000 +0,0000000 +0,0000000 +0,0000000 +0,0000000 +0,00000000
		4 _{n-1(3)} 4 _{n(3)} A ₁₍₃₎	An-explica Aqualita Autobia			- Asta)(10)Se(1) - A1(10)(10)Se(1)			4 .	A ₆₍₁₎ A ₁₍₂₎	A1(a)9(a)		_	- Ao(1) ^y (2) ^z 0(1) - A ₁ (2) ^y (2) ^z (1)		9			+ 0,00001 + 0,00041 + 0,00049 + 0,00049 + 0,00049 + 0,17296
		46-10) 46(1)	Amendiffice Amenifice			- 4o(x)\$(x)\$e(x)			4 .	A ₆₍₂₎			_	- Ao(t)y(2)*0(1)		9		-0,00172	+ 0,00001 + 0,00022 + 0,00049
	* 00	44-101	A-108(1)								A0(1)9(1)		_			- 1	-0,09520	-0,00172	
	(n)	44-101	A-108(1)								Aoc		_		-	- 1	-0,09520		0,04533
	*					- A=-4(1)F(1)Fu-1(1)							(1)	n-1(2)	ŀ				+++
	,					7-	l			4,-1(1)	A n-1(1)9(1)		- An-1(1)8(1) ² n-1(1)	- An-1(1)8(1)2n-1(2)				0,00794	-0,00075 -0,00151 -0,00326 -0,00302
	J CO.		H	I		:				- -:	4.		An	4 _n .		2	0,15843		-0,07544 -0,10561 -0,16597
			3		\vdash	H			1 + 46 a-1(1)						-	-		0,20790	-0,01979 -0,03939 -0,05939 -0,07919
		41(1)	Anastra		- Aundunkan	Antigon Fin		Tabella II	(E)	A 1(1)	A1(1)Y(1)		- A1(1)9(1) ² 1(1)	- A1(1)9(1)F1(2)	Tabulta X	*	0,47020		-0,22389 -0,31345 -0,40302 -0,48252 -0,58214
		40(1)	4ex#to		- 4e(1)8(1)F=-6(1)	- 4-aylaylas				4w(1)	A+(1)V(1)	ω,	- Au(1)9(1) ² u(1)	- Ao(1)V(1)Fo(2)	F	- -		0,85594	-0,08151 -0,16303 -0,24465 -0,25006 -0,48910
				8								(1) 2 = 5 (1)		4 5.1		,	0,75360		-0,36884 -0,50238 -0,78947 -0,50230
		4=-1(0)	14	- bd = 400 f(0) e- x01	- \$-4 - =(4)\$(4) E- =(1)	- 14-4(0)F(0)F ₀ -4(0)	•			A =-1(0)	1.4 a-1(0) V(0)	- \$A n-1(0)S(0)5n-1(1)	- 14n-1(0)8(0)En-1(2)	- 14x-1(0)9(0)Ex-1(0)		+	-	1,16528	-0,11096 -0,23196 -0,44390 -0,644390 -0,644390 -0,66488 -0,77888
		i		-	:	: :	•				i	-	; i			e1 -	0,83322		-0,39771 -0,45679 -0,71689 -0,7467 -1,09406 -1,19316
V V	7(e) = 1/e)	£1(0)	Later Ples	- 1-41(0)8(0) Se(1)	- \$-42(0)B(0) S ₂₍₃₎	- 1-4.00(0) Sa(11)			%(e) = #(e)	A1(0)	1A1(0)9(0)	- 141(0)9(0) £1(1)	- \$41(a)\$(0) 21(2)	- 141(0)V(0) 21(0)	-	+		0,37316	-0,08553 -0,07107 -0,10681 -0,1769 -0,17769 -0,21325 -0,24376
			•		Ş						_	P# -	7	- 14		-	0,57142	_	-0,27308 -0,38093 -0,48978 -0,68841 -0,70745 -0,81630 -1,032514
		4(0)	\$Acception	- 1-40(0)F(0) So(1)	- \$-4 e(n)#(n)=e(n)	- + do(a)F(a)Fe(n)				40(0)	14e(0)9(0)	- 1-4e(0)9(0)+0(1)	- \$ Ae(0) 9(0) Fe(2)	- \$ de(0)V(0)F0(3)	-	-	0	0 1	***************************************
]		_	Ш	,						_						(e)	1(0)	000000000
		٢	<u>ş</u>	(t) ¹ 2 (t)	(a) (a)	(a) (b)				ľ	-	(1)	(E)	(g) (g)	•			13	0,57142 1,14284 1,71428 2,28368 2,86710 3,42852 3,99994 4,57138 5,14278
		-	··· Zn-1(v)	Ša-1(1)	= -1(1)	\$ n-1(8)					2n-1(r)	2n-1(1)	2n-1(2)	5n-1(8)				Zpelln.	0,09523 0,19047 0,28571 0,38094 0,47618 0,57142 0,66665 0,76189 0,85713
		-	£1(v)	ř.(1)	ž ₁ (8)	ž ₁₍₈₎				-	21(2)	Ž1(1)	² I(2)	(e)L ₂			-	Zlla.	0,47618 0,66665 0,85713 1,04760 1,23807 1,42885 1,61902 1,80949 1,99997

Π.

Hospodárné methody řešení regulačních obvodů

10. IMPULSNÍ MODELY

Ing. Dr Minoslay Salamon 4 P.ACH Nordky

10.1. Úvod

Jednou z důležitých otázek theorie automatické regulace je i theorie nejvhodnějšího nastavení regulátoru, t. j. přizpůsobení regulátoru dané regulační soustavě a regulačnímu úkolu, a její ověření. O těto problematice byla v poslední době vydána řada publikaci [1], [2], [3], [4], [4a] a theoreticky můžeme dnes pokládat tuto otázku za uspokojivé vyřešenou. Až na směrnici Zieglera a Nicholse [5] o nejvhodnějším nastavení konstant regulátoru jsou všechny práce ryze theoretické a melydy, pokud je nám známo, experimentálně potyrzeny. Aby bylo možno theoretické úvahy potyrdit, je nutno provést velikou řadu zkoušek regulačních pochodů. Pokud jsou tyto zkoušky prováděny přímo na regulovaných soustavách, jsou nákladné a je proto snahou použít při nich modelů regulovaných soustav, které umožní provedení zkoušek v laboratoři, Podobně i pro řešení nmohých úloh theorie automatické regulace je výhodně použít modelů, nehoť je jimi podstatné zkracována výpočtářská prác

Na model regulované soustavy jsou přitom kladeny některé speciální požadavky a to především co do rozsahu časových konstant modelovaných soustav, neboť při zkouškách skutečných regulátorů je nutné pracovat s nezkráceným časovým měřítkem a model regulované soustavy musí mít stejné časové konstanty jako soustava sama. Naproti tomu přesnost modelu nemusí být přiliš veliká, v praxi se obvykle spokojujeme s přesností $\pm 5\%$

Pokud omezime své úvahy jen na statické soustavy, je jejich přechodová charakteristika nejčastěji vyjádřena vztahem

$$f(t) = A_0 + \sum_{i=1}^{n} A_i e^{-\alpha_i (t - t_0)}, \qquad (1)$$

 $f(t)=A_0+\sum_{i=1}^nA_i{\rm e}^{-s_it-t_it}\,, \tag{1}$ k
de A_0 je konečná hodnota regulované veličiny po jednotkové změně vstupn¹ veličiny skokem, A_i a α_i jsou konstanty, nje řád soustavy a t_d její dopravní zpoždění. Mezi konstantami A_0 a A_i platí vztah

$$A_0 + \sum_{i=1}^n A_i = 0. (2)$$

Pro výpočet stability regulačního pochodu a často i pro výpočet nejvhodnějších konstant regulátoru bývá přechodová charakteristika dále zjednodušována. Tak na př. je přechodová charakteristika tvaru (1) nahrazována přechodovou charakteristikou soustavy prvního řádu s časovou konstantou $oldsymbol{T}$ a dopravním zpožděním t_d

$$f_1(t) = A_0(1 - e^{-\frac{t-t_0}{\tau_c}}),$$
 (3)

poměry jsou při tom voleny tak, aby se tečna v bodě $t=t_d$ charakteristiky (3) ztotožnila s tečnou v inflexním bodě charakteristiky (1), viz obr. 1. Jindy je prováděna náhrada lomenou čarou θ , 1, 2, 3 (obr. 1), t. j. přechodová charakteristika je nahrazena přímkami

$$\begin{split} f(t) &= 0 \text{ pro } 0 \leq t \leq t_d \,, \\ f(t) &= A_0 \frac{t}{T_*} \text{ pro } t_d < t_d \leq t + T_* \,, \\ f(t) &= A_0 \text{ pro } T_* + t_d < t < \infty \,. \end{split}$$

Snadno bychom se přesvěděili, že charakteristikám (1), resp. (3) odpovídají diferenciální rovnice soustav

$$a_{0} \frac{d^{2}y}{dt^{n}} + a_{1} \frac{d^{n-1}y}{dt^{n-1}} + \dots + a_{n-1} \frac{dy}{dt} + a_{n}y =$$

$$= b_{0} \frac{d^{m}x}{dt^{m}} + b_{1} \frac{d^{m-1}x}{dt^{m-1}} + \dots + b_{m-1} \frac{dx}{dt} + b_{m}x, \qquad (5)$$

resp.

$$a_0 \frac{\mathrm{d}y}{\mathrm{d}t} + a_1 y = b_0 x (t - t_d) , \qquad (6)$$

kde $\boldsymbol{x}(t)$ je vstupní, $\boldsymbol{y}(t)$ výstupní veličinou soustavy a hodnoty a_i a b_k jsou kon-

Pro modelování regulovaných soustav je možno použít všech soustav, popsaných diferenciálními rovnicemi typu (5). resp. (6), u kterých konstanty a_i a b_k v rovnici soustavy původní (díla) i modelu jsou stejné. Můžeme proto pro modelování užít soustav elektrických, hydraulických, pneumatických nebo tepelných, stejně jako analogických elektronických modelů a podobně. Soustavy elektrické se vyznačují jednoduchostí (bývají sestaveny z odporů a kondensátorů), jejich časové konstanty můžeme rychle a pohodině měnit, nemůžeme však u nich dosáhnout dostatečně dlouhých časových konstant. Soustavy hydraulické, pneumatické a tepelné (podrobný seznam pramenů viz [6]) jsou dosti rozměrné a změny a přesná volba jejich časových konstant je obtížná. Analogické elektronické modely [7] jsou sice přesné a nastavení časových konstant je na nich přesné a pohodlné, tyto modely však vyžadují veliký počet stabilních stejnosměrných zesilovačů a jsou proto velmi nákladné. Uvedené modely regulovaných soustav nejsou proto vhodné pro rychlé zkoušky regulátorů v menších laboratořích a v provozech.

Uvedené nevýhody nemá dále popsaný impulsní model, využívající kvan tového a pamětového účinku kondensátorů. Je i pro soustavy vyšších řádu jednoduchý a jeho časové konstanty je možno pohodlně a rychle měnit ve velmi širokém rozsahu. Na podobném principu je možno sestavit i model son stavy prvního řádu s dopravním zpožděním, popsané diferenciální rovnicí (6). s přechodovou charakteristikou (3). Základním článkem těchto modelů je t. zv. impulsová soustava, kterou se v dalším budeme blíže zabývat. Okolnost. že oba druhy modelú pracují nespojitě a jejich přechodové charakteristiky jsou stupňové, není, jak ukážeme na příkladech, při práci s modely na závadu.

10.2. Impulsová kapacitní soustava

 Uvažujme soustavu, vytvořenou sběrnou kapacitou C_1 a přenášecí kapacítou C_i která je kontaktem j přepinána periodicky ze vstupního napětí x(t) na sběrnou kapacitu C2, kterou nabíjí na výstupní napětí y(t) (viz obr. 2a). Kontaktjje periodicky přepínán na př. tak, že na počátku intervalu Tje z polohyupřepnut do polohy b, ve které setrvá po dobu At, pak se vrací do polohy a setrvá v ní do konce intervalu T, viz obr. 2b. Pokud zanedbáme svody, mění se napětí sběrné kapacity stupňovitě a je jak funkcí vstupního napěti x(t), tak i počtu přepnutí k.

Protože výstupní napětí y(t) se mění v okamžicích T, 2T, 3T, ..., je charak terisováno počtem přepnutí k = 1, 2, 3, ... od počátku pokusu a můžeme je proto sledovat jako funkci počtu přepnutí, y(k). Pro výstupní napětí bychom snadno odvodili vztah

$$y(k) - \frac{C_1}{C + C_1}y(k - 1) = \frac{C}{C + C_1}x(k), \qquad (7)$$

kde x(k) je vstupní napětí soustavy při k-tém přepnutí kontaktu j. Rovnice (7) je diferenční rovnicí soustavy. Byla-li soustava až času t=0 (k=0) v klidu. t. j. bez nábojů, a počne-li v tomto okamžiku působit konstantní napětí x_0 na jejím vstupu, bude se výstupní napětí měnit podle vztahu*)

*) Reseni diferencinich rovnie je podobné jako lešení rovnie diferenciálních. Pokud řešená rovnice je a konstantalní koeficienty, použíje při řešení s výhodou Laplaceovy nebo Laplace-Wagnerovy diferenciá transformace [8].

$$y(k) = x_0(1 - e^{-\alpha k}) = x_0(1 - e^{-\alpha \frac{t}{p}}),$$
 (8)

kde jeme označili

$$e^{-a} = \frac{C_1}{C + C_1}, \quad \alpha = \ln\left(1 + \frac{C}{C_1}\right).$$
 (9)

Vidíme, že tato soustava se chová podobně, jako spojitá soustava prvního Mdu. Její časová konstanta je

$$T_s = \frac{T}{\alpha} = \frac{T}{\ln\left(1 + \frac{C}{C_1}\right)},\tag{10}$$

kde T je doba intervalu mezi dvěma přepnutími kontaktu j. Jediným rozdílem proti soustavě spojité je ta okolnost, že změna výstupního napětí je v tomto případě stupňová, t. j. její výstupní napětí je po úscelch spojitou funkcí času. Závislost poměrné časové konstanty

$$\tau = \frac{T_s}{T} = \frac{1}{\ln\left(1 + \frac{C}{C_1}\right)},\tag{11}$$

vyjádřené počtem period kontaktu j na poměru kapacit $\frac{C_1}{C}$ je na obr. 3.

Vidíme, že pro $\frac{C_1}{C}>10$ můžeme klást přibližně

$$\tau \doteq \frac{C_1}{C}, \quad T_s \doteq T \frac{C_1}{C}.$$
 (12)

Výhody impulsové kapacitní soustavy jsou zřejmé: časovou konstantu můšeme ve velmi širokých mezích měnit poměrem kapacit C_1 a C a přepínací frekvence $f = \frac{1}{T}$ konstantu j. Volime-li na př. přepínací frekvenci f = 0,1 l/s. t. j. T=10 s, je při poměru $\frac{C_1}{C}=100$ (na př. $C_1=10~\mu {\rm F},~C=0.1~\mu {\rm F})$ výsledná časová konstanta $T_1=1000$ s. Nevýhodou impulsové soustavy je t okolnost, že napětí na kondensátoru C_1 (výstupní napětí) musíme měřit pří strojem bez spotřeby (na př. elektrostatickým nebo elektronkovým volt

Doposud jsme předpokládali ideální kondensátory C a C2. Má-li kondensátor C_1 svod R_1 , t. j. je-li jeho časová konstanta $T_1=C_1R_1$, změní se stupňová přechodová charakteristika z výrazu (8) na

$$y_1(k) = x_0 \frac{C}{C + C_1 \left(1 - e^{-\frac{r}{T_1}}\right)} \left[1 - \left(\frac{Ce^{-\frac{r}{T_1}}}{C + C_1}\right)^k\right]. \tag{13}$$
Vlivem svodu klesla časová konstanta soustavy na hodnotu
$$T_{A} = \frac{T}{\frac{T}{T_1} + \ln\left(1 + \frac{C}{C_1}\right)}. \tag{14}$$

$$T_{-1} = \frac{T}{\frac{T}{T_{-1}} + \ln\left(1 + \frac{C}{C_{-1}}\right)}.$$
 (14)

Současně klesá i zesílení soustavy, které bylo původně rovno jedné, na hodnotu

$$Z_{s1} = \frac{C}{C + C_1 \left(1 - e^{-\frac{r}{r_1}}\right)}.$$
 (15)

V obr. 4 je nakreslena závislost časové konstanty T_{s1} a zesílení Z_{s1} na poměru doby cyklu Tpřepínacího kontaktu a časové konstanty T_1 kondensátoru $C_1\!\!$ a to pro několik různých poměrů $\frac{C_1}{U}$. Vidíme, že minimální časová konstanta, kterou ještě u kondensátoru C_i můžeme připustit, je asi 1000T. Užíváme-li na příklad sběrné kapacity $C_1=10\,\mu\mathrm{F}$ a minimální přepínací frekvence f=0.05 $\hat{\mathbf{l}}/\mathbf{s}~(T=20~\mathrm{s})$ je nejmenší přípustný svodový odpor kondensátoru C_1

$$R_1 \approx \frac{T_1}{C_1} \approx \frac{2}{10} \cdot \frac{10^4}{10 \cdot 10^{-6}} \approx 2 \cdot 10^9 \; \mathrm{ohm} \mathring{\mathrm{u}}$$
 .

Při menších hodnotách svodového odporu kvalita soustavy rychle klesá,

10.3. Impulsová statická soustava vyššího řádu

V praxi přicházející regulační soustavy jsou obvykle vyššího řádu a bývají vytvořeny seriovým nebo seriově-paralelním řazením soustav prvního řádu. Přítom setkáváme se se dvěma druhy členů soustavy: členy, které se navzájem zpětně neovlivňují (na př. dvě za sebou zapojené nádrže, ve kterých je vyrovnávána koncentrace určité látky - změna koncentrace v druhé nádrži neovlivňuje zpětně koncentraci v nádrži první) a členy, které se zpětně ovlivňují (na př. členy tepelné soustavy – změna teploty ohřívaného media zpětně působí na teplotu zdroje). Při modelování takových soustav musíme mít proto možnost vytvořit členy jak zpětně působící, tak i nepůsobící.

Přímým spojením dvou impulsových soustav prvního řádu podle obr. 5a získáme soustavu druhého řádu se zpětným působením. Soustavu druhého řádu bez zpětného působení získáme, vložíme-li mezi obě soustavy prvního řádu impedanční měniče IM, které při velmi vysoké vstupní impedanci dávají na výstupu napětí rovné napětí vstupnímu na malé impedanci (tedy vhodné zesilovače s úplnou negativní zpětnou vazbou), viz obr. 5b. Užití impedančních měničů je ovšem nákladné a při soustavách vyššího řádu ztratili bychom výhody jednoduchosti impulsové soustavy. Soustavu vyššího řádu můžeme však vy tvořit též bez užití impedančních měničů (resp. jen s jedním impedančním měničem na výstupu soustavy), jestliže místo n přenášecích kondensátorů (n řád modelované soustavy) užijeme jediného přenášecího kondensátoru, který je během jedné periody přepnut ze vstupního napětí postupně na všechny sběrné kondensátory $C_{11}, C_{12}, \ldots, C_{1n}$, na př. ve spojení podle obr. 6. Řetězec kontaktů a,b,\ldots,n je přepínán vhodným způsobem (na př. releovým řetězcem $A,\,B,\,\ldots,\,N$) tak, že relé $A,\,B,\,\ldots,\,N$ (v obrázku nekreslená) spínají postupně za sebou a zůstanou přitažena až do konce periody. Takovým způsobem získáme model statické soustavy bez zpětného ovlivňování jednotlivých členů přiužití jediného impedaněního měniče na výstupu ze soustavy. Časové konstanty jednotlivých členů jsou opět určeny poměry $\frac{C_{II}}{C}$ $(i=1,2,\ldots,n)$ a vztahem

S ohledem na to, že při seriovém řazení soustav s rozdílnými časovými konstantami mizí účinek členů s malými časovými konstantami proti účinku členů s velkými časovými konstantami, je často výhodné volit v modelu časové konstanty jednotlivých, za sebou spojených členů stejné, t. j. v případě podle obr. 6 volit sběrné kapacity C_{1i} stejné, $C_{11}=C_{12}=\ldots=C_{1n}=C_1$. Takovou soustavu můžeme pak s přesností pro regulační účely vyhovující nahradit soustavou prvního řádu s časovou konstantou T_{sn} a fiktivním dopravním zpožděním $t_{\rm d}'$ pôdle obr. 1. Označíme-li T_{s1} časovou konstantu jednoho členu soustavy $n\text{-}tého řádu, je časová konstanta náhradní soustavy <math display="inline">T_{\mathfrak{s}^n}$ a fiktivní dopravní zpoždění t_d' pro $n=1,\,2,\,\ldots,\,6$ dáno hodnotami v tabulce I. Tímto způsobem můžeme však naopak nahradit i soustavy s dopravním zpožděním soustavami vyššího řádu.

10.4. Statická soustava prvního řádu s dopravním zpožděním

Přesto, že soustava vyššího řádu se stejnými seriově řazenými členy celkem dobře vyjadřuje vlastnosti soustav s dopravním zpožděním, potřebujeme někdy i modely soustav se skutečným dopravním zpožděním. Takový model můžeme realisovat snadno využitím schopnosti kondensátoru podržet svůj náboj (či jak krátce říkáme, využitím kapacitní paměti).

Nabíjíme-li přepínačem vs, v pravidelných intervalech T přepínaným, řadu stejných kondensátorů $C_{11},\,C_{12},\,\ldots,\,C_{1(n-1)},\,C_{1n}$ vstupním napětím modelu $\boldsymbol{x(k)}$ (obr. 7) a druhým přepínačem $\boldsymbol{v}\boldsymbol{y}$, synchronně přepínaným s prvním, jehož kontakt je však proti prvnímu opožděn o d kroků, vybíjíme tyto kondensátory

$$\frac{y(k)}{x_0} = 1 - \left(\frac{C}{C_{1-} + C}\right)^{k-d} = 1 - e^{-x(k-d)},$$
 (16)

do sběrné kapacity C_0 , bude stupňová přechodová charakteristika modelu $\frac{y(k)}{x_0} = 1 - \left(\frac{C}{C_1 + C}\right)^{k-d} = 1 - \mathrm{e}^{-x(k-d)} \,, \tag{16}$ kde koeficient a, resp. jeho převratná hodnota, poměrná časová konstanta soustavy $\frac{T_s}{T} = \frac{1}{\lambda}$, je opět dán vztahy (9) a (10). Tímto způsobem získáváme model med na vytaky (10) a (10). model soustavy prvního řádu s dopravním zpožděním

$$t_d = Td$$
 (17)

a časovou konstantou T_s . Maximálně dosažítelné dopravní zpoždění je dáno počtem přepínaných kondensátorů a dobou cyklu T přepínání synchronně se pohybujících přepínačů vs a $v\hat{y}$.

Ve Výzkumném ústavě acetylenové chemic byl na tonuto principu konstruován model se 150 kondensátory po 0,02 gF (kondensátory Tesla se styroflexovu isolaci), který při maximální době přepnutí 10 s dovoluje maximálním dopravním zpoždění 1500 s, s možnosti rozšíření na 450 kondensátorů s maximálním dopravním zpožděním 4500 s = 75 min. Jako přepinačů bylo užito telefonních hledačů, řízených řídidly a sadou relé. Dopravní zpoždění, nastavené před pokusem třemi přepinačí, určuje okamžik automatického spuštění výstupního přepínače opožděně po spuštění přepinače vstupního. Pro krokování voličů je jako impulsního generátoru užito elektrického časovače (hodiu pro fotografy), u kterého je možno nastavit dobu cyklu od 1 vteřiny. V obr. 8 je reprodukována přechodová charakteristika soustavy, tímto modelem nahrazené.

Jako impedančních měničů bylo původně užíváno pH-metrů Tesla VUPEF, typ 364 [9] a k registraci bylo užito sovětského zapisovače EPD 07 s diskovým záznamem, u kterého byl pohon synchronním motorkem překonstruován na krokový pohon z druhého časovače (impulsového generátoru). Tím bylo dosaženo snaduć a rychlé možnosti změny zapisovací rychlosti. Z obr. 8 a dalších je zřejmé, že ani stupňovitý charakter výstupniho napětí modelu, ani krokový impulsový pohon zapisovače nejsou na závadu.

Protože u uvedeného pH-metru vyskytovalo se občas v souvislosti s vlhkostí vzduchu nabíjení sběrné výstupní kapacity, byl překonstruován zesilovač zapi sovače EPD 07 tak, že na mřížku první elektronky byl připojen přímo kondensátor 0,05 μ F, který je přepínán vibrátorem vi na měřené napětí y(k) a kompensační napětí u(k), automaticky měněné motorem kompensátoru tak, aby byla trvale udržována rovnováha (obr. 9). Katodový odpor první elektronky byl přitom zvětšen tak, že elektronka pracuje jako katodový sledovač (úpravu provedl věd. asp. Ing. Jaroslav Mařšík). Zapisovač pracuje v tomto spojení jako bezspotřební zapisující milivoltmetr již od rozsahu 0-60 mV.

10.5. Užití impulsních modelů

10.5.1. Zkoušky regulátorů

V obrázku 10 je blokové zapojení modelu pro zkoušky regulátorů. Na model je zapojen impedanční měnić se zápisem regulované veličiny a vysílačem pro převáděcí člen I, který převede napětí nebo pohyb z impedančního měniče na vstupní veličinu zkoušeného regulátoru (el. napětí, tlak vzduchu a pod.). Za regulátorem je zapojen převáděcí člen II, který převede výstupní veličinu regulátoru na elektrické napětí (na př. servomotor s potenciometrickým vysilačem, manometr s potenciometrickým vysilačem a pod.). Po vhodném nastavení konstant modelu je možno tímto způsobem rychle zkoušet regulátory, regulovaná veličina je registrována. Podobně může být sestaveno i spojení pro víceparametrovou regulaci. V obr. 11a, b, c jsou uvedeny příklady takto registrovaných regulačních poelodů.

10.5.2. Integrující a derivující člen, poddajná zpětná vazba

Impulsové kapacitní soustavy můžeme přímo užít jako přibližně integrujícího a přibližně derivujícího členu. Výstupní napětí soustavy y(k) po skokové změně vstupního napětí x_0 (obr. 12.) je

$$y(k) = x_0 \mathbf{1} - e^{-xk} = x_0 \alpha k = x_0 \sum_{k=1}^{k} \alpha$$
 (18)

(pokud je $\alpha \le 1,$ t. j. pokud je časová konstanta impulsové soustavy velká). Soustava působí proto jako přibližně integrující člen.

Rozdíl napětí vstupního a napětí na kondensátoru C_1

$$z(k) = x(k) - y(k) \tag{19}$$

je přibližným diferenciálem vstupního napětí, tedy na př. při lineárním stoupání vstupního napětí je

$$z(k) = x(k) - y(k) = ak - y(k) = \frac{a(1 - e^{-xk})}{1 - e^{-x}}.$$
 (20)

Pokud je časová konstanta $T_s = \frac{T}{2}$ malá, je přibližně

$$z(k) = x(k) - x(k-1) = a$$
 (21)

a napětí z(k) je přibližně rovno první diferenci napětí vstupního, tedy při dostatečně krátké době periody T i první derivaci napětí vstupního. Stupňový přenos

$$\frac{\mathcal{L}[z(k)]}{\mathcal{L}[x(k)]} = \frac{e^p - 1}{e^p - e^{-\alpha}}$$
 (22)

odpovídá přenosu poddajné zpětné vazby při spojitých regulacích

$$F(p) = \frac{p}{p+\alpha} \tag{23}$$

a můžeme proto napětí z(k) užít též jako zpětnovazební napětí regulátoru k dosažení poddajné zpětné vazby. Časovou konstantu zpětné vazby můžeme přitom pohodlně měnit změnou kapacit $\frac{C_1}{C_1}$.

10.5.3. Diferencující člen

Kapacitní paměti můžeme užít i pro přesné vytvoření první diference vstupního napětí. Vycházíme přitom z definice

$$x(k) = x(k+1) - x(k)$$
 (24)

a měříme rozdíl napětí v (k-1)-ním intervalu proti napětí v k-tém intervalu tím, že měříme rozdíl napětí vstupního x(k) a napětí jednoho z kondensátorů C, které jsou střídavě přepínány na vstup, viz obr. 13.

Nekreslená relé A,B s kontakty $a_i,\ a_i,\ b_1,\ b_2$, jsou buzena tak, že na př. v lichých intervalech 2k+1 je buzeno relé A, v sudých intervalech 2k relé B. v nenyan met vacca za podobnym je možno vytvořit i druhou, třeti atd. diferenci, potřebný počet relé a jejich kontaktů přitom však rychle roste. Tak na příklad pro vytvoření druhé diference obdobným způsobem je zapotřebí čtyř relé celkem s 20 spínacími kontakty.

10.5.4. Model regulátoru PID

Použitím výše uvedených prvků můžeme vytvořit nejen model regulované soustavy, ale i model regulátoru, na př. proporcionálně integračního s derivační složkou. Jeho schema je nakresleno na obr. 14.

Vstupní signál pro model regulátoru (úměrný regulační odchylce) je vytvořen jako střídavé napětí x(k), které je přes tři paralelně zapojené transformátory po usměrnění v usměrňovačích U_1, U_4 a U_3 přivodeno ke třem děličům napětí, kterými jsou nastavovány jednotlivé složky regulátoru, proporcionální P, derivační D a integrační I. Velikost složek je možno měřit na připojených volt metrech. Celkové zesilení modelu regulátoru je měněno v impedančním měniči IM .

10.6. Závěr

Bylo referováno o novém modelu statických regulovaných soustav, jehož působení je založeno na kapacitní paměti. Proti jiným modelům má výhodu v tom, že je ho možno použít i pro modelování soustav s velikými, snadno měnitelnými časovými konstantami. Podobně je možno konstruovat model soustavy s dopravním zpožděním a členy diferencující a integrující. Na několika příkladech bylo ukázáno na možnost použití modelů s impulsujícími kapacitními

Literatura

- [11] R. C. OLDENBOURG & H. SARTORIUS, ASME-Paper No 53 A, 18 (1953).
- H. Sartonius, Regelungstechnik 2 (1954), 165.
 J. Hänny, Regelungstechnik 2 (1954), 171.
 D. Singer, Slaboproud. obzor 16 (1955), 120.
- [4a] R. REEBER, Regelungstechnik 4 (1956), 13
- [6] J. G. ZIROLER a N. B. NICHOLS, Trans. ASME 65 (1943), 433.
 [6] M. BALDA, Analogony regul. obvodů, Techn. zpráva Regula-vývoj, č. 17, 18 (1955),
 [7] D. SINGER, Použití analogonů pro řešení regulačních pochodů, Souhrn prací o auto-
- matisaci, Praha 1955.
- (8a) JA. Z. Cyperk, Perechodnyje i ustanovivšijasja processy v impulsnych cepjach, Moskva 1951.
 (8b) M. Salamon, Nespojité regulace, Souhra pract o automatisaci, Praha 1955.
 [9] M. Šalamon, Slabope, obzor 17 (1956), 115.

n	$\frac{T_{sn}}{T_{s1}}$	$rac{t_{d^{'}}}{T_{s1}}$	$\frac{t_d'}{T_{sn}}$
1	1	0	0
2	2,66	0,29	0,109
3 .	3,72	0,77	0,207
4	4,5	1,42	0,315
5	5,15	2,1	0,411
6	5.7	2.8	0.492

- Obr. 1. Přechodová charakteristika soustavy vyššího řádu (a) a její náhrada soustavou prvního řádu s dopravním zpožděním t, (b) a lomenou čarcu θ/25 (c).
 Obr. 2. Impulsová soustava prvního řádu (a) a časový šded přepínání kontaktu j (b).
 Obr. 3. Závislost poměrné časové konstanty r impulsové soustavy na poměru sběrné a přenášecí kapacity.
 Obr. 4. Závislost pioměrné časová konstanty τ (a) a zesílení Z_{se} (b) impulsové soustavy na poměru doby cyklu T a časové konstanty sběrného kondensátoru T₁. Parametr: poměr sběrné a přenášecí kapacity.
 Obr. 5. Impulsová soustava druhého řádu so zpětným působením (a) a bez zpětného působení (b).
 IM impedanciní měnič.
 Obr. 6. Impulsová soustava a r-kloh řádu bez zpětného působení.
 Obr. 7. Impulsová soustava prvního řádu se zpětného působení.
 Obr. 8. Přechodová charakteristka impulsové soustavy prvního řádu s dopravním zpožděním.
 Obr. 9. O řprava potenciometrického clektronkového zapisovače EPD-07 na impedanční měnič.
 Obr. 10. Blokové zapojení impulsového modelu pro zkoušení regulátorů.
 Obr. 17. Příklady regulačních pochodů při uspořádání podle obr. 10.
 Obr. 17. Modol PID regulátoru s impulsní člen.
 Obr. 14. Modol PID regulátoru s impulsními členy.

11. ELEKTROMECHANICKÝ ANALOGON REGULAČNÍCH OBVODŮ EMAN I

Ing. MILAN BALDA Regula - vývoj, n. p., Praho

V roce 1954 byl postaven na katedře technického měření a regulace na fakultě strojního inženýrství ČVUT v Praze prototyp elektromechanického analogonu regulačních obvodů s typovým označením EMAN I.

Koncepce analogonu vyplynula jednak z požadavků, jednak z rozboru vlastností známých typů analogonů regulačních obvodů. Protože zařízení je určeno především k pedagogickým účelům, je analogon postaven jako analogon vlastní, s vyjádřenými jednotlivými členy regulačního obvodu. Hodnota regulované veličiny a poloha regulačniho orgánu se trvale zaznamenávají na záznamní pás. Časové konstanty jsou voleny tak, aby bylo možno sledovat průběh regulačního pochodu bez potíží přímým pozorováním.

Vlastní konstrukce analogonu byla pak dána těmito hledisky:

- 1. Vzhledem k omezeným možnostem dílenským musela být stavba co nejjednodušší, s omezeným počtem součástí, zejména mechanických. 2. Vyžadovala se jednoduchá obsluha, snadné a rychlé propojování jednotli-
- vých funkčních celků a nastavování konstant.
 - Konečně se vyžadoval ucelený vzhled a bezpečnost při provozu.

EMAN I je analogon vlastní, u něhož se všechny vyšetřované veličiny převádějí na napětí. Skládá se z těchto funkčních celků:

- a) z analogonu regulátorů se zapisovačem polohy regulačního orgánu,
- b) z analogonu regulovaných soustav,
- c) ze zapisovače regulované veličiny.

Blokové schema analogonu je znázorněno na obr. 1, zjednodušené schema zapojení je na obr. 2. Jak patrno, zavádí se výstupní napětí ze soustavy na vstup regulátoru a výstupní napětí regulátoru na vstup soustavy. Tím je regulační obvod uzavřen. Zapisovač regulované veličiny je připojen paralelně k vý-

Na analogonu lze snímat přechodové charakteristiky rozpojených regulačních obvodů a jejich částí a vyšetřovat regulační obvody s proporcionálními nebo integračními regulátory a s regulovanými soustavami až do čtyř kapacit.

Práce s analogonem je velmi názorná a jednoduchá.

11.1 Analogon spojitých regulátorů

Analogon spojitých regulátorů je postaven tak, že lze na něm provádět tyto zásahy:

- a) nastavovat pásmo proporcionality v rozsahu 12 až 100% nebo v jiných rozsazich po změně napětí zdroje zpětné vazby,
- b) nastavovat žádanou hodnotu regulované veličiny v celém rozsahu stupnice.
- c) znázornit vliv čidla,
- d) nastavit libovolnou charakteristiku regulačního orgánu,
- e) znázornit vliv vůle v mechanických spojeních na činnost regulátoru.

Mimo to se samočinně zapisuje poloha regulačního orgánu během regulač ního pochodu.

Analogon spojitého regulátoru je regulátor napětí, který pracuje na podstatě samočinného elektronického potenciometru. Činnost vysvětlíme na základním schematu podle obr. 3. Regulovanou veličinou je výstupní napětí ze soustavy, připojené na vstup regulátoru. Toto napětí se má dodržovat konstantní.

Proti vstupními napětí, přiváděnému do regulátoru z analogonu soustavy, působí napětí od zpětné vazby. Rozdíl obou se zavádí do zesilovače, který napájí balanční motorek. Podle polarity tohoto signálu se otáčí balanční motorek na jednu nebo druhou stranu tak dlouho, až se napětí od zpětné vazby vyrovná s napětím vstupním. Pak je signál na vstupu zesilovače nulový a motorek se

S běžcem potenciometru zpětné vazby je spojen běžec potenciometru, který znázorňuje regulační orgán. Zvětší-li se vstupní napětí regulátoru, uvede se balanční motorek a s ním spojené běžce potenciometrů do pohybu v takovém smyslu, že výstupní napětí z regulátoru klesá. Tím klesne i napětí v analogonu regulovaných soustav, takže se napětí na vstupu regulátoru (t. j. vlastní regulovaná veličina) vrátí přibližně na původní hodnotu.

Na obrázku 4 je kompletní blokové schema regulátoru. Analogon spojitých regulátorů obsahuje tyto části:

- $\check{Z}H$ stavění žádané hodnoty regulované veličiny,
- obvod zpětné vazby,
- RO regulační orgán s nastavitelnou charakteristikou,
- zesilovač,
- BM balanční motorek,
- RCL obvod znázorňující vliv čidla a dálkového přenosu.

Signál zaváděný do regulátoru prochází nejdříve obvodem RCL, který obsahuje proměnný odpor, kapacitu a indukčnost, kde se žádaným způsobem zdeformuje nebo zpozdi. Signál se dále porovnává s napětím odpovídajícím žádané hodnotě regulované veličiny. K odchylec od žádané hodnoty (t. j. k regulační odchylee) se přičte napětí od zpětné vazby a teprve výsledné napětí se zavádí do zesilovače. Ten pohání popsaným způsobem balanční motorek, který ovládá potenciometr regulačního orgánu.

Nastavování žádané hodnoty

Proti vstupnímu signálu se zavádí signál žádané hodnoty, stavěný ručně běžcem potenciometru. Do dalších členů regulátoru pak vstupuje rozdíl mezi žádanou a skutečnou hodnotou, t. j. regulační odchylka (obr. 5).

Nastavování zpětné vazby

K signálu zaváděnému do zesilovače se přičitá signál od zpětné vazby (obr. 6). Je-li obvod zpětné vazby rozpojen, t. j. nedává-li zpětná vazba napětí, pracuje regulátor astaticky. Regulační orgán se ustálí v takové poloze, při níž se skuteňa hodnota regulované veličiny, t. j. vstupní signál regulátoru, rovná žádané hodnotě, avšak s opačným znaménkem. V tomto případě dodržuje regulátor přesně žádanou hodnotu regulované veličiny, je však v podstatě nestabilní.

Při zapojené zpětné vazbě se přičitá k regulační odchylec napětí od zpětné vazby. Regulátor se ustálí v takové poloze, při níž se vstupní signál rovná součtu žádané hodnoty a signálu od zpětné vazby. Vzniká trvalá regulační odchylka, způsobená povnou zpětnou vazbou. Regulátor pracuje staticky.

odchylka, způsobená pevnou zpětnou vazbou. Regulátor pracuje staticky. Sestavíme rovnici regulátoru v ustáleném stavu (obr. 7): regulátor je v klidu, je-li na vstupu zesilovače nulové napětí

$$u_4 - u_1 + u_3 = 0.$$

Zde je u_1 vstupní napětí regulátoru,

 u_3 napětí, úměrné žádané hodnotě regulované veličiny ($u_3=$ konst), u_4 napětí zpětné vazby.

Výchylka balančního motorku s, vztažená na pohyb zapisovacího pera, je přímo úměrná napětí zpětné vazby

$$s = ku_4$$

kde je k zesílení regulátoru, nastavené předražným odporem R.

Při kladné výchylce balaněního motorku klesá výstupní napětí u_1 (regulační orgán uzavírá). Označíme-li rozsah zdvihu s 0 až 1 a rozsah výstupního napětí u_1 také 0 až 1, platí, že

$$u_2=1-s.$$

 ${\bf Z}$ dílčích rovnic dostaneme pak rovnici regulátoru v ustáleném stavu

$$u_2 = 1 - k(u_1 - u_3) .$$

Je tedy výstupní napětí přímo úměrné regulační odchylce. Zesilení regulátoru, t. j. poměr výstupního napětí k regulační odchylce, závisí na nastavení předražného odporu R

Regulační orgán

Regulační orgán dovoluje nastavít libovolnou charakteristiku. Je vytvořen jako programový potenciometr (obr. 8). Potenciometr má 20 odboček, z nichž každou lze zapojit na dělič napětí, odstupňovaný po 1%. Charakteristika regulačního orgánu je pak dána lomenou čarou, složenou z dvacetí úseků. Průběh lomené charakteristiky se může lišit od požadovaného průběhu nejvýše asi o 1%. Této přesnosti lze u skutečných regulačních orgánů dosáhnout jen výjimečně.

Zesilovač a balanční motorek

Analogon pracuje se stejnosměrným signálem, který je nutno převést na úměrný signál střídavý, potřebný k pohonu balančního motorku.

Stejnosměrný signál se mění ve střídavý ve střídači zapojeném jako kruhový modulátor. Výstupní napětí ze střídače je ve fázi nebo v protifázi se sítí podle polarity vstupního signálu a jeho amplituda je úměrná velikosti vstupního signálu.

Výstupní napětí ze střídače se zavádí do střídavého elektronického zesilovače podobného provedení, jakého se používá u průmyslových samočinných potenciometrů.

Balanční motorek je dvoufázový asynchronní motor se dvojím vinutím. Jedno vinutí je napájeno ze zesilovače, druhé ze sítě přes kondensátor, takže napětí na něm je otočeno proti síti o 90°. V prvním vinutí je napětí buď ve fázi nebo v protifázi se síti podle polarity signálu na vstupu zesilovače. Tím vzniká v balančním motorku točivé magnetické pole v jednom nebo druhém smyslu. Při malých hodnotách vstupního signálu se motorek otáčí rychlostí úměrnou velikosti signálu.

Obvod pro znázornění vlivu čidla

Regulátor je vybaven RCL obvodem, kterým lze znázornit vliv čidla (na př. tepelnou setrvačnost a pod.). Obvod obsahuje odpor, kapacitu a indukčnost. Tyto prvky jsou proměnné a lze je zapojit v libovolné kombinaci.

Vstupní obvod regulátoru je upraven tak, aby bylo možno připojit po případě obvod pro matematické operace.

Obvod na znázornění vůle

V převodu mezi balančním motorkem a pohonem potenciometrů je upraven stavitelný výřez, takže je možno vyšetřovat vliv vůle (na př. v mechanických převodech) na průběh regulačního pochodu. Největší vůle, kterou lze nastavit, je asi 150° na hřídeli pohonu, t. j. asi 50% rozsahu stupnice.

Zapisovací zařízení

S běžci potenciometrů zpětné vazby a regulačního orgánu je spojeno zapisovací pero, které zaznamenává pohyb regulačního orgánu během regulačního pochodu. Šířka záznamu je 100 mm, posuv záznamního pásu je 5 mm/s.

Rovnice analogonu regulátorů

Pohybovou rovnici regulátoru sestavíme takto (obr. 7); balanční motorek se pohybuje rychlostí, úměrnou rozdílu napětí na vstupu zesilovače. Proti pohybu působí setrvačná hmota všech pohybujících se částí. Platí tedy pro pohyb balančního motorku (rovnici píšeme hned v bezrozměrném tvaru), že

$$\frac{u_1-u_3}{u_{\max}} - \frac{u_4}{u_{\max}} = \frac{s_{\max}}{u_{\max}} \left(T_1 \, \frac{\mathrm{d}}{\mathrm{d}t} \, \frac{s}{s_{\max}} + m \, \frac{\mathrm{d}^2}{\mathrm{d}t^2} \frac{s}{s_{\max}} \right).$$

Podobně píšeme v bezrozměrném tvaru i vztah mezi velikostí napětí zpětné vazby a pohybem motorku:

$$\frac{u_{\rm s}}{u_{\rm max}} = \frac{s_{\rm max}}{u_{\rm max}} \frac{1}{k} \frac{s}{s_{\rm max}}$$

a vztah mezi výstupním napětím napětím a pohybem metorku (nehledíme-li k absolutním hodnotám):

$$-\frac{u_3}{u} = \frac{s_{\max}}{u} \frac{s}{s_{--}}.$$

V rovnicích značí

vztažné napětí (na př. napětí kompensačního zdroje)
 celkový zdvih regulačního orgánu,

 $\frac{u_1 - u_2}{u_2 - u_3} = \varphi$ poměrnou hodnotu regulační odchylky,

 $\frac{u_2}{u_2} = \mu$ poměrnou hodnotu výstupní veličiny regulátoru,

T₁ součinitele, obdobného době závěru pohonu,
m součinitele, udávajícího vliv setrvačné hmot

m součinitele, udávajícího vliv setrvačné hmoty, k zesílení regulátoru.

Vyloučíme-li proměnné, které nás nezajímají, dostáváme rovnici regulátoru

$$\varphi = \frac{1}{k} \; \mu \, + T_1 \mu' \, + m \mu'' \; .$$

 ${\bf V}$ ustáleném tvaru jsou obě derivace rovny nule a rovnice regulátoru dostane tvar

$$\varphi_{\rm tot} = \frac{1}{k} \; \mu \; .$$

Regulátor pracuje s trvalou regulační odchylkou, t. j. staticky. Statické zesílení regulátoru $\frac{\mu}{\varphi}=k$, jak jsme už dříve odvodili.

Jestliže rozpojíme obvod zpětné vazby ($k=\infty$), dostane rovnice regulátoru tvar

$$\varphi = T_{4}\mu' + m\mu''$$

a regulátor bude pracovat astaticky, protože v ustáleném stavu bude regulační odchvíka

$$\varphi_{\mathrm{ust}}=0$$
 .

Zesílení regulátoru k známe. Je dáno velikostí předraženého odporu v obvodu zpětné vazby. Ostatní hodnoty T_1 a m bychom mohli vypočítat z konstrukce přístroje. Je to však velmi pracné a v praxi se tohoto postupu nepoužívá. Hodnoty konstant vyšetřujeme proto zpravidla z naměřených dynamických charakteristik regulátoru. V daném případě mají jednotlivé konstanty tyto hodnoty:

$$\begin{array}{ll} k &= 1 \text{ až } 100 \text{ ,} \\ T_1 &= 0.032 \text{ s ,} \\ m &= 0.0034 \text{ s}^2 \text{ .} \end{array}$$

(Postup při vyhledávání číselných hodnot konstant je podrobně popsán v práci [1].)

11.2. Konstrukce analogonu regulovaných astav

Analogon soustav je sestaven z řady odporů, kapacit a indukčností, které lze zapojit v libovolné kombinaci. Tím je možno zuázornit velké množství technicky důležitých regulovaných soustav. Každý z prvků soustavy lze nastavit v deseti hodnotách. Xa výstup soustavy je přípojen kathodový sledovač, aby soustava nebyla zatěžována nežádoneími vlivy.

Analogon regulovaných soustav obsahuje celkem 4 kapacity, 5 odporů, 2 indukčnosti a kathodový sledovač se získem 0,92. Mimo to lze k soustavě připojit libovolný počet vnějších prvků.

Póly jednotlivých prvků analogonu jsou vyvedeny do dvojitých zdířek na panelu. Toto uspořádání dovoluje propojit jednotlivé prvky v libovolné kombinaci při nejmenším počtu zdířek, banánků, přepinačů, kabliků a pod. Prvky se propojují ohebnými kabliky s banánky.

Kathodový sledovač je běžného provedení. Zisk sledovače je 0,92 (střední hodnota). Řízením předpětí sledovače je možno posunout záznam na zapisovačí regulované veličiny do libovolné polohy na záznamním pásu.

Činnost analogonu regulovaných soustav byla kontrolována velkým počtem měření přechodových charakteristik různých druhů regulovaných soustav nebo jiných obvodů.

Přechodové charakteristiky byly snímány způsobem naznačeným na obrázku 9. Změna skokem na vstupu soustavy byla provedena rychlým přestavením běžee potenciometru z jedné krajní polohy do druhé. I když nejde ve skutečnosti o nekonečně rychlý skok (přestavení trvá asi 0,2 s), není tím průběh přechodové charakteristiky nikterak skreslen.

Analogon soustav je jednoduchý, práce s ním je přehledná a rychlá a přesnost vyhovuje.

Zapisovač regulované veličiny

Zapisovač regulované veličiny je elektronický samočinný potenciometr, shodný v podstatě se zapisovačem polohy regulačního orgánu. Mechanicky i elektronicky je proveden stejně, jen s tím rozdílem, že obsahuje pouze potenciometr zvětné vazby.

Blokové schema zapojení zapisovače je na obr. 10. Největší odchylka od linearity mezi záznamem a vstupním signálem je menší než 0,5%. Přechod zapisovacího pera přes celou stupníci při změně vstupního signálu o 100% trvá průměrně 1 s. Šířka záznamu je shodná se zapisovačem polohy regulačního orgánu, t. j. 100 mm, stejně tak i posuv záznamního pásu 5 mm/s.

11.3. Příklady práce s analogonem

Na několika příkladech ukážeme praktickou použitelnost analogonu.

Charakteristiky soustav 1. řádu

Na obrázku 11 jsou uvedeny některé přechodové charakteristiky, překreslené z původních diagramů. Na jednotlivých přechodových charakteristikách byly kontrolovány body 63,2%, 90% a 99% konečné hodnoty, t. j. body v čase t=T, resp. 2,3T nebo 4,6T, kde je T=RC časová konstanta soustavy.

Bylo zjištěno, že odchylky záznamů od vypočteného průběhu jsou v mezích 1 až 3%. Z obrázku je též patrno, že výstup soustavy je trvale zatěžován vstupním

Z obrázku je též patrno, že výstup soustavy je trvale zatěžován vstupním odporem sledovače, který je 70 M Ω . To způsobuje, že v ustáleném stavu je napětí na vstupu sledovače menší než napětí na vstupu soustavy v poměru odporu soustavy v a vstupního odporu sledovače.

Bude-li zisk sledovače 0.92, bude v ustáleném stavu na výstupu sledovače napětí

$$u_2 = 0.92 \, rac{70}{70 \, + \Sigma R} \, u_1$$
 ,

kde je u_1 napětí na vstupu soustavy,

u₁ napětí na výstupu sledovače (t. j. napětí, zaznamenané zapisovačem),

 ΣR součet odporů soustavy, seriově řazených se sledovačem.

Naměřené hodnoty se v tomto případě velmi dobře shodují s vypočtenými hodnotami.

Charakteristiky soustav vyšších řádů

Na obrázku 12 jsou překresleny přechodové charakteristiky soustav, složených z 1, 2, 3 a 4 vzájemně na sebe působících členů RC. Časové konstanty všech členů jsou stejné (RC=1 s). Jednotlivé charakteristiky byly kontrolevány s vypočtenými hodnotami a byly též zaznamenány několikrát. Odchylky od výpočtu a příslušné záznamy se liší nejvýše o 1 až 3%.

Charakteristiky náhradních obvodů

Na analogonu soustav s neoddělenými členy lze vyšetřovat jakost náhradních obvodů derivačních (D), proporcionálních plus derivačních (PD), proporcionálních plus integračních (PI) a proporcionálních plus integračních plus derivačních (PID). Těchto obvodů, složených z pasivních prvků, se používá u samožíných regulátorů, aby se zmenšil vliv zpoždění při přenosu signálu od čidla k regulátoru (obvod PD) a ve zpětných vazbách k dosažení žádané funkce regulátoru (obvod PD, PI, PID).

Ukážeme na příkladě, jak dalece se podaří reprodukovat charakteristiku obvodu PID na analogonu.

Je dán PID obvod podle sehematu na obr. 13. Platí tyto zřejmé vztahy:

$$\begin{split} -i_0 &= i_1 + i_2 \,; & \quad i_1 = \frac{u_1 - u_2}{R_d} \,; & \quad i_2 = C_s \frac{\mathrm{d} u_s}{\mathrm{d} t} \,; & \quad u_s = u_1 - u_2 \,; \\ -u_2 &= u_1 \,; & \quad u_4 + i_0 R_s \,; & \quad i_0 = C_s \frac{\mathrm{d} u_3}{\mathrm{d} t} \,. \end{split}$$

Po eliminaci proměnných, které nás nezajímají, dostáváme závislost výstup ního napětí u_2 na vstupním napětí $u_4\colon$

$$\begin{split} R_i C_i R_d C_d \frac{\mathrm{d}^2}{\mathrm{d} t^2} |u_2| &+ (R_i C_+ + R_d C_d + R_d C_i) \frac{\mathrm{d}}{\mathrm{d} t} |u_2| + |u_2| + \\ &= R_i C_i R_d C_d \frac{\mathrm{d}^2}{\mathrm{d} t^2} |u_1| + (R_i C_+ + R_d C_d) \frac{\mathrm{d}}{\mathrm{d} t} |u_1| + |u_1|. \end{split}$$

Vypočtené pohybové rovnici přísluší přenos

$$\begin{aligned} f(p) &= \frac{u_a}{u_1} - \frac{1 + p(T_i + T_a) + p^2 T_i T_d}{1 + p(T_i + T_d + T_{id}) + p^2 T_i T_d}, \\ \left(p &= \frac{\mathbf{d}}{\mathbf{d}t} : - T_i \sim R_i C_i : - T_d = R_\theta C_d : - T_{id} = R_d C_i\right). \end{aligned}$$

V daném případě je

$$R_i = 1~\mathrm{M}\Omega$$
 , $C_i = 1~\mu\mathrm{F}$, $R_d = 2~\mathrm{M}\Omega$, $C_d = 1~\mu\mathrm{F}$

a ted

$$T_i = 1 \, \mathrm{s} \,, \quad T_d = 2 \, \mathrm{s} \,, \quad T_{id} = 2 \, \mathrm{s} \,.$$

Dosadíme-li číselné hodnoty do rovnice pro přenos a provedeme-li zpětnou transformaci, dostáváme přechodovou funkci vyšetřovaného obvodu (t. j. řešení jeho pohybové rovnice pro $u_1=1$):

$$u_2 = 1 + 0.485e^{-2.281t} - 0.485e^{-0.219t}$$
.

Na obrázku je porovnán originální záznam s vypočtenými hodnotami. Jsan zakresleny pro názor též obě exponenciály, z nichž se skládá přechodová charakteristika. Časová konstanta derivační složky $T_d=\frac{1}{2,281}=0,44$ s, integrační složky $T_d=\frac{1}{2,281}=0.44$ s, integrave složky s

složky
$$T_i = \frac{1}{0,210} = 4,6$$
s. Proporcionální složka je tu $1-0,485 = 0,515.$

Průběh u skutečného obvodu (plně vytažený) se dobře shoduje s vypočteným průběhem, naznačeným čárkovaně. Větší odchylka vzniká na začátku průběhu, kdy se projeví omezoná rychlost zapisovače. V dalším průběhu činí největší odchylka asi 2%.

Analogonu regulovaných soustav se dá tedy dobře použít i k vyšetřování podobných obvodů.

Průběh regulačního pochodu

Na obrázku 14 jsou nakresleny regulační pochody proporcionálního regulátoru, připojeného k soustavě druhého řádu. Regulační obvod byl vyveden z rovnovážného stavu násilným vychýlením regulačního orgánu. Regulační pochod, který následoval po uvolnění regulačního orgánu, byl zaznamenáván při různých zesíleních regulátoru.

Jak patrno, dává analogon velmi přehledné výsledky a s postačující přesností.

11.4. Závěr

Na elektromechanickém analogonu EMANu I lze vyšetřovat regulační obvody s proporcionálními nebo integračními regulátory a se soustavami až do 4 kapacit. Průběh hodnoty regulované veličiny a polohy regulačního orgánu v čase se zapisuje na záznamní pás. Činnost celého zařízení je natolik přehledná, že se ho používá k pedagogickým účelům.

Přesnost výsledků na analogonu činí podle okolností 1 až 5%, což pro daný účel vyhovuje. Časové konstanty regulátoru a soustavy jsou voleny tak, aby vyšetřovaný pochod trval 10 až 20 s, t. j. 50 až 100 mm na záznamním pásu. Tím se dosáhlo dobře přehlednosti záznamu. Zkrácená časová konstanta dovoluje v krátké době vyšetřit velké množství případů.

Podle zkušenosti s tímto analogonem byl vypracován projekt velkého elektromechanického analogomu EMANu II, který je t. č. ve stavbě v n. p. Regula vývoj. Tento analogon bude obsahovat analogony spojitých i nespojitých regulátorů, soustav s oddělenými i neoddělenými prvky, a to jak soustav statických tak astatických. Zařízení bude vybaveno samočinnými zapisovači frekvenčních charakteristik. Bude též obsahovat analogony soustav s rozloženými prvky a bude na něm možno vyšetřovat i víceparametrové regulace.

11.5. Dodatek

Při zpracovávání podkladů pro práci s analogonem je možno formulovat potřebná kriteria ještě jinak, než porovnáváním bezrozměrných parametrů, jak ukážeme na jednoduchém příkladě spojitého regulačního obvodu s poruchou konstantní velikosti.

Nechť má rovnice regulačního obvodu tvar:

$$\begin{split} T_{\mathsf{m}}^{\mathsf{m}} \varphi^{(\mathsf{m})} + T_{\mathsf{m}-1}^{\mathsf{m}-1} \varphi^{(\mathsf{m}-1)} + \ldots + T_{\mathsf{n}}^{\mathsf{l}} \varphi^{\mathsf{n}} + T^{\mathsf{l}} \varphi^{\mathsf{l}} + T_{\mathsf{0}} \varphi = \varkappa \,, \\ \left(\varphi^{(\mathsf{l})} = \frac{\mathrm{d}^{\mathsf{l}}}{(\mathrm{d}^{\mathsf{l}})^{\mathsf{l}}} \, q \, ; \quad i = 1, \, 2, \, \ldots, \, m \right). \end{split}$$

Rovnice analogického obvodu pak je

$$\begin{split} \mathcal{S}_{m}^{m} \psi^{(m)} + \mathcal{S}_{m-1}^{m-1} \psi^{(m-1)} + \ldots + \mathcal{S}_{2}^{2} \psi'' + \mathcal{S}_{1} \psi' + \mathcal{S}_{0} \psi = \lambda \,, \\ \left(\psi^{(i)} = \frac{\mathrm{d}^{i}}{(\mathrm{d}\tau)^{i}} \, \psi \, ; \quad i = 1, \, 2, \, \ldots, \, m \, ; \quad \tau = \frac{1}{\alpha} \, t \right). \end{split}$$

Zde značí φ

poměrnou hodnotu regulované veličiny, poměrnou hodnotu analogické veličiny, $T_1,\,T_2,\,\ldots,\,T_m$ časové konstanty regulačního obvodu, $S_1,\,S_2,\,\ldots,\,S_m\,$ časové konstanty analogického obvodu,

poruchu v regulačním obvodu, poruchu v analogickém obvodu, časové měřítko analogonu.

Časové konstanty píšeme v telikálém stupni, kolikátého řádu je derivace příslušného členu. Je to výhodn and součinitelé jednotlivých členů bezto v mocnině, odpovídající řádu derivace, rozměrné rovnice mají rozměr

Vyjádříme-li v rovnici analogického obyodu časové měřítko v poměru k časovému měřítku vyšetřovaného obvodu, dostaneme (pro $\tau = \frac{1}{\alpha} t$):

$$\alpha^{m}S_{m}^{m}\psi^{(m)} + \alpha^{m-1}S_{m-1}^{m-1}\psi^{(m-1)} + \dots + \alpha^{2}S_{2}^{2}\psi'' + \alpha S_{1}\psi' + S_{0}\psi = \lambda,$$

$$\left(\psi^{ij} = \frac{d^{i}}{(dl)^{i}}\psi; \quad i = 1, 2, \dots, m\right).$$

Aby uvedené rovnice popisovaly analogické pochody, musí platit:

1. v ustáleném stavů musí být poměrné odchylky pro stejné poměrné poruchy stejně veliké. Z toho plyne podmínka analogie

$$\frac{\varphi}{\psi} = \frac{\varkappa}{\lambda} = \frac{T_0}{S_0} = 1 \ .$$

Tato podmínka je též zřejmá z toho, že oba obvody musí mít stejné statick é zesileni, t. j. $T_0 = S_0$.

2. během přechodového stavu se musí rovnat stejnolehlí součinitelé analogických rovnic, jejichž derivace se vztahují ke stejnému časovému měřítku.

$$T_{m}^{m} = \alpha_{s}^{m} S_{m}^{m}, \quad T_{m-1}^{m-1} = \alpha^{m-1} S_{m-1}^{m-1}, \quad \dots, \quad T_{s}^{s} = \alpha_{1} S_{s}^{s}, \quad T_{1} = \alpha S_{1}.$$

Lse se snadne přesvědčit, že uvedené rovnice se svým významem prakticky shodují s dřivějšími podmínkami analogie, t. j. s rovnosti odpovídajících bezrozměrných argumentů.

Nás tu visk ze jimá ještě jiná skutečnost. Vyjádříme-li časové měřítko postupná ze vřech posledně nvedených rovnic, dostáváme:

$$\begin{array}{c} T_{0} \stackrel{\rightarrow}{\rightarrow} \sqrt{\frac{T_{0}}{S_{0}}} \stackrel{\rightarrow}{\rightarrow} \frac{T_{0}}{S_{0}}, \\ x \stackrel{\rightarrow}{\rightarrow} \sqrt{\frac{T_{0}}{S_{0}}} \stackrel{\rightarrow}{\rightarrow} \frac{T_{0}}{S_{0}}, \\ \end{array}$$

$$\alpha = \sqrt{\frac{T_1}{B_1}} - \frac{T_1}{B_2}$$

$$\alpha = \frac{T_1}{B_2}$$

tedy psat, že pro poměr časových konstant skutečného a analogic

$$\frac{T_m}{R} = \frac{T_{m-1}}{S} = \dots = \frac{T_1}{S} = \frac{T_1}{S} = \text{konst} = \alpha$$

 $\frac{T_n}{S_n} = \frac{T_{n-1}}{S_{n-1}} = \dots = \frac{T_1}{S_1} = \frac{T_1}{S_1} = \text{konst} = \alpha \ .$ Podmínky snalogie pak můžeme formulovat así takto: Dva obvody budou analogické, budou-li jejich rovnice

$$T_{m}^{m}\frac{\mathrm{d}^{m}}{(\mathrm{d}t)^{m}}\varphi+T_{m}^{m-1}\frac{\mathrm{d}^{m-1}}{(\mathrm{d}t)^{m-1}}\varphi+\ldots+T_{1}^{n}\frac{\mathrm{d}^{a}}{(\mathrm{d}t)^{a}}\varphi+T_{1}\frac{\mathrm{d}}{\mathrm{d}t}\varphi+T_{0}\varphi=\varkappa\,,$$

$$S_{m}^{m}\frac{\mathrm{d}^{m}}{(\mathrm{d}\tau)^{m}}\psi+S_{m}^{m-1}\frac{\mathrm{d}^{m-1}}{(\mathrm{d}\tau)^{m-1}}\psi+\ldots+S_{2}^{n}\frac{\mathrm{d}^{2}}{(\mathrm{d}\tau)^{2}}\psi+S_{1}\frac{\mathrm{d}}{\mathrm{d}\tau}\psi+S_{0}\psi=\lambda\,.$$
 splhovat podmínky statické a dynamické analogie. Podmínka statické analogie

$$S_m^{m} \frac{\mathrm{d}^m}{(\mathrm{d}\tau)^m} \psi + S_{m-1}^{m-1} \frac{\mathrm{d}^{m-1}}{(\mathrm{d}\tau)^{m-1}} \psi + \dots + S_2^{n} \frac{\mathrm{d}^n}{(\mathrm{d}\tau)^n} \psi + S_1 \frac{\mathrm{d}}{\mathrm{d}\tau} \psi + S_0 \psi = \lambda.$$

$$\frac{T_0}{S_0} = 1$$

Podmínka dynamické analogie je $\left(\text{pro } \tau = \frac{1}{\alpha} t\right)$:

$$\frac{T_m}{S_m} = \frac{T_{m-1}}{S_{m-1}} = \dots = \frac{T_2}{S_n} = \frac{T_1}{S_1} = \alpha.$$

Takto definované kriterium analogie je v daném případě jednodušší, názornějkí a dává nahlédnout hlouběji do podstaty analogií, než obvykle používané kriterium s porovnáváním bezrozměrných parametrů.

Kriterium lze rozšířit i na obvody s poruchou libovolného průběhu a na obvody nelineární,

Literatura

- M. Balda, Elektromechanický analogon regulačních obvodů, Sborník 1. vědecké konference fakulty strojního inženýrství ČVUT, SNTL Praha 1956.
 M. Balda, Analogony regulačních obvodů, Kandidátaká disertační práce, katedra technického měření a regulace ČVUT v Praze, březen 1955.
 L. S. Ejurnson, Modelirovanije, Sovětaká nauka, Moskva 1952.
 V. Ferner, Der Aufbau ciner Modeliregelstrecke, Technik 9, 1954, sež. 2, s. 85-99.
 J. Freudennerom, Apparat zur Untersuchung von Regelungen, Brown Boveri Mitk., Juli 1944, s. 228-232.
 L. J. GUTTENMACHER, Električeskije modeli, AN SSSR, Moskva 1949.
- J. M. L. JANSEN, L. E. ENERTHOSEN DE MODEL, AN SOSA, MOREVA 1984.
 J. M. L. JANSEN, L. E. ENERG, Das Elektro-Analogon, ein Gerät zur Untersuchung von Regelmechanismen, Philips' Tech. Rdsch. 12, 1951, seš. 9, str. 262—276, seš. 11, s. 324—340.
 R. J. KEDKEFF, H. MATTHEWS, Solving Process-Control by Analog Computor, Inst. and Aut. 27, 1954, seš. 10, str. 1624—1626.
 G. A. KORN, Elektronnyje modelirujuščije ustrojstva, I. L. Moskva 1985 (překlad z angličiný).

- G. A. Kors, Elektronnyje modelirujuščije ustrojetva, I. L. Moskva 1955 (překlad z angličiny).
 J. Kožzšniz, Fysikální podobnost a stavba modelů, JČMF, Praha 1948.
 G. A. Philiskick, Designing Industrial Controllers by Analogue, Electronics, June 1948, s. 108-111.
 P. Phoros, Modeliversuche über Reguliervorgánge, Techn. Rdsch., Sulzer 1948, sež. 3, str. 23-27.
 D. Sinoza, Použítí analogonů pro řešení regulačních pochodů, Sborník Souhrn prací o automátsaci, ČSAV Praha 1955.
 D. Sinoza, Použítí elektrických analogů pro typisace a posuzování regulačních soustav, Slaboproudý obzor 12, 1981, sož. 8, str. 171-178.

12. PROJEKT DIFERENCIÁLNÍHO ANALYSÁTORU LABÓ-RATOŘE PRO AUTOMATISACI A TELEMECHANIKU ČSAV

Ing. Jiří Haškovec Praha, LAT – ČSAV

12.1. Úvod

Jedním z prvních úkolů LAT bylo zracionalisovat výpočtové práce. Poněvadž jde z velké části o výpočty, kterými se ověřují theoretické úvahy a o výpočty podkladů pro diagramy a tabulky, bylo nutno volit takový typ stroje, který by měl dostatečnou přesnost/Nebylo však přitom možno volit stroj číslicový, pro značnou nákladnost a pro nedostatek vhodných prvků ke stavbě číslicových strojů u nás. S ohledem na nejčastější typy řešených rovnic byl zvolen diferenciální analysátor typu Bushova [1], [2], respektive Bushova-Caldwellova [3], [4] s použítím některých zásad, obsažených v práci Erismanova [5].

12.2. Operační jednotka

Bylo ovšem nutno volit konstrukci, umožňující výrobu na obyčejných obrábědéh strojích a s omezenými možnostmi součástkové základny, která se od počátků prací v roce 1955 dodnes nezlepšila. S tčehto hledisek byl zvolen výrobně jednoduchý třecí převod, používající styku mezi koulí a válcem (obr. 1). Převod má tyto vlastnosti:

 Styk mezi koulí a válcem je bodový a obě tyto plochy se snadno vyrábějí-Odpadá choulostivá výroba třecího kolečka s přesně definovaným zaoblením, používaným u obyčejných typů deskových.

 Styk mezi koulí a válcem je možno namáhat poměrně velkým tlakem, takže výstup integrátoru je možno zatížit jistým momentem bez nebezpečí prokluzování.

3. Ústav získal potřebné součástí třecích převodů z vyřazených zaměřovačů. Na obr. 2 je proveden rozbor převodu za předpokladu, že odvalení válce je měrno tangenciální složce pohybu dotykového místa na kouli. Na obr. 2 je naznačen kulový vrchlík I, otáčivý kolem osy O_1 , kterčáto otočení označme x. Tento vrchlík se kromě toho vyklání o úhel α zařízením, převádějícím otočení y pohybového šroubu δ ve vyklonění stolku β , nesoucího ložiska pro otáčení vrchlíku β kolem osy O_1 . Skládá se z vidlice, spojené s matkou na pohybovém šroubu δ , která unáší kladku β , spojenou s ložiskovým stokem β . Vrchlík β se dotýká třecího válce β , otočného kolem osy δ . Toto otočení je označeno v_1 . Zvolíme-li vhodné smysly otáčení za kladné, bude platit pro diferenciální otázení

$$\mathrm{d}v_1 = \frac{2r}{D}\,\mathrm{d}x = \frac{2R\sin\alpha}{D}\,\mathrm{d}x = \frac{2Ry'}{R'D}\,\mathrm{d}x = \frac{2RK}{R'D}\,y\;\mathrm{d}x\,,$$

kde K je stoupání šroubu 6, vztažené na jednotku y. Pro celkový počet otáček v_1 odvalených od nějaké počáteční polohy platí,

$$v_1 = \frac{2RK}{R'D} \int_0^x y \,\mathrm{d}x$$
,

kde jak x je měřeno počtem otáček. Zlomek $\frac{2RK}{RD}$ daný rozměry převodu určuje integrační konstantu. Na př. pro náš prvek byl zvolen 0,02. Přítom rozsah y byl zvolen ± 100 otáček, takže největší převod je roven $100\times 0,02=$ = 2.

Výstup V_1 pohání přimo jedno vstupní kolo součtového soukolí (diferenciálu). Druhé vstupní kolo je připojeno přes převod 2:1 na další hřídel, jehož počet otáček nazveme z. Výstup z diferenciálu je dán otáčkami planety, označené v. Pro ně platí:

$$v=\frac{v_1+2z}{2},$$

což po dosazení z dřívějšího dává:

$$v = 0.01 \int_{0}^{z} y \, \mathrm{d}x + z$$
.

Aby bylo lze pohodlně měnit rozsahy a měřítka jednotlivých proměnných, je na výstupní hřídeli uspořádáno několik stupňových převodů V_k ve stálém poměru 1: 3 a na vstupním hřídeli z je možno obdržet pomocí rychlosní skříně převody $Z_k=1$, 5, 7. Takto sestavená základní jednotka může být zapojena buď jako součtová, pak je hodnota y konstantní a pro výstup v platí:

$$v = V_k(0.01yx + Z_kz) = 0.01V_kyx + V_kZ_kz$$

nebo jako integrační. V tomto případě je možno zvětšit rozsah a přesnost proměnné y tím, že hřídel z se otáčí úměrně otáčkám x pomocí vhodného stupně nastavitelného převodu Z_k . Výstupní otáčky pak budou

$$\mathrm{d}v = V_k(0.01y\,\mathrm{d}x + Z_k\,\mathrm{d}x)$$

neboli

$$v = V_k \int\limits_{s}^{z} (0.01y + Z_k) \,\mathrm{d}x \,.$$

Je-li na př. možno Z_k nastavit na hodnotu 1, 3, 5, 7, 9, je možno integrovat po y=-1000 až +1000, při čemž relativní chyba se zmenší na desetinu. Konstruktivně je jednotka provedena jako panelová, o normálni výšce 5 p. j. = 225 mm a hloubec 300 mm. Na čelní stěně jsou kontrohí počitadla, siguální žárovky jednotlivých servomechanismů a jejich 7pólové zástrčky (viz odst. 12.4) a vypirač, kterým se rozpojí mechanicky třecí převod při nastavování konstant a počátečních podmínek. Přívody a blokovací obvody jsou propojeny nožovýmí lištami.

12.3. Diagramová jednotka

Pro vytvoření mocnin a dalších libovolných funkcí jedné proměnné bude použito diagramové jednotky. Funkce, narýsovaná na perforovaném registračním papíru užitečné šířky 250 mm se vloží na válec, který se otáčí úměrně s jednou proměnnou, označenou u. Nad válcem se pohybuje rovnoběžně s jeho osou otáčení snímací hlavice, opatřená fotoclektrickým sledovacím zařízením. Fotoelektrické zařízení pracuje s rotující optikou, takže jeho činnost je nezávislá na osvětlení místnosti. Posuv hlavice sleduje pomocí pohybového šroubu narýsovanou křívku a přeměňuje se na otáčky výstupního hřídele v, opatřeného opčt stupňovými převody V_k v poměru l: 3. Činnost lze tedy popsat výrazem:

$$v = V_k f(u)$$

kde f(u) je libovolná funkce, znázorněná na diagramu. Tentýž přístroj lze použít také pro zapisování výsledků, vymění-li se snímací hlavice za zapisovací pero. Pohybový šroub je pak poháněn druhým vstupem t. Diagramová jednotka zapisuje pak závislost dvou libovolných proměnných

$$t = f(u)$$
.

Konstrukce je přizpůsobena tak, že je možno zapojit dvě diagramové jednotky: za sebou. Na papír, procházející první jednotkou je zapisována nějaká funkce, tetrá je snímáno jednotkou druhou s jistým zpožděním. Timto jednoduchým způsobem je možno řešit úlohy s dopravním zpožděním. Konstrukce je opůt panelová, výška 3 p. j. = 135 mm, hloubka 300 mm. Propojovací zástrčky a ostatní ovládací a kontrolní zařízení je obdobné jako u operační jednotky (odst. 12.2).

12.4. Elektrický přenos

Kromě těchto dvou typů jednotek, jejichž počet závisí na složitosti řešeného úkolu, obsahuje stroj ještě řídicí jednotku, která jednak otáčí všemi hřídeli nezávisle proměnné, jednak obsahuje blokovací sbvod a zařízení k automatické regulaci ryohlosti celého stroje. Dále je projektována jednotka napájecí, která obsahuje příslušné zdroje pro servomechanismy, přenášející otáčky mezi jednotlivými hřídeli, jak bude ještě popsáno dále. Kontrola libovolného servomechanismu a nastavování konstant či počátečních podmínek se děje pomocí další kontrolní jednotky, kterou lze připojit na kterýkoli servomechanismus. I tato jednotka je provedena jako panelová.

Poněvadž je ve stroji nutno zprostředkovat velký počet přenosů polohy jednotlivých hřídelů, byl zvolen a navržen výrobně jednoduchý servomechanismus, jehož princip je naznačen na obr. 3.

Na straně přijímací je stejnosměrný motorek ${\it M}$ s permanentními magnety, který je tlumen nelineárními odpory R. Kotva motorku je připojena na kroužky m, n přijímacího kolektoru, který je opatřen 8 lamelami, z nichž vždy dvě pro tější jsou připojeny na jeden kroužek. Na lamely přiléhá 7 sběracích uhlíků a až g, které jsou přes odpory r připojeny na sedmipólovou zásuvku. Na vysílací straně je opět sedmipólová zásuvka, která je připojena k sedmi uhlíkům vysílacího kolektoru. Ten má na rozdíl od přijímacího pouze čtyři lamely, připojené přes kroužky m, n na dva póly baterie, jejíž střed je zaveden do všech jednotek stroje. Rozměry lamel jsou voleny tak, že jsou vždy napájeny tři nebo čtyří dráty napětími obou polarit. Na přijímací straně obdobně jsou na dvojici kroužků k, l resp. m, n připojeny vždy tři nebo čtyři lamely. Spojení se děje sedmižilovými kabely s příslušnými zástrčkami. Z podrobnějšího rozboru (6) plyne, že při nějaké poloze vysilače existuje $^1/_{as}$ otáčky přijimače, kdy je motor M bez napětí. Při větší odchylce dostává motor z jednoho konce a středu baterie a při ještě větší odchylce z obou konců baterie napětí takové polarity, že se otáčí směrem zmenšující se odchylky. Napětí na kroužcích k, l kontroluje velikost odohylky. Překročí-li tato $^3/_{18}$ otáčky, ztrácí obě vinutí relé $Iaa\ Ib$ napětí, kontakt Ic odpadá a působí na zařízení, které automaticky řídí rychlost otáčení hřídelů nezávisle proměnné a tím i rychlost celého stroje. Signální žárovka ukazuje, který servomechanismus dosahuje této meze dovolené odchylky. Na diagramové jednotce je podobné zařízení, které hlídá odchylku od sledované čáry. Rovněž isou blokovány koncovými spinači koncové polohy vyklonění proměnného převodu y operační jednotky a koncové polohy snímací nebo zapisovací hlavice diagramové jednotky. Ve stejném obvodu působí i zařízení, které hlídá správnou činnost fotoelektrické snímací hlavy. Řídicí jednotka, v níž jsou všechny tyto funkce realisovány, obsahuje kromě signalisace těchto stavů a příslušných ovládacích prvků pro ruční řízení stroje také nastavitelné počitadlo otáček, které vypíná stroj po uběhnutí nastaveného počtu otáček.

Sedmižilové kabely, kterými se provádí spojení stroje podle řešené úlohy, mají na přijímací straně dvojitou zástrčku s opačným zapojením sledu žil, čímž je umožněno měnit smysl otáček hřídelů a tedy i znaménko zobrazené proměnné. Na straně vysilače je rovněž dvojitá zástrčka, která umožňuje připojení několika kabelů na jeden vysilač, což je potřebné na př. při použití paralelního $\mathbf{prevodu} \ z.$

Poněvadž jednotky jsou universální, umožní velkou přizpůsobivost stroje k různým úkolům. Jeho výkonnost poroste plymule s počtem vyrobených jednotek, celkem počítáme s výrobou 30 jednotek, takže celkové rozměry stroje by byly $2600\times2000\times400$ mm, příkon celkem 1 kW. Předpokládá se řešení nelineárních diferenciálních rovnic do desátého řádu s šesti nelinearitami danými diagramy a se záznamem 2 libovolných funkcí. Osvědčí-li se tato koncepce je samozřejmě možné další rozšíření bez jakýchkoliv potíží.

Literatura

- V. Bush, The Differential Analyser. A new Machine for Solving Differential Equations, Journal of the Franklin Institute, Oct. 1931, z. 447-448.
 V. Hauška, Bushav integraf. Fysika v technice (1946), č. 1, str. 24.
 V. Bush, S. H. CALDWELL, A New Type of Differential Analyser. Journal of the Franklin Institute (1945), No 4, str. 255-326.
 A Symony. Elabromobalistic differentials conductor. Fusika v technice (1948).

- [4] A. Svoboda, Elektromechanický diferenciúlní analysátor. Fysika v technice (1948), 6. l., str. 23.
 [5] Th. ERISMANN, Eiro neue Integrieranlage. Zeitschrift für angewandte Mathematik u. Mechanik (1952), No 8/9, s. 242, 245.
 [6] L. HILOSER, Návrh optimálního nelineárního servomechanismu, 1956. Diplomní práce. Fakulta elektrotechnická, ČVUT Praha.

Obr. 1. Kulový převod operační jednotky Obr. 2. Náčrtek k odvození velikosti proměnného převodu. Obr. 3. Funkční schoma sorvomechanismu.

13. METHODA SYNTHESY PÁKOVÝCH MECHANISMŮ NA DIFERENCIÁLNÍM ANALYSÁTORU

Ing. Václav Černý, Doc. Ing. Dr Antonín Svoboda Ústav matematických strojů ČSAV, Praha

Grafieko-mechanické a numerické methody synthesy pákových (kloubových) mechanismů byly již popsány [1], [2], [3]. V této práci ukážeme methodu, užívající elektronkových operačních článků repetičního diferenciálního analysátoru.

13.1 Úvod

Čtyřkloubový rovinný mechanismus představuje často užívaný operační článek mechanických analogových strojů. Pracuje přitom jako generátor funkce jedné nezávisle proměnné. Má tyto výhodné vlastnosti: mechanisuje funkce dosti obecného typu, přenáši značné otáčivé momenty při zanedbatelných ztrátách třením, zaujímá malý prostor a je snadno a přesně vyrobitelný. Nevýhodou je obtížná synthesa mechanismu a skutečnost, že mechanismus generuje danou funkci

$$x_2 = f(x_1), \quad x_{1m} \le x_1 \le x_{1M}$$
 (1.1)

zpravidla ne zcela přesně. Generovaná funkce je dána výrazem

$$x_2 = f(x_1) + \delta x_2 \,, \tag{1,2}$$

kde chyba δx_2 , závislá na x_1 , se nazývá strukturní chybou mechanismu. Tato chyba se dá různými methodami mčnit tak, aby vyhověla určitým optimálním podmínkám, není však zpravidla možno ji zcela vyloučit.

13.2. Prvky čtyřkloubového mechanismu

Čtyřkloubový mechanismus (obr. 1) se skládá ze dvou klik o délkách g_1,g_2 . Kliky jsou otočně uloženy na rámu v kloubech S_1,S_2 , jejichž vzdálenost považujeme za jednotkovou. Volné konce klik T_1,T_2 jsou spojeny táhlem o délce $\overline{T_1}\overline{T_2} = \sqrt[3]{g_2}$. Natáčíme-li klikou g_1 v úhlu X_1 , natáčí se klika g_2 v úhlu X_2 a platí

$$\begin{array}{c} X_2 = F(X_1) \;, \\ X_{1m} \leq X_1 \leq X_{1M} \;, \quad X_{2m} \leq X_2 \leq X_{2M} \;, \\ dX_1 = X_{1M} - X_{1m} \;, \quad dX_2 = X_{2M} - X_{2m} \;. \end{array}$$
 (2,1

Při použití kloubového generátoru funkce rozhoduje tvar funkce F bez zřetele na velikosti intervalů $\varDelta X_1$, $\varDelta X_2$. Tento tvar vystihneme nejlépe, užijeme-li homogenních parametrů [1] podle vztahů

$$H_1 = \frac{X_1 - X_{1m}}{\Delta X_1}, \quad H_2 = \frac{X_2 - X_{2m}}{\Delta X_2}.$$
 (2,2)

Závislost $H_z=F(H_1)$, kterou obdržíme zavedením homogenních parametrů do (2,1), je graficky zobrazena čarou ve čtverci o jednotkově straně (obr. 2).

Užiti homogenních parametrů si můžeme představit velmi názorně. Klika g_1 se pohybuje výlučně uvnitř intervalu ΔX_1 . Na tento interval si promítneme rovnoměrně rozdělenou stupnici H_1 od nuly do jedné. Podobně si počínáme u kliky g_2 . Na těchto stupnicích žteme pak přímo vzájemně přiřazené hodnoty homogenních parametrů H_1 , H_2 pro libovolnou polohu klik.

Při methodě synthesy, kterou dále popíšeme, potřebujeme některé pomocné vztahy. Podle obr. 1 píšeme:

$$\begin{array}{c} U = 1 + g_1 \cos{(X_{1m} + H_1 \Delta X_1)} - g_2 \cos{(X_{2m} + H_2 \Delta X_2)} \,, \\ V = g_1 \sin{(X_{1m} + H_1 \Delta X_1)} - g_2 \sin{(X_{2m} + H_2 \Delta X_2)} \,, \\ g_0 = U^2 + V^2 \,. \end{array} \right\} \quad (2.3)$$

Úloha, kterou řešíme, zní takto: Je dána funkce $H_2=F(H_1)$. Hledáme sedm výtvarných parametrů $g_{\theta},g_1,g_2,X_{1m},X_{2m},AX_1,AX_2$ tak, aby byly splněn y rovnice (2,3) pro každé H_1 .

Tato úloha je zpravidla neřešitelná, žádáme-li její přesné splnění. Musíme připustit strukturní chybu mechanismu, na př. tím, že v rovnicích (2,3) dovolime malé změny veličiny g_0 . Tuto veličinu můžeme vypočítat velmi snadno elektronkovými operačními články podle rovnic (2,3) a sledovat její změny v závislosti na ostatních šesti výtvarných parametrech i na proměnné H_1 .

- 13.3 Operační síť stroje na synthesu čtyřkloubového mechanismu

Zapojení elektronkových operačních článků při provádění synthesy je na obr. 3. V tomto skupinovém schematu vytváří se nejdříve funkce podle rovnic (2,3). Pokusným nastavením šesti výtvarných parametrů obdržíme průběh g_0 jako funkci H_1 (což je v tomto případě nezávisle proměnná — čas). Veličina

 g_0 nebude pravdč
podobně konstantní. Abychom mohli pohodlně sledovat změ g_0 ncoma pravuepomena konsamnik tři operační články: sčítačkou přičteme ny průběhu $g_0,$ připojíme jestě další tři operační články: sčítačkou přičteme y princing g_0 , principal post and a special damay, solution prioring g_0 , výsledek $\theta = g_0 - g_0$, umocníme a integrujeme v intervalu $0 \le H_1 \le 1$. Na obrazovce čteme koncčně výsledek integrace

$$\Theta = \int_0^1 \vartheta^2 \, \mathrm{d}H_1 \,. \tag{3.1}$$

Měníme-li hodnotu g_0 , tak, aby θ bylo minimální, bude konečná hodnota g_0 , odpovídat střední časové hodnotě veličiny g_0 . Hodnota θ bude pak udávat integrál čtvérců odchylek od střední hodnoty a bude tedy kriterium pro posouzení, s jakou přesnosti generuje mechanismus danou funkci. Pak měníme postupně hodnoty ostatních šesti výtvarných parametrů, a to vždy současně se změnou g_0 , tak, aby θ klesalo. Pokračujeme tak až do okamžíku, kdy je nemožné spižít θ změnou kteréhokoliv narametru. Výtvarné narametry g_0 , g_1 , g_2 , zmenou g_0 , tak, aby Θ kiesalo. Fokracujeme tak az do okaniziku, ady je nemožné snižit Θ změnou kteréhokoliv parametru. Výtvarné parametry g_0 , g_1 , g_2 , g_3 , g_4 , g_4 , g_4 , g_5 , g_6 , g_7 , g_8 , $g_$

13.4. Závěr

Popsaná methoda se hodí přímo pro repetiční elektronkový diferenciální analysátor. Generátory funkci užijeme obrazovkové s fotonásobiči. Vzhledem ke skutečnosti, že existuje zpravidla několik lokálních minim hodnoty $\boldsymbol{\theta}$ pro velmi různé kombinace výtvarných parametrů, není zaručeno, ke kterému řešení se dostaneme. V tomto ohledu mají výhodu methody graficko-mechanické.

Literatura

- A. Svoroda, Computing Mechanisms and Linkages, Radiation Laboratory Series
 M. I. T., Cambridge, Mass., Vol. 27a, 1948.
 Z. Sh. Blokh, E. B. Karlin, Praktické metody synthesy rovinných čtyřkloubových mechanismů, Izdiatelstvo Akademie nauk SSSR, Moskva-Leningrad 1943.
 E. B. Karlin, Atlas nomogramů, Izdiatelstvo Akademie nauk SSSR, Moskva-Leningrad 1943.

Obr. 1. Rovinný čtyřkloubový mechanismus. Obr. 2. Zobrazení závislosti $H_2 := F(H_1)^{\sum}$ Obr. 3. Operační síť stroje na synthesu čtyřkloubového mechanismu.

14. POUŽITÍ HARMONICKÉHÖ ANALYSÁTORU V REGULAČNÍ TECHNICE

Prof. Dr Ing. Zdeněk Твика Laboratoř pro automatisaci a telemechaniku ČSAV Ing. Zdeněk Котек ČUUT

14.1. Úvod

V tomto článku bude popsáno použití synchronního analysátoru v regulační technice. Jeho popis byl již uveřejněn v dřívějších publikacich [1, 2, 3, 4, 5, 6]. Fotografii nového provedení analysátoru podává obr. 1. Přístrojem lze provádět analysu křivek napětí a proudů do frekvence 50 e/s. Generátorem lze vytvořit libovolnou křivku napětí z 24 pořadnic a tuto křivku buď přímo analysovat nebo ji lze použít pro napájení na př. vyšetřovaného obvodu (viz dále). Protože kolektory analysátoru jsou vlastně potenciometry, které nahražují funkci sin zz stupňovou křivkou, lze též užít analysátoru napájeného stejnosměrným napětím jako generátoru napětí sin $(\omega t + \varphi_1)$, sin $(2\omega t + \varphi_2)$, sin $(9\omega t + \varphi_2)$. Toto napětí lze užít pro vyfiltrování k synthese periodické křivky jak naznačuje obr. 2 a obr. 3.

14.2. Určování frekvenčních charakteristik součástí servomechanismů

Generátorem funkce vytvoříme periodickou nesinusovou funkci obsahující harmonické 1:-9. Základní frekvenci, t. j. otáčky analysátoru, volíme dostatečně nízké, abychom obdrželi ty body frekvenční charakteristiky, které pro nás mají důležitost. Výhodné je nastavit nesinusovou křívku takového tvaru, jehož Fourierovu řadu známe. Vektory harmonických výstupů dělené příslušnými vektory vstupních harmonických dávají pak body frekvenční charakteristiky, t. j.

$$G(\mathrm{j}\nu\omega_{\mathrm{e}}) = \frac{A_{\nu}^{\mathrm{s}}\mathrm{e}^{\mathrm{j}\varphi\nu}}{A_{\nu}^{\mathrm{1}}\mathrm{e}^{\mathrm{j}\psi\nu}} \; . \label{eq:G_sigma}$$

Určení členů G(j0) lze provést odměřením stejnosměrné složky na výstupu a na vstupu a jejich přímým vydělením. Vhodnou volbou vstupní funkce lze dosáhnout stejnosměrné přesnosti v určování devíti bodů frekvenční oharakteristiky. Pro vyšetřované součásti s derivačním charakterem volíme na př. vstupní křivku pilového tvaru; pro součásti s integrálním charakterem křivku bližící se impulsové funkci.

Vyšetřuje-li se na př. polohový servomechanismus, je výhodné na výstup připojit tachodynamko, čímž obdržíme derivaci výstupního průběhu, a podpoříme tím vyjádření vyšších harmonických a tím i zvýšení přesnosti.

Jako indikátoru pro určování harmonických se pro nízké frekvence servomechanismů osvědčil fluxmetr, u něhož lze při určování některé harmonické nechat proběhnout několik cyklů, čímž určíme střední hodnotu koeficientu A_i za několik cyklů, t. j. eliminujeme nahodilé chyby.

14.3. Určování frekvenčních charakteristik z grafů vstupní a výstupní funkce

U některých zařížení nelze měřit frekvenční charakteristiku uvedeným způsobem. Na př. u zařízení, které jsou v trvalém provozu. V takových případech
lze provést nějakou změnu vstupní veličiny, na což reaguje zařízení změnou
výstupní veličiny. Obě veličiny, t. j. výstupní i vstupní, registrujeme přístroji.
Jsou-li obě registrované funkce takové povahy, že existuje jejich Fourierova
transformace, lze psát

$$G(\mathbf{j}\omega) = \frac{\mathcal{F}\{f_2(t)\}}{\mathcal{F}\{f_1(t)\}}$$
,

kdež

$$\mathcal{F}\{f(t)\} = \frac{1}{2\pi} \int_0^\infty f(t) \, \mathrm{e}^{-\mathrm{i}\omega t} \, \mathrm{d}t \; .$$

Kdyby průběhy $f_1(t)$ resp. $f_2(t)$ nebyly transformovatelné podle Fourierovy transformace, lze též psát

$$G(j\omega) = \frac{\mathcal{F}\{f_{2}'(t)\}}{\mathcal{F}\{f_{1}'(t)\}} = \frac{\mathcal{F}\{f_{2}''(t)\}}{\mathcal{F}\{f_{1}'(t)\}} \ .$$

14.4 Získání odezvy na daný průběh vstupu při daném průběhu frekvenční charakteristiky

Běžně užívaný způsob je ten, že se určí inversní Fourierův integrál k $G(j\omega)$, který dává odezvu na jednotkový impuls. Pomocí konvolutorního integrálu se určí odezva na danou vstupní funkci.

Výhodněji lze řešit tuto úlohu pomocí zapojení uvedeného v obr. 2. Odečteme-li 9 vektorů z frekvenční charakteristiky na obr. 4 pro frekvence ω_0 , $2\omega_0$, $3\omega_0$, ..., t. j. $A_1 e^{i x_0}$, $A_2 e^{i x_0}$, ... lze sečtením těchto vektorů obdržet přímo na oscilografu odezvu daného systému na jednotkový impuls.

Nastavíme tedy na potenciometrech P_1, P_2, \dots amplitudy harmonických, na kartáčeích jejich úhly a na oscilografu pak obdržíme výstup při jednotkovém impulsu na vstupu.

K určení odcavy na daný vstupní signál lze postupovat tak, že signál (pokud existuje jeho Fourierova transformace) nastavíme na generátoru funkcí v takové délce, aby v posledních pořadnicích konvergoval k nule, t. j. aby $\int f(t)$.

. $e^{-j\omega t}$ dt bylo lze nahradit $\int\limits_0^T f(t)\,e^{-j\omega t}\,\mathrm{d}t$ a určíme koeficienty Fourierovy řady pro délku periody T. Pro frekvence nalezených harmonických najdeme ve frek-

pro délku periody T. Pro frekvence nalezených harmonických najdeme ve frekvenční charakteristice přenosy, jimiž násobíme nalezené harmonické vstupní funkce. Synthesou výstupních harmonických obdržíme odezvu na danou vstupní funkci.

14.5. Užití analysátoru k řešení polynomů

Je-li dán polynom tvaru

$$A_n z^n + A_{n-1} z^{n-1} + \ldots + A_0 = P$$
,

kde koeficienty A_n jsou čísla reálná nebo komplexní, lze jej substitucí

$$z = re^{i\varphi} = r(\cos \varphi + j \sin \varphi)$$

převést na tvar

$$A_{n} r^{n} \mathrm{e}^{\mathrm{i} n \varphi} + A_{n-1} r^{n-1} \mathrm{e}^{\mathrm{i} (n-1) \varphi} + \ldots + A_{0} = P \; ,$$

a když za φ položíme $\varphi=\omega t$ lze napsat

$$A_n r^n \cos n\omega t + A_{n-1} r^{n-1} \cos (n-1) \omega t + ... + A_0 = \text{Re}\{P\},$$

$$A_n r^n \sin n\omega t + A_{n-1} r^{n-1} \sin (n-1) \omega t + \ldots + A_1 \sin \omega t = \operatorname{Im} \{P\}.$$

Kdyby člen A_n byl komplexní $\overline{A}_n = A_n e^{ty}$ projevilo by se to v reálné části členem $A_n \cos n(\omega t + \psi)$ a v imaginární části členem $A_n \sin n(\omega t + \psi)$.

Tyto vztahy lze realisovat pomocí analysátoru tak, že analysátor napájený stejnosměrným proudem je generátorem funkci cos ot resp. sin ot i event. cos (ot + ψ), sin (ot + ψ). Obr. 5 ukazuje schema zapojení. Z analysátoru vycházejí napěti, obsahující kromě základních frekvencí ω , 2ω , 3ω , ... ještě další harmonické. Ty jsou odříltrovány filtry F_1 ... F_n . Za nimi jsou eejchované potenciometry k nastavení koeficientů A_1 ... A_p . Za nimi jsou eejchované potenciometry, r^1 , r^2 , ..., r^2 (pro rozmezí $r=1\div 0.5$). Za těmito potenciometry jsou pak kathodové sledovače s Görgesovými můstky, vyrábějící z daného napětí ješté napětí posunuté o 90°, t. j. z členů cos ω t ještě sin ω t. Za těmito členy jsou napětí sčítána a to tak, že členy reálné jsou uvedeny na horizontální desky osciloskopu, imaginární členy jsou přiváděny na vertikální desky. Tím obdržíme na osciloskopu trajektorii pro všechny hodnoty $\omega t = 0\div 360^\circ$. K zjištění konkretní hodnoty $z=re^{i\omega t}$, slouží posouvač fáze, který z napětí první harmonické libovolně pošinuté vytvoří elektronkovým obvodem napětový impuls, který přiveden na mřížku obrazovky osciloskopu, vyznačí trajektorii svítící bod. Natáčením fáze posouvačem fáze lez svítící bod libovolně posunovat po trajektorii. Pro vyčíslení polynomu pro dané r, nastaví se toto na potenciometrech a dané t, na posouvačí fáze. Koeficienty $A_1 \dots A_n$ nastaví se na cejchovaných potenciometrech. Je-li A_n komplexní, nastaví se $|A_n|$ na potenciometrech, fáze pak na kartáčku analysátoru.

Na trajektorii oscilografu lze pak odečítat amplitudu a fázi polynomu P nebo složky Re $\{P\}$ a Im $\{P\}$. Člen A_0 nutno k výsledku přičíst nebo posunout osy o Re $\{A_0\}$ ev. Im $\{A_0\}$.

K řešení kořenů algebraické rovnice najdeme, kdy trajektorie prochází nulou změnou potenciometrů r^n . Když je toho dosaženo fázovým posouvačem přivedeme svítící bod do počátku a na jeho stupnici odečteme $\omega t_1 = \varphi$, a na poenciometrech čteme r, t. j. nalezneme kořen $z = re^{ir}$. Vzhledem k tomu, že přístroj je ve stadiu zkoušek, nelze ještě popsat výsledky této methody.

14.6. Vyšetřování nelineárních regulačních obvodů

Analysátoru můžeme také použít k určování stability nelineárních regulačních obvodů pomocí frekvenčních charakteristik. Odměříme ekvivalentní frekvenční charakteristiku nelineární části obvodu a frekvenční charakteristiku zbývající lineární části. Jejich vzájemná poloha určuje stabilitu obvodu. Je to způsob určování stability, spočívající na methodě harmonické rovnováhy [7, 8, 9, 10].

Předpokládejme blokové schema podle obr. 6, kde $G_s(j\omega)$ znamená přenos lineární části obvodu, t. j.

$$G_{z}(j\omega) = \frac{X_{3}(j\omega)}{X_{2}(j\omega)}$$

a $G_{\rm N}(A,\omega)$ je ekvivalentní přenos nelineární části. Tento přenos stanovíme takto.

Předpokládejme, že na vstupu nelineárního prvku je sinusový signál

$$x_1 = A \sin \omega t$$

Pak na výstupu tohoto prvku je obecně nesinusový průběh daný jeho nelineární charakteristikou $x_1=N(x_1),\ t.\ j.$

$$x_2 = N(A \sin \omega t) .$$

Tento výstupní signál nahraďme jeho první harmonickou. Tato aproximace je pro většinu případů oprávněná, protože zbývající lineární část regulačního obvodu má obvykle přenos odpovídající charakteristice nízkofrekveněního filtru, takže vyšší harmonické jsou tlumeny.

Použijeme-li symbolického vyjádření sinusových průběhů rotačnými vektory, dává nám poměr první harmonické na výstupu k sinusovému vštupu t. zv. ekvivalentní přenos nelineárního prvku

$$G_{\rm s}(A,\omega) = \frac{X_2(A,\omega)}{X_1(A,\omega)}$$

Tento přenos je funkcí nejen frekvence ω , ale i amplitudy A vstupního signálu, zatím co u lineárních členů je, jak známo, přenos $G_{\iota}(\mathbf{j}\omega)$ funkcí jen frek-

Existence oscilací v daném obvodu je dána rovnicí

$$G_{\rm x}(A,\omega) G_{\rm L}(j\omega) + 1 = 0$$
. (14.1)

Upravíme-li tuto rovnici do tvaru

$$-G_{\rm L}(\mathrm{j}\omega) = \frac{1}{G_{\rm R}(A,\,\omega)} = G_{\rm N}^{-1}(A,\,\omega) \,, \tag{14.2}$$

určuje průsečík záporné frekvenční charakteristiky lineární části $-G_{\rm L}({
m j}\omega)$ s ekvivalentní inversní frekvenční charakteristikou nelineární části $G_{\rm N}^{-1}(A,\omega)$ amplitudu A i frekvenci ω možných kmitů.

Hlavním problémem této methody je stanovení ekvivalentní frekvenční charakteristiky $G_{\rm s}^{-1}(A,\omega)$ nelineárního prvku. V uvedené literatuře [7, 8, 9, 10] se uvažují předovším nelineární prvky, které mají přenos závislý jen na amplitudě, t. j. prvky u nichž výstupní signál závisí jen na průběhu vstupního signálu a nezávisí na jeho derivacích ani integrálech. Pro některé typické nelineární charakteristiky odpovídající takovýmto prvkům jsou spočteny příslušné přenosy $G_{\rm \tiny N}(A).$ Pro jiné případy je nutno provádět mnohdy velmi pracné vý-

Význam použití analysátoru je v tom, že tuto ekvivalentní charakteristiku nelineárního prvku můžeme přímo měřit. Zapojení analysátoru je na obr. 7. Na vstup měřeného nelineárního prvku je přivedeno sinusové napětí u_1 z generátoru funkce. Jeho amplitudu A je možno nastavit stejnosměrným napětím U_s , frekvenci ω nastavením otáček pohonného motoru M. Výstupní napětí u_s je přivedeno na kolektor odpovídající první harmonické, takže měřicí přístroj na výstupu analysátoru měří amplitudu a fázi první harmonické výstupního signálu u_2 nelineárního prvku. Vzhledem k tomu, že při vyšetřování regulačních obvodů se měření provádí při velmi nízkých frekvencích, používá se na výstupu jako měřicího přístroje fluxmetru. Odečtení údaje fluxmetru se provede po proběhnutí několika cyklů.

Měření provedeme vždy pro několik hodnot vstupní amplitudy A při konstantní frekvenci ω (t. j. konstantních otáčkách analysátoru). Do komplexní roviny na obr. 8 vyneseme takto zjištěný přenos $G_{\pi}^{-1}(A,\omega)$ a dostaneme soustavu křivek o parametru ω a okótovaných hodnotami vstupní amplitudy A. Do téže roviny nakreslíme přenos lineární části $-G_{\iota}(j\omega)$, který můžeme na př. stanovit způsobem uvedeným v odstavci 14.2.

Ustáleným oscilacím odpovídají podle rovnice (14.2) průsečíky charakteristik $G_{\rm N}^{-1}(A,\omega)$ a $-G_{\rm L}({
m j}\omega)$, kde souhlasí frekvence ω na obou charakteristikách. Toto ω a amplituda A odečtené na charakteristikách $G_{_{\rm N}}^{-1}(A,\omega)$ určují frekvenci a amplitudu těchto oscilací. Rozborem rovnice (14.2) určíme v nakreslených frekvenčních charakteristikách, který z průsečíků odpovídá stabilaím a který

Při použití analysátoru je možno také zhodnotit vliv vyšších harmonických přesunutím kartáčku na kolektor příslušné harmonické.

Literatura

- [1] Z. Tanka, Harmonický analysátor napětí a proudu, Elektrotechn. obzor 31 (1942),
- [2] Z. TRNKA, Die harmonische Analyse von Spannungs- und Stromkurven, Arch. Elektrotechn. 36 (1942), 123-130.
- [3] Z. TRNKA, Analysa empirických křivek, Elektrotechn. obzor 35 (1946), 221-229.
 [4] Čs. patent 74020.
 [5] DRP 742 445.

- [6] Z. TRNA, Přednáška v ESČ 1940.
 [7] GOLDFARB, O nekotorych nelinejnostjach v sistemach avtomatičeskogo regulirovanija, Avtomatika i telemechanika, T. VIII, No 5, str. 349 383, 1947.
- [8] Tustin, The Effects of Backlash and of Speed-Development Friction on the Stability of Closed-cycle Control Systems, J. Inst. Elec. Engrs. (London), Vol. 94, Part IIA,
- NO 1, May 1947.

 [9] OPPELT, Locus Curve Method for Regulators with Friction, J. Inst. Elec. Ergers (London), Vol 94, Part IIA, May 1947.

 [10] KOCHENBURGER, A Frequency Response Method for Analysing and Synthesing Contactor Servomechanisms, Trans. AIEE, Vol. 69, Part I, str. 270—234, 1950.

Obr. 1. Fotografie nového provedení analysátoru.
Obr. 3. Fotografie analysátoru pro synthesu periodické křívky.
Obr. 4. Fetvenéní charakteristika.
Obr. 5. Schema zapojení analysátoru pro tešení polynomů.

**Obr. 6. Blokové schema regulačního obvodu s nelineárním prvkom.
Obr. 7. Schema zapojení analysátoru pro určení ekvivalentní frekvenéní charakteristiky nelineár ního prvku.

Obr. 8. Ekvivalentní frekvenční charakteristiky nelíneárního prvku.

15. ELEKTRONICKÉ METHODY ANALOGICKÉHO VÝPOČTU

Ing. BOHUMII, MIRTES

15.1. Úvod

Se stoupajícími nároky na regulaci se přirozeně zvyšují i požadavky na aparát používaný k analyse a synthese zpětnovazebnich obvodů. Pokud jde o regulátory s jakkoliv složitou kombinací lineárních či — přesněji rečeno — "téměř lineárních" prvků, nečiní ovšem řešení potíži. Dobře známá frekvenční metoda je velmi účinný a pružný nástroj, který se dá snadno uplatnit i u těch nejnároňejších systémů. Pro regulátory s několika podstatnými nelinearitami naproti tomu jednoduché matematické či matematicko-grafické řešení prakticky neexistuje, třebas se na methodách řešení nelineárních systémů pracuje s velkým úsilím. Mnohem výhodnější je sáhnout v tom případě k poloexperimentálním methodám a matematický přístup k analyse a synthese doplnit řešením na modelech.

Zatizení používaná k modelování regulátorů jsou — s hlediska jejich funkce v procesu analysy a synthesy — analogické počítače určené k řešení lineárních i nelineárních diferenciálních rovnic vyšších řádů. Použití analogických počítačů tohoto druhu se ovšem uplatňuje nejen v regulační theorií a technice, ale i v řadě dalších oborů včdy a techniky a také se neomezuje jen na účast při výpočtu: Vřazením universálních i specialisovaných analogických počítačů do složitých zpětnovazebních systémů se podařilo automatisovat velmi náročné výrobní, kontrolní i měřicí procesy. Tento způsob použití je sice teprve v počátelch svého rozvoje, ale otvírá — o tom není pochyby — automatisačním snahám nové cesty.

Požadavky na modelující analogické počítače se přes velký rozsah aplikací analogického výpočtu v mnoha ohledech shodují. A je přirozené, že s růstem potřeby nároky stoupají: At se jedná o kteroukoliv úlohu — o modelování přístrojových servomechanismů či automatického řízení letadla nebo o transformaci souřadnic v automatisovaném přistávacím zařízení a o další a další použití – žádá se téměř vždy co největší přesnost řešení, spolehlivý chod, malé nároky na obsluhu, kromě toho je obyčejně velmi důležitá pružnost a všestrannost počítací sítě a možnost vřazení počítače do reálného systému, a rozhoduje i cena a náročnost výroby. Daleko největší počet těchto podmínek splňují elektronické analogické počítače s jednorázovým řešením. To plyne ze zběžného studia možností jednotlivých analogických method a dokazuje to i světový směr vývoje analogických počítačů dokumentovaný vedle mnoha a mnoha jiných zpráv přednáškami a diskusí na II. všesvazové konferenci o theorii automatické regulace [1]. V usnesení, které bylo na této konferenci přijato, je kromě toho zdůrazněn rozhodující význam analogického výpočtu pro další rozvoj regulace a k splnění automatisačních úkolů sovětského průmyslu je požadováno podstatné rozšíření výzkumných a vývojových prací v oboru analogického výpočtu a zavedení kvalitních elektronických počítačí do seriové výroby. Tyto závěry platí ovšem i pro naše hospodářství. Práce na analogických počítačích nebude nutno teprve zahajovat — v mnoha případech se bude moci vyjít z výsledků dosažených ve Výzkumném ústavu telekomunikací (VÚT).

Cílem základních i aplikačních výzkumných prací, které VÚT počítačům věnoval, bylo zvládnout hlavní methody elektronického analogického výpočtu a vyvinout řadu prvků a součástí i elektronických dílů a přístrojů vhodných k sestavení velmi přesných elektronických analogii několika základních úloh algebraického i diferenciálního počtu. V rozsahu úloh, o které šlo, jsou v podstatě zahrnuty i operace, jež je nutno použít při řešení regulačních systémů. Aby byla dále kryta i potřeba pošítacích zařízení pro přímé užití v automatisovaných procesech, byly elektronické analogie doplněny analogiemi elektromechanickými, které umožňují velmi přesně řešit i nelineární úlohy s úzkopásmovým dobře tlumeným průběhem závisle i nezávisle proměnných, a kromě toho byly vyvinuty i servomechanismy vhodné pro transformaci elektrických veličin na veličiny mechanické. Při konstrukci všech počítacích prvků a částí se vyšlo z perspektivních principů známých z literatury a ty byly na místech, kde publikovaná řešení nevyhovují či nepostačují doplněny výsledky původních výzkumných prací.

15.2. Lineární úlohy

Ve většině aplikací analogického počítače se vyžaduje řešení čistě lineárních úloh. Jde o kombinaci operací, jakými jsou změna znaménka, násobení a dělení konstantou, součet a rozdíl, integrace a derivace, při nichž vztah mezi vstupem a výstupem řešení nezávisí na amplitudě vstupu. Všechny lineární operace se v elektronickém analogickém počítačí modelují spolehlivě a přesně pomocí stejnosměrného počítacího zesilovače se silnou zápornou zpětnou vazbou [2]. Návrh vhodného počítacího zesilovače nehí sice nikdy snadnou záležitostí, ale hlavní problém — odstranění pomalých změn stejnosměrné hladiny výstupního napětí způsobených driftem, to je kolisáním pracovních potenciálů elektrod elektronek a napájecích napětí — byl již spolehlivě zvládnut objevením principu automatického nulování.

15.2.1. Analysa počítacího zesilovače s automatickým nulováním

Stejnosměrný počítací zesilovač s automatickým nulováním má proti zesilo vači bez nulování navíc střídavou zesilující větev označenou v blokovém sche matu na obr. 1 příslušným přenosem $k_z y_x$. Střídavá (st) větev složená z modu látoru, který převádí stejnosměrné (ss) chybové napětí u zesilovače na úměrné st napětí, ze zesilovače modulovaného napětí a z demodulátoru, použitého k zpětnému převodu zesíleného modulovaného napětí na napětí stejnosměrné. zvyšuje zesílení sa zesilující větve $-k_{si}y_{si}$ o hodnotu přenosu $k_{ii}y_{si}$, který není driftem ovlivněn, a tím snižuje stejnou hodnotou vliv driftu ss větve. Ten je ve schematu vyznačen ekvivalentním napětím u_i na vstupu do ss větve. Do na pětí $u_{\rm r}$ lze ovšem zahrnout i vliv všech ostatních rušivých napětí, jež se do počítacího zesilovače dostávají v jeho zesilující části.

Vztah pro nulovací účinek st větve a ostatní hlavní údaje o funkci počítacího zesilovače plynou z rovnice pro výstupní napětí $u_{\mathfrak{o}}$

$$u_0 \stackrel{\bullet}{=} - \left[u_i \frac{Z_0}{Z_i} + u_c \frac{Z_0 + Z_1}{Z_i} \frac{1}{(1 + k_c y_c)} + i_c Z_0 \right] \frac{ky(p)}{1 + ky(p)}$$
odvozené řešením obecného blokového schematu na obr. 1. Tuto rovnici, v níž

výraz ky(p)

$$ky(p) = [1 + k_{i}J_{i}(p)] k_{.i}y_{i}(p) \frac{Z_{i}(p)}{Z_{0}(p) + Z_{i}(p)}$$
 (2)

značí přenos otevřené smyčky zesilovače, lze pro užitečné pásmo frekveneí zjednodušit na přibližný tvar

$$u_0=-u_i\frac{Z_0}{Z_i}-u_i\frac{Z_0+Z_i}{Z_i}\frac{1}{(1+k_iy_i)}-i_iZ_0\;. \eqno(3)$$
 Aproximace platí pro sa signál a ostatní frekvence, na nichž je $ky(p)$ dosti

vysoké, aby

$$\frac{ky(p)}{1+ky(p)} \doteq 1. \tag{4}$$

Zjednodušená rovnice ukazuje, že výstupní napětí počítacího zesilovače je složeno ze tří složek: První, $-u_{\rm r}$. $Z_0/Z_{\rm p}$ představuje užitečný signál rovný žú dané lineární funkci vstupního napětí a druhé dvě účinek rušení.

Na přenos užitečného signálu má, jak vidět, vlív pouze poměr obou impedanci ve zpětné vazbě. Jak určit volbou Z_i a Z_0 charakter přenosu a tím i funkci zesilovače v analogickém výpočtu, to ukazuje přehledně tabulka I. První čtyři řádky tabulky definují zapojení zpětné vazby k získání analogií inverse, násobení konstantou, derivace a integrace. V dalších řádcích jsou uvedena zapo jení analogií ostatních důležitých lineárních operací.

V rušivém obsahu výstupního napětí se projevuje jednak účinek driftu a ostatního napěťového rušení u, a jednak účinek rušivého proudu i_r , do něhož je zahrnut mřížkový proud vstupní elektronky se větve a ostatní proudy, které tekou z místa vstupu zesilujících větví (bod A v blokovém schematu na obr. 1) jinam než do impedancí Z_i a Z_o . St větev má, jak ukazuje rovnice (3), velmi příznivý vliv na rušení driftem: Potlačuje je téměř úplně maximální hodnotou úzkopásmového zesílení $k_n y$. Tím je odstraněn hlavní nedostatek sa zesílení, který je jinak nutno kompensovat nákladnou stabilisací zdrojů, speciálním zapojením vstupních obvodů se větve a kromě toho nezbytným častým ručním nulováním zesilovače. Na rušení vlivem i, nemá naproti tomu nulovací st včtev žádný účinek, a proto je nutno snížit proud i, na minimální hodnotu vhodnou konstrukcí obvodů vstupní elektronky.

Matematické odvození informací o pochodech v počítacím zesilovači lze podepřít fysikálním názorem, jehož osvojení je pro práci s elektronickými analogickými počítači velmi důležité. Jde o to uvědomit si, že bod A v blokovém schematu je pro všechny důležité frekvence téměř přesně na potenciálu země. Toto "virtuální uzemnění" styčného bodu impedancí Z_i a Z_o je zajištěno vysokým kombinovaným zesílením obou elektronických větví zesilovače. Proč, to je jasné: Nejsou-li zesilující větve zahlceny, jejich mnohatisícové zesílení předpokládá i při dosti vysokém výstupním napětí několika desítek voltů téměř zanedbatelný vstupní signál v bodě A neboli přibližné uzemnění tohoto bodu. Pomocí předpokladu o virtuální zemi se snadno odvodí vztah pro přenos signálu u_i : Signál u_i je zaveden na odpor Z_i , kterým tudíž protéká proud u_i/Z_i ; tento proud teče do impedance Z, a výstupní napětí zesilovače má proto hodnotu -u,Z, Z. Že impedanci Z, teče kromě toho i proud i, to plyne ze stejného předpokladu. A jednoduchý je i názor na účinek driftu: Vyjde-li se z pří padu nulového vstupního signálu a nulového rušivého proudu, stačí pro určení velikosti rušivého výstupního napětí, způsobeného driftem, převést před poklad o virtuálním uzemnění do bodu B blokového schematu a sečíst napětí v okruhu z A do B; součet chybového napětí v bodu A, rovného $u Z_i/(Z_0 + Z_i)$, napětí u, a výstupního napětí st větve je roven nule,

$$u_o'\frac{Z_1}{Z_o+Z_1}+u_c+u_o'\frac{Z_1}{Z_o+Z_1}k_ay_a=0$$
a z toho rušivé výstupní napětí u_o'

$$u'_{o} = -u_{r} \frac{Z_{o} + Z_{1}}{Z_{1}} \frac{1}{1 + k_{s}y_{st}}.$$
 (6)

15.2.2. Otevřená smyčka počítacího zesilovače

Všechny základní úvahy o počítacím zesilovači, plynoucí ze zjednodušené rovnice (3) či z fysikálního názoru, platí přesně pro pásmo frekvencí, v němž má přenos otevřené smyčky ky(p) zesilovače velmi vysokou hodnotu — na příklad několik desitek tisie — a vliv výrazu ky (1 + ky) na funkci zesilovače lze zanedbat. Hlubší analysa, zabývající se chybami v analogickém výpočtu a otázkami stability zesilovače, s tímto zjednodušením ovšem nevystačí. V obou připadech je nutno všimnout si důkladnějí funkce ky(p). Nejlépe je při tom postupovat frekvenční methodou.

Všechny informace důležité pro analysu zesilovače — a přirozeně i pro synthesu jeho elektronických větví — jsou obsaženy v amplitudové charakteristice otevřené smyčky. Charakteristika funkce ky(p) jednoho z počítacích zesilovačů vyvinutých ve VÜT, použitého k sčítání je na obr. 2a a charakteristika téhož zesilovače, zapojeného jako integrátor je na obr. 2b. Obě charakteristika týsou sestrojeny způsobem patrným v diagramech z dílčích charakteristik funkcí $k_x y_a = k_x y_a$, jež jsou pro obě zapojení stejné, a z charakteristiky funkce $L_j(Z_0 + Z_j)$, jež má v případě sčítání hodnotu $\frac{1}{3}$ a v případě integrace tvar $pCR_j(1 + pCR_j)$.

Podmínka, týkající se zajištění bezpečné stability, určuje průběh amplitudových charakteristik ky(p) v širokém okolí Nyquistova bodu: V této oblasti musí mít amplitudová charakteristika sklon — $20~\mathrm{dB/dek}$ ádu. Velkou amplitudovou bezpečnost je nutno zajistit nejen pro možnost značných změn v zesílení způsobených stárnutím elektronek, ale i proto, aby byla možná široká změna impedancí Z_i a Z_i .

Pro řešení otázek přesnosti je důležitá frekvence jednotkového zesílení v grafu $|ky(j\omega)|$ a průběh grafu směrem k nulové frekvenci. V zásadě má být zesílovači ponechána v co nejširším pásmu vysoká stejnosměrná hodnota zesílení k_a a k_a přenosu obou jeho zesilujících větví a mezná frekvence zesilovsác, rovná zhruba frekvenci bodu jednotkového zesílení, má být co nejvyšší. Ani jeden, ani druhý požadavek nelze splnit dokonale. To se ovšem projeví chybami v analogickém výpočtu.

15.2.3. Přenos sumačního zesilovače

Přenos zesilovače v zapojení upraveném pro součet napětí $u_1,\,u_2,\,u_3$ a u_4 má sice podle tabulky I tvar

$$u_0 = -\left(u_1 \frac{R_0}{R_1} + u_2 \frac{R_0}{R_2} + u_3 \frac{R_0}{R_3} + u_4 \frac{R_0}{R_4}\right), \tag{7}$$

ale ten je nutno poopravit úvahou o odchylkách funkce ky/(1+ky) od předpokládané jednotkové hodnoty. Amplitudu těchto odchylek $A(j\omega)$ lze v pásmu nižších frekvencí, kde $|ky(j\omega)|$ je dosti vysoké, určit na základě přibližného vztahu

$$\Delta(\mathbf{j}\omega) = 1 - \left| \frac{ky(\mathbf{j}\omega)}{1 + ky(\mathbf{j}\omega)} \right| \doteq \frac{1}{|ky(\mathbf{j}\omega)|}$$
 (8)

z příslušné amplitudové charakteristiky přenosu otevřené smyčky sumačního zesilovače. Odchylka \varDelta zesilovače s charakteristikami na obr. 2a a kteréhokoliv kvalitního zesilovače s nulováním nestoupne na příklad až do frekvence 100 Hz nad zanedbatelnou hodnotu 0,1%. S růstem frekvence však velikost odchylky rychle stoupá a v okolí mezné frekvence ω_b , nastává dokonce přechod mezi stavem, kdy ky/(1+ky)=1 a druhým stavem, kdy — pro $|ky(j\omega)|<1$ — se ky/(1+ky) blíží hodnotě ky. To jinými slovy znamená, že v bodě mezné frekvence ω_b , jednotková nízkofrekvenční asymptota amplitudové charakteristiky funkce ky/(1+ky) přechází ve vysokofrekvenční asymptotu charakteristiky funkce ky se sklonem — 20 dB/dekádu, takže — vyjádřeno analyticky

0 dB/dekádu, takže
$$-$$
 vyjádřeno analyticky $rac{ky(p)}{1+ky(p)} \doteq rac{1}{1+rac{p}{\omega_{bs}}}.$ (9

Odpovídajícím způsobem by se měla upravit i základní idealisovaná rovnice (7): Výsledný vztah

$$u_0 = -\left(u_1 \frac{R_0}{R_1} + u_2 \frac{R_0}{R_2} + u_3 \frac{R_0}{R_4} + u_4 \frac{R_0}{R_4}\right) \frac{1}{1 + \frac{p}{\omega}}$$
(10)

je přijatelně reálný obraz pochodů sumačního zesilovače pro mnohem širší fásmo frekvencí. Totéž platí pro všechna zapojení počítacího zesilovače, v nichž $Z_0=R_0$ nebo kdy v Z_0 složeném z více prvků lze nalézt dráhu z bodu Ak výstupu zesilovače, jež vede jen přes reálné odpory.

K chybám způsobeným odchylkami funkce ky/(1+ky) od jednotkové hodnoty je nutno ovšem přičíst vliv nepřesností poměru Z_0/Z_v . U sumačního zesilovače lze chybu z této přičiny obyčejně zanedbat, neboť poměr dvou odporů jsou-li vinuty z dobrého odporového materiálu a dobře stárnuty — se bez větších potíží udrží v toleranci několika setin procenta.

15.2.4. Přenos integračního zesilovače

Jak ukazuje graf na obr. 2b, klesá v případě integračního zesilovače amplituda přenosu otevřené smyčky nejen na vysokých frekvencích, ale i směrem k stejnosměrnému signálu. Je-li použito automatioké kompensace účinku driftu, dochází ovšem k dolnořekvenčnímu odřezu přenosu na tak nepatrné frekvenci (pro uvažovaný integrační zesilovač v okolí $\omega_4 \simeq 10^{-5} \, \mathrm{s}^{-1}$), že se dokonce dříve uplatní časová konstanta použitého kondensátoru, třebas dosahuje u kvalitních styroflexových kondensátorů vysoké hodnoty $T_c \simeq 5 \cdot 10^3 \, \mathrm{s}$. Přenos integračního zesilovače má proto — uvažováno přeměji — tvar

$$u_0 = -u_4 \frac{1}{RCp} \frac{T_{op}}{1 + T_{op}} \frac{1}{1 + \frac{p}{\omega_{ot}}}$$
(11)

Příslušným způsobem by se měly při přesné analyse upravit i přenosy všech aplikací počítacího zesilovače, v nichž dráha impedancí Z_0 z bodu A k výstupu zesilovače vede vždy přes nějaký kondensátor.

Pokud jde o přesnost časové konstanty RC, je nutno počítat s chybami několikrát většími než při reálném přenosu R_0/R_c . Nejlepší poměry jsou při použití odporů z Niehromu a styroflexových kondensátorů, neboť tepelný koeficient obou těchto materiálů má zhruba stejnou hodnotu — asi $1.5 \cdot 10^{-4}/^{\circ}C$ — a opačně znaměnko. I v tom případě se nastavená hodnota udrží stěží v mezích $\pm 0.05\%$.

15.2.5. Počítací zesilovače konstruované ve VÚT

Z naznačené obecné analysy funkce a přesností počítacího zesilovače, jejíž některé stránky jsou podrobněji rozvedeny v [2], plynou všechny potřebné směrnice pro řešení hlavních praktických otázek návrhu a konstrukce. Běží především o počet a druh zesilujících stupňů ve st a se elektronické větvi zesilovače a speciálně o obvody vstupního a koncového stupně se větve, dále o realisaci požadovaného frekvenčního průběh přenosů obou větví, o návrh kominované počítací sítě, která by umožnila rychlé a přehledné určení funkce zesilovače v analogickém výpočtu, a konečně o požadavky na zdroje napájeolch napětí. Tyto problémy mohly být v-zesilovačích konstruovaných ve VŮT zvládnuty celkem úspěšně. Přispělo k tomu hlavní měrou použití kvalitních potenciometrů a vhodných vibračních relé.

Technika výroby přesných potenciometrů, vyvinutá ve $\mathbf{W}\mathbf{U}\mathbf{T}$, umožňuje navíjet "kompensované" potenciometry, jež mají dokonale lineární přenos i se zátěží jen několikrát větší než celkový odpor vinutí Toho se dociluje výre zně nelineárním průběhem vinutí podle zásad patrných z diagramu na obr. 3. S kompensovanými potenciometry není těžko sestavit bez složitého systému přepínaných odporů velmi pružnou počítací síť o vysokém vstupním odporu, který příliš nezatží koncový stupeň zesilovače. Jednoduchý případ počítací sítě s kompensovanými potenciometry je na obr. 4. Minimální vstupní odpor je větší než 80 kΩ, zesílení lze měnit od 0 do značně vysoké hodnoty a časovou konstantu integrace od 1 s výše. Síť není příliš náročná na stínění — oba pevné odpory nemusí mít obvyklou hodnotu mnoha megohmů — a zvlášť výhodný je ovšem poměrně malý příkon potřebný k jejímu vybuzení. To usnadňuje konstrukci koncového stupně: Stačí běžné zapojení elektronky o malé anodové ztrátě a s malým odběrem z napájecích zdrojů.

Vibrační relé (konstruované rovněž ve VÚT) se uplatnilo úsporami v konstrukci obou zesilujících větví a zčásti i snížením požadavků na stabilisaci napájecich napětí. Hrají tu roli dvě stránky jeho konstrukce (fotografie na obr. 5), a to předně vysoká mechanická resonanční frekvence vibrujícího systému, jež umožňuje zvýšit modulační frekvenci, na příklad na 400 Hz, a dále možnost volby vhodného spínacího režimu. Vysoká modulační frekvence rozšiřuje pásmo účinku zesílení $k_{ii}y_{ii}$ proti běžné modulaci frekvencí sítě teměř o řád tedy do oblasti kolem 100 Hz — a přispívá tak k účinnějšímu využití zesílení st větve a tím i k snížení nároku na zesílení ss větve. Aby hodnotu k_s bylo možno volit bez nebezpečí nestability st větve potřebně vysokou, toho se dosáhne seřízením kontaktů relé na přepínání s vyloučením intervalu, kdy by vibrující kontakt nebyl ve styku s žádným z obou pevných kontaktů. Správným seřizením relé se zabrání napětí st větve zesílenému výstupnímu napětí proniknout přes relé do vstupu. To je velmi důležité: Bez oddělení výstupu od vstupu by bylo třeba do st větve zařadit lichý počet zesilovacích stupňů a to by vedlo kromě nehospodárnosti k dalším komplikacím se získáním kladné polarity přenosu $k_{*}y_{*}$

Snížené nároky na zesilující obvody se projeví úsporami v počtu elektronek, v rozměrech a odběru koncového stupně se větve a v požadavcích na napájecí zdroje. Schemata dvou úsporně řešených počítacích zesilovačů konstruovaných ve VŮT jsou na obr. 6 a 7. Co do vlastností se od sebe liší hlavně výkonovými možnostmi koncového stupně (při stejném rozsahu výstupního napětí ± 100 V je minimální zátěž v prvém případě 40 k $\Omega_{\rm v}$ druhém 10 k $\Omega_{\rm l}$) a hodnotami zesilení obou elektronických větví (v druhém případě jsou zesílení více než dvojnásobná, $k_a \pm 1000$, $k_a \pm 10\,000$). Zlepšených vlastností druhého z obou zesilovačů se dosáhlo zvětšením počtu elektronek — dva triodové systémy byly nahrazeny dvěma pentodami, takže místo dvou elektronek prvního zesilovače jsou použity tři clektronky — a přirozeně i zvýšením ss příkonu do koncového stupně.

Při detailním řešení elektronické části počítacího zesilovače nejde jen o otázky, týkající se úsporné realisace žádaných zesílení a potřebného výkonu, ale je nutno věnovat pozornost také konstrukci vstupních obvodů se větve, které rozhodují o velikosti sa rušivého proudu i, a o driftu zesilovače. Pokusy s potlačením proudu i musí vycházet z experimentálního určení jeho zdrojů: Pokud se tu projevuje svod z bodu A blokového schematu k přívodům anodového napětí ve spodku první elektronky, pomůže důkladná úvaha o umístění a isolaci všech vodičů bodu A a o udržení čistoty spodku elektronky. Větší úlohu hraje v i, obyčejně podíl mřížkového proudu, ale i ten lze snížit volbou pracovního bodu elektronky theoreticky na nulu. To plyne ze závislosti mřížkového proudu triody 6CC41 — a kterékoliv jiné zesilující elektronky — na předpětí mřížky (obr. 8). Nastavení pracovního bodu se ovšem během provozu mění; hlavní příčinou změn je kolísání žhavicího napětí.

Oba zesilovače VÚT, o nichž byla řeč, udržují proud i_c v mezích $\pm 10^{-9}$ A. K dosažení potřebné stabilisace pracovního bodu vstupní elektronky, který byl volen s ohledem na malý mřížkový proud podle zásad odvozených z diagramu na obr. 8, bylo nutno použít dobře regulovaného zdroje žhavicího napětí: Nejvyšší povolená změna žhavicího napětí nepřesahuje 2%, at ji způsobuje kolisání v síti či proměnný žhavicí odběr. Toleranci $|i_i| < 10^{-9}$ A není pravdě podobně možno s normálními elektronkami dále podstatně snížit.

Regulace žhavicího napětí první elektronky má příznivý účinek i na celkový přenos konstantního signálu, neboť chyby v nulování zesilovače – potlačené ovšem účinkem st větve – způsobuje v podstatě drift vstupních obvodů se větve. Kdyby byla na vstupu zesilovače jednoduchá trioda, bylo by třeba při změně žhavicího napětí o 10% počítat s driftem ekvivalentním přírůstku rušivého napětí u, o 0,1 V. K podstatnému snížení driftu byl do vstupu zesilovačů vřazen místo jednoduché triody symetrický obvod, vhodný kromě toho i k sečtení napětí u+u, s napětím $uk_{\cdot i}y_{\cdot i}$. Tímto detailem konstrukce — doplněným regulací žhavení – je při dostatečné síle větve k"y" zaručena dlouhodobá stabilita nulování: Drift výstupního napětí obou zesilovačů VÚT v zapojení s jednotkovým přenosem nepřesahuje mez 1 mV.

A konečně několik slov o realisaci žádaného frekvenčního průběhu obou zesilujících větví. Potřebný pokles přenosu st větve se provede pomocí jednoduchého dolnopropustného členu RC vřazeného za demodulátor. Aby se současně zajistila i potřebná filtrace demodulovaného napětí, je nutno volit časovou konstantu RC tak, aby amplituda funkce $k_*y_*(j\omega)$ poklesla pod jednotkovou hodnotu již několik oktáv před dosažením nosného kmitočtu modulace. Pokud jde o frekvenční průběh přenosu se větve, je třeba počítat s kapacitami elektronek a žádaného průběhu dosáhnout úpravou vazebních sítí podle obr. 9.

15.2.6. Dynamické chyby při analogickém řešení složitějších lineárních úloh

V obr. 10 je blokové schema modelu obecné lineární diferenciální rovnice

$$-a_n \frac{\alpha^n y(t)}{dt^n} + a_{n-1} \frac{d^{n-1}y(t)}{dt^{n-1}} - \dots + a_1 \frac{dy(t)}{dt} - a_0 y(t) = x(t).$$
 (12)

Aby k řešení stačil jeden sumační zesilovač a n integračních zesilovačů, byla znaménka koeficientů volena střídavě kladná a záporná, takže není obeoně nutno provádět inversi.

Určení celkové přesnosti modelu je už na první pohled velmi obtížné. Nejde ovšem o statické chyby — ty jsou nepatrné a není těžko je odhadnout — ale o chyby dynamické, k nimž dochází při řešení přechodné odezvy vlivem konečevych vyby dynamické, k nimž dochází při řešení přechodné odezvy vlivem konečevych vyby v přechodné odezvy vlivem konečevych vyby v přechodné odezvy vlivem konečevych v přechodné odezvy v přechodné odezvy v přechodné odezvy v přechodně odezvy v př né šířky pásma použitých zesilovačů a působením svodového odporu kondensátorů ve zpětnovazební síti integračních zesilovačů. Oba vlivy je možno - jak již bylo ukázáno – respektovat úpravou idealisovaných přenosů uvedených v tabulce I, a to v případě sumačního zesilovače vztahem

$$-U_{n}(p) = -\left\{\frac{1}{a_{n}}X(p) + \frac{a_{n-1}}{a_{n}}U_{n-1}(p) - \dots + \frac{a_{1}}{a_{n}}U_{1}(p) - \frac{a_{0}}{a_{n}}U_{0}(p)\right\} - \frac{1}{1 + \frac{p}{\omega_{s}}}.$$
(13)

a v případě m-tého integračního zesilovače vztahem
$$U_{m-1}(p) = -\frac{1}{p} U_m(p) \frac{T_s p}{1 + T_s p} \frac{1}{1 + \frac{p}{\omega_1}}. \tag{14}$$

V rovnieleh (13) a (14) značí T_c vybíjecí časovou konstantu styroflexových kondensátorů, ω_c a ω_t meznou frekvenci sumačního a integračního zesilovače, $\boldsymbol{U}_{\mathsf{m-1}}$ výstupní napětí m-tého integrátoru.

Model sestavený z reálných počítacích zesilovačů neřeší danou rovnici (12), ale — jak lze odvodit dosazením výrazů z rovnic (13) a (14) do blokového sohe matu na obr. 10 -- odlišnou rovnici operátorového tvaru

$$Y(p) \left\{ -a_n [f(p)]^n + a_{n-1} [f(p)]^{n-1} - \ldots - a_0 - a_n [f(p)]^n \frac{p}{\omega_s} \right\} = X(p) \cdot (15)$$

Rozdíl mezi oběma rovnicemi je v tom, že v rovnici (15) nahrazuje proměnnou p funkce f(p)

$$f(p) = \frac{(1 + T_c p)\left(1 + \frac{p}{\omega_d}\right)}{T_c}.$$
 (16)

a že tu je navíc člen — $a_n p[f(p)]^n/\omega_s$.

K stanovení přesnosti analogického výpočtu je theoreticky třeba řešit danou rovnici a výsledek řešení srovnat s odezvou modelu, definovanou rovnicí (15). Tato úloha je však i v poměrně jednoduchých případech těžko zvládnutelná. Snažší je hrubý – nebo jen kvalitativní – odhad přesností, plynoucí z frekvenčního pohledu na model.

Otevřená smyčka reálného modelu na obr. 10 má přenos

$$G(p) = \frac{a_0}{-a_n[f(p)]^n + a_{n-1}[f(p)]^{n-1} - \dots + a_1[f(p)] - a_n \frac{p}{\omega_0}[f(p)]^n}$$
(17)

S použitím funkce G(p) není těžko upravit celkový přenos modelu — čili přenos jeho uzavřené smyčky — na tvar vhodný pro frekvenční řešení

$$\frac{Y(p)}{X(p)} = \frac{1}{a_0} \frac{G(p)}{1 - G(p)}.$$
 (18)

Výraz Y(p)/X(p) otvírá hledané jednoduché kvalitativní hledisko na přesnosť modelu: Jde-li o úlohu s odezvou oscilačního charakteru, znamená to, že fáze $LG([\omega)$ frekvenční charakteristiky funkce G(p) je v bodě mezné frekvence ω_0 téměř nulová a $1-G([\omega_0)=0$, aby celková frekvenční odezva modelu dosáhla v okolí ω_0 potříchoř resounační špičky. Za tědito okolnosti se ovšem malé odchylky v přenosu otevřené smyčky modelu projeví mnohem výrazněji než v případech, kdy $|1-G([\omega_0)|=2$ a přechodná odezva je dostatečně tlumena. Je-li na příklad $|1-G([\omega_0)|=2$) a pa he nepatrný posuv fáze $LG([\omega_0)$ z -350° na na příklad $|1-G([\omega_0])=0$, 1, pak nepatrný posuv fáze $LG([\omega_0])=350^\circ$ na vyvolá patnáctiprocentní pokles resonanční špičky (z 10 na 8,5). Stejně nepatrný posuv fáze o 1°-změní naproti tomu při $|1-G([\omega_0])=0$,8 resonanční špičku destkrát měně. Podobný je v obou případech i charakter změn přehodné odezvy na skok x(t). Vztah mezi přechodnou a frekvenční odezvou je ostaně dobře znám z theorie frekvenčního řešení servomechanismů.

 ${\bf K}$ bližší ilustraci možností analogického výpočtu postačí stručná analysa reálného modelu jednoduché diferenciální rovnice druhého řádu

$$\frac{\mathrm{d}^2 y}{\mathrm{d}t^2} + A \frac{\mathrm{d}y}{\mathrm{d}t} + By = Bx, \qquad (19)$$

jakou je na příklad definován servomechanismus s viskosním tlumením (v tom případě $A=1/\tau_m$, $B=k/\tau_m$, τ_m je časová konstanta servomotoru, k konstanta rychlostní chyby). Model (obr. 11) řeší ve skutečnosti odlišnou rovnici

$$Y(p)\left\{\left[\frac{(1+T_cp)(1+\frac{p}{\omega_c})}{T_c}\right]^{1}\left(1+\frac{p}{\omega_c}\right)+A\left[\frac{(1+T_cp)(1+\frac{p}{\omega_d})}{T_c}\right]+B\right\}=:Bx$$

Vliv konečné šířky pásma invertoru byl pro jednoduchost zanedbán.

Zajímavé jsou dva případy rovnice (19). Jde předně o rovnici harmonického pohybu

$$\frac{\mathrm{d}^2 y}{\mathrm{d}t^2} + By = Bx, \qquad (21)$$

která popisuje idealisovaný netlumený servomechanismus (A=0, $au_m=0$ $= k = \infty$) se sinusovou odezvou

$$y(t) = 1 - \cos \sqrt{B} t \tag{22}$$

na skokovou změnu x v čase t=0. Skutečná odezva má, jak lze odvodit z rovnice (20), tvar sinusovky s exponenciálně stoupající či klesající amplitudou

$$y(t) = 1 - e^{+\left[B\left(\frac{1}{\omega_t} + \frac{1}{2\omega_t}\right) - \frac{1}{r_c}\right]t} \cos\sqrt{B} t.$$
 (23)

Jestliže B=100, $T_c=5 \cdot 10^5 \, {\rm s}=3 \cdot 10^5 \, {\rm s}^{-1} \, {\rm a} = 10^5 \, {\rm s}$, pak $y={\rm e}^{+0.0083/2}$. sin 10t a amplituda sinusovky stoupne za 6 s (t. j. po deseti vlnkách) téměř o 1%. Na tento typ odchylky skutečné odezvy od theoretického tvaru netlumené sinusovky ukazuje i posuv fáze frekvenční charakteristiky otevřené smyčky modelu vyvolaný nepřesností analogií integrace, sumace a inverse. Jak plyne z amplitudové charakteristiky přenosu otevřené smyčky modelu

$$G(p) = \frac{BT_e^a}{\left(1 + T_e p\right)^2 \left(1 + \frac{p}{\omega_e}\right)^3 \left(1 + \frac{p}{\omega_s}\right)} \tag{24}$$

v obr. 12a, dochází na frekvenci ω_0 k posuvu fáze dozadu přibližně o přírůstkový úhel

$$\Delta \mathbf{E}(\mathbf{j}\omega_0) \doteq \left(2\frac{1}{T_c|\sqrt{B}} - \frac{\sqrt{B}}{\omega_s} - 2\frac{\sqrt{B}}{\omega_t}\right) \frac{360^\circ}{2\pi} \doteq -0.01^\circ \tag{25}$$

a amplitudová charakteristika neprochází kritickým bodem, jak by tomu mělo být s dokonalým modelem, ale oblastí exponenciálně rostoucích oscilací.

K mnohem příznivější situaci dochází při modelování dobře tlumeného servomechanismu s $\tau_m=0.1~{\rm s},~k=10~{\rm s}^{-1},~A=10~{\rm s}^{-1},~B=100~{\rm s}^{-2}$ a s přenosem otevřené smyčky

$$G(p) = \frac{BT_e^*}{\left(1 + T_e p\right)\left(1 + \frac{p}{\omega_t}\right)\left[AT_e + \left(1 + T_e p\right)\left(1 + \frac{p}{\omega_t}\right)\left(1 + \frac{p}{\omega_t}\right)\right]}$$
(26)

Theoretická odczva na jednotkový skok vstupu v čase $t=0\,$

$$y(t) = 1 - e^{-5t}(\cos 8,65t - 0,115 \sin 8,65t)$$
 (27)

se liší od odezvy reálného modelu s týmiž hodnotami T_v, ω_s, ω_s jako v předešlém případě jeu nepatrně. O tom svěděí zanedbatelný účinek parasitních konstant modelu na přenos uzavřené smyčky. Nežádoucí změna fáze frekvenční charakteristiky otevřené smycky modelu z ~ 135 na ~ 135,01° zvětší resonauční špičku odezvy uzavřené smyčky o méně než 0,1%. Stejně zanedbatelná je přírozeně i změna přechodné odczvy: Se stoupnutím resonanční špičky poklesne thuncní servomechanismu asi o 0.05% a skutečná přechodná odezva má následkem toho tvar, který nelze od rovnice (27) žádným způsobem odlišit. Ze zjednodušeného rozboru acpřesnosti analogického výpočtu plynou důležité poznatky i o rychlosti, s jakou lze řešení provádět. Rychlost řešení dosažitelná s počítačem rozhoduje o volbě časového měřítka, kterým je možnou dobu trvání výpočtu buď prodloužit nebo zkrátiť. Je li doba potřebná k výpočtu dosti a to je, jak je zřejmé z provedené analysy, v případech velké šířky pásma zesilovačů a malých nároků na přesnost je môžno řešení opakovat a výsledek zobrazit na oscilografu s opakovací časovou základnou synchronisovanou s chodem počítače,

K ujasnění problematiky periodisace řešení je možno vyjít z informací o analysovaném modelu diferenciálních rovníc 2. řádu. Periodické řešení rovnic se silně oscilujícím výsledkem je na modelu, o němž byla řeč, stěží možné, nejvýše by se dalo uvažovat o jednom řešení za několik vteřin. Naproti tomu připady s dobře thmenými odezvami by bylo možno řešit i několikrát za vteřinu, nebot i při desetinásobném zvýšení frekvence zákmitu by se amplituda první spřeky přechodné odezvy nezvýšená řekvence zákmitu by se ovšem nemohlo sáhnout k opakovací frekvenci 50 Hz, jež je u repetitivních počítařů běžná, neboť doba použitelná k řešení by nutila zvýšit frekvenci zákmitů nejméně na 500 Hz. Dosažený výsledek je přesto příznivý: Model byl sestaven ze zesilovačů konstruovaných pro jednorázový chod a možnost opakovat řešení třebas jen jednou za vteřinu bude v některých případech velmí vítána.

15.3. Nelineární úlohy

Mnohem větší potíže než s lineárními vztahy jsou při analogickém \mathbf{v} ýpočtu obyčejně s realisací nelincárních operací. Jde o násobení a podíl proměnných, o výrobu funkčních průběhů a o další vztahy, při nichž poměr výstupu ke vstupu závisí na amplitudě vstupních veličin nebo je ovlivňován proměnnými parametry úlohy. Tyto nelineární operace se v elektronických analogických počítačích řeší různými způsoby, ale žádná ze známých method se zdaleka neblíží dokonalosti lineárních analogií. To je pochopitelné. Všechny elementární lineární závislosti lze realisovat pomocí vysoce stabilních a frekvenčně téměř nezávislých jednodnehých pasivních elektrických prvků – odporů a kondensátorů. K získání složitějšího lineárního vztahu stačí potřebnou kombinaci pasivních prvků doplnit zesilující elektronickou částí, která obstará n utný převod napětí na proud, aniž by přenos pasivních prvků znatelně ovlivnila. K realisaci elementárních nelincárních operací je naproti tomu nutno použít prvků, které buď nejsou stabilní (na příklad elektronky) uebo jsou silně frekveněně závislé (toho druhu jsou všechny prvky elektromechanické, jako počítací potenciometry, motory a pod.).

15.3.1. Modelování nelineárních operací založené na diodové charakteristice

Nejpřesnějším a nejstabilnějším elektroniekým elementom nelineárních analogií je vaknová dioda s výrazně nelineárním průběhem závislosti proudu na napětí. Základní zapojení diody, které této nelinearity využívá, je na obr. 13. Na dalším obrázku 14 je ukázáno, jaké různé průběhy umožní volba polarity, vstupního napětí, konstantního ss napětí t' a směru propustnosti diody.

K získání analogii složitějšího tvaru nelineárních funkcí stačí použít vhodné kombinace základních diodových obvodů. Postupuje se tak, že se žádaný funkční průběl aproximuje řadou lineárních úseků, pro každý z třehto úseků se navrluce příslušný elementární diodový nelineární obvod, na vstupy všech diodových obvodů se zavede vstupní signál dané úlohy a jejich výstupní napětí se sečtou pomocí počítacího zesilovače v sumačním zapojení. K ilustraci této methody je na obr. 15 ukázáno schema analogie jednoduché nelineární úlohy

$$\begin{array}{lll} y &: k_1 x + k_1 B & \text{pro} & x < -B \;, \\ &= 0 & \text{pro} & -B < x < A \;, \\ &= k_2 x - k_2 A & \text{pro} & x > A \;, \end{array} \tag{28}$$

při níž jde v podstatě o modelování oblasti necitlivosti. Řada schemat analogii jiných nelincárních operací tohoto druhu je uvedena v [3]. Další složitější uclineávní průběhy – na příklad kvadrát vstupního napětí, úseky goniometric tze nastavit na diodovém generátoru funkci odvozeném kých funkcí a pod. stejnou methodou. Schema generátoru, který aproximuje nelineární průběhy čtrnácti lineárními úseky s nastavitelnými mezemi a stoupáním, je uvedeno v [1]. Počet lineárních úseků tohoto generátoru je pro většinu funkcí více než ostačující. Větší chyby než aproximace funkcí pomocí konečného počtu lineárních úseků způsobuje obyčejně nejistá hodnota přepínacího potenciálu diody (chyba z této příčiny může činit i několik desetiu voltu) a nenulový a nestabilní odpor diody v propustném směru (jeho změny činí stovky ohmů). Chyby způsobené občina těmito vlivy jsou siec ve srovnání s odpovídajícími nepřesnostmi analogií lincárních operaci vysoké — drift počítacího zesilovače s nulováním nepřesahuje 1 mV a nestabilita poměrů impedancí Z_0 a Z_1 je značně menší než 0.1% při libovolné hodnotě Z_0 a Z_1 — ale širokopásmovou generaci nelineárních průběhů nelze pravděpodobně provést jiným způsobem přesněji.

11

Pomocí diodového generátoru nelincárních funkcí je možno realisovat řadu nelincárních operací. Na použití generátoru kvadratických přenosů je na přiklad založena násobička dvou proměnných veličin, z a y, vycházející ze vztahu

$$-y = \frac{1}{4}(x + y)^2 - (x - y)^2$$
, (29)

O této násobičce bude ise v [3].

Nepřesnostmí typickými pro diodové nelincární analogie trp! pochopitelně také všechny analogie v užívající nelincární charakteristiky zesilnjících elektronek – na přiklad exponenciální mřížkovou charakteristiku — a to je ještě nejčastějí mitno počítat s omohem většími chybami. Výhodou všech elektronických sodogií je ovšem štodé písmo přenosu a poměrně nenáročná konstrukce, cež v četných případech — a téměř vždy při řešení regulačních úloh — nedostatky ch-ktronických nelincarit víc než vyváží.

V jiných místech analogického výpočtu se naopak vystačí s úzkým pásmem několika málo cyklů, ale zato se požaduje, aby řešení bylo co nejpřesnější. V těch případech je nutno sáhnout po elektromechanickém nelincárním prvku přesném počítacím potenciometrn. Každý potenciometr může být nelincární dvěma způsoby: Lincární není především závislost mezi oběma jeho elektrickými veličinami — napětím přiloženým na potenciometr a napětím mezi běžcem a jedním koncem vinutí — neboť ji lze ovlivnit polohou běžce. A kromě toho může být samo vinutí potenciometru nelincární a tím i vztah mezi napětím a polohou běžce.

15.3.2. Tyčové a šroubovicové potenciometry VÚT

Počítací potenciometry jsou pro každý přesný analogický počítač prakticky stejně důležité jako elektronické částí počítacích zesilovaců. Rozdíl je v tom, že k sestavení zesilovaců stačí běžné radiové součástí (potřebu kvalitního vibračnho reló je možno v krajním případě obejít), zatím co přesné počítací potenciometry s příslušenstvím jsou velmi drahé a někdy dokonce nedostupné. Otázka potenciometrů se proto nedá jednoduše přejít. Každé vážnější úvaze o stavbě počítače musí předcházet vyřešení problému — z jakého zdroje bude možno potřebné potenciometry čerpat.

Ve VÜT bylo rozhodnuto pokusit se o zvládnutí technologie potenciometrů vlastními prostředky, třebas bylo jasné, že to bude stát značnou část výzkumné a vývojové kapacity, jež byla počítačům věnována. Pro toto rozhodnutí mluvily i nepříliš přízmivé informace o nejlepších zahraničních potenciometrech. Zádné z potenciometrů, jež jsou v zahraničí na trhu, totiž nemají současně – pokud lze zjistit – všechny žádané vlastnosti – vysokou přesnost daného průběhu i celkového odporu, široký sortiment nelineárních průběhů, počítaje v to i nemonotonní goniometrické průběhy, malé rozměry, nepatrné nároky na hnací moment, levnou automatisovanou výrobu.

Práce na potenciometrech byly rozděleny do dvou etap: Cílem první etapy bylo dosáhnout jakosti nejlepšieh zahraničních potenciometrů kruhových (na příklad potenciometrů vyvinutých spoluprací amerických firem Bell Telephone Laboratories a Western Electric Company) a při výrobě současně uplatnit moderní automatisační methody alespoň natolik, kolik jich je vlazeno do procesu výroby zahraničních šroubovicových potenciometrů. Do jaké míry se to podařilo, ukazuje výsledek prací první etapy, týčový potenciometr VŮT, vyráběný nyní v n. p. Elektrosignál. Hlavní údaje o tyčovém potenciometru (podrobnější informace jsou v referátu podaném na IV. konferenci o strojích na zpracování informací [4]). Vinutí tyčového potenciometru je přesně lineární – žádaný funkční průběh zajišťuje spirálová dřážka, která převádí vstupní otočný pohyb hřídele na podélný posuv běžec. Výroba funkční drážky i navljecí proces jsou úplně automatisovány. Požadovaný průběh výstupního napětí je u potenciometru dělky 0,5 m dodržen s přesností 0,05% a těměř stejná je také tolerance celkového odporu. Po všech těchto stránkách může tyčový potenciometr soutěžit s nejlepšími zahraničními výrobky. Je však podstatně větší mež zahraniční spiřálové potenciometry, potřebuje větší moment k posuvu běžec a je horší i po některých dalších stránkách praktického použití.

Proto bylo přikročeno k druhé etapě prací se snahou vyrovnat se i s těmito nedostatky. Výsledek vývoje není ještě skončen, ale všechny hlavní problémy se již podařilo vyřešit. Z tyčového potenciometru zůstal princip použitých method automatisace navíjecího procesu a myšlenka realisace nemonotonních funkcí pomocí mechanického přepínacího zařízení. Hlavní rozdíl je v přechodu na šroubovou odporovou dráhu, která umožňuje zmenšit rozměry a zlepšit resoluci, a v způsobu transformace lineárního vstupu — otočného pohybu hřídele – na funkční elektrický výstup, která je u nového spirálového potenciometru VÚT provedena proměnným stoupáním Kohlrauschova odporového vinutí. Navíjecí proces je zautomatisován pomocí kopírovacího systému založeného na principu Wheatstonova můstku, který je plymle vyrovnáván servo-mechanismem. Šroubovicové potenciometry VŮT – lineární i nelineární – a to včetně náročného průběhu silně zatížených goniometrických funkcí mají stejnou přesnost jako tyčové potenciometry, asi čtyřikrát lepší resoluci (na dvoumetrové dráze lineárního dvacetiotáčkového potenciometru střední velikosti $40 \times 100~\mathrm{mm}$ o odporu 100 k Ω je na příklad asi 25000 závitů odporového drátu o průměru 0,05 mm), nízký hnací moment (kolem 30 gem) a malé vnější rozměry. Tyto příznivé údaje doplňuje vhodně i úspěch celkové koncepce mechanického provedení řešené s použitím moderní zalévací techniky.

Fotografie tyčových a šroubovicových potenciometrů VUT jsou na obr. 16 a 17.

15.33. Řešení nelineárních úloh pomocí počítacích servomechanismů

Analogické řešení elementárních nelincárních úloh, založené na nelincárních vlastnostech potenciometrů, vychází zásadně ze stejné zpětnovazební methody, jaká je použita v elektronických analogiích lincárních vztahů. Zásadní rezdíl proti počítacímu zesilovači je v tom, že je nutno operovat nejen s elektrickým ale is mechanickým vyjádřením proměnných, neboť jedním z parametrů, které se pří řešení nelincární úlohy plynule mění, je posuv či natočení běžce potenciometru. K realisaci příslušné transformace elektrické veličny na mechanickou, je třeba elektronickou zesilující část zpětnovazebního analogického systému dopinit servomotorem a tak počítací zesilovač změnit — podle známé definice servomechanismu [5] — v počítací servomechanismus.

Funkce počítacího servomechanismu je patrna z blokového schematu na obr. 18. Jde o analogii jednoduché nelineární implicitní úlohy

$$f_a(y) = x \tag{30}$$

s nezávisle proměmou x a závisle proměmou y. Obdoba s počítacím zesilovačem je zřejmá. Ulohu zpětnovazební pasivní elektrické sitě, v níž se v případě počítacíh zesilovače odčítá vhodná lineární funkce výstupního signálu od lineární funkce výstupního signálu od lineární funkce vystupního signálu vykonává v nelineární analogii čárkovaně ohraničená sít s funkčním potenciometrem P_1 , umožňujícím provedení žádané nelineární transformace mechanického výstupního signálu q_y , na elektriokó napětí u, úměrné funkci $f_x(y)$. Rozdílové napětí se v obou případech převádí pomocí silně zesilující částí systému na výstupní signál. Výstupním signálem zesilující částí s počítacího servomechanismu je poloha běžce potenciometru a proto – ják už o tom byla řeč – je do výstupu bloku S vězace servomotor. Bod A' blokového sehematu nelineární analogie je jako bod A počítacího zesilovače (obr. 1) virtuálně usemněn. Druhý – lineární – potenciometr P_2 , který se analogického řešení úlohy definované rovnící (30) přímo nedčastní, vykonává pomocnou funkci. Slouží k převodu výstupního natočení q_y , na úměrné elektrické napětí u_y , aby výstup řešení měl stejnou elektrickou formu jako vstup.

Jak je zapojena analogie nejtypičtější nelineární úlohy — součinu funkcí času x a \boldsymbol{y}

$$z(t) = x(t) y(t) (31)$$

to ukazuje sehema na obr. 19. V analogickém obvodu jsou dva servomechanismy, ale jeden z nich (S1) do zpětnovazebního řešení vstupuje jen nepřímo: Je použít k převodu vstupního elektrického signálu $u_x=k_jx$ na úměrné natočení hřídele lineárního potenciometru P_a , který je částí zpětnovazební sitě vlastního počítacího servomechanismu analogie. Potenciometr P_a má tak dva proměnné vstupy odpovídající vstupním veličinám x a y dané nelineární úlohy a napětí jeho běžce je proto úměrné součinu xy. Nelineární transformace se tentokráte provádí, jak vidět, ve vstupní části zpětnovazební sitě počítacího servomechanismu.

Další typy nelincárních úloh lze odvodit z obou základních analogií. Na příklad podíl dvou proměnných

$$z(t) = \frac{y(t)}{x(t)} \tag{32}$$

se řeší jako násobení, ale potenciometr P_2 je vinutí nelineárně, aby u_x bylo úměrno funkci 1/x.

Všechny nelineární analogie — a to je opět obdoba s počítacím zesilovačem — se vzájemně liší jen zapojením zpětnovazební včtve. Zesilující část počítacího servomechanismu je možno proto konstruovat pro nodely všech nelineárních úloh jednotnou, nehledě ovšem na nutné jednoduché úpravy stabilisačního obvodu podle charakteru úlohy a na potřebu nastavovat hodnotu zesílení. Konstrukce ovšem vychází ze stejných zásad, jaké plynou ze zpětnovazební analysy počítacího zesilovače, ale situaci ztěžují potže se zpoždčním servomotoru a řadou mechanických nelinearit, které při synthese čistě elektronických obvodů odpadají.

Stručně o tom, jakými costami probíhaly práce na počítacích servomechanismech ve VUT.*)

V první etapě vývoje se dospělo ke klasickému střídavému přistrojovému servomechanismu s miniaturním dvoutázovým asynchronním servomotorem, st elektronickým zesilovačem napětí Z1 a výkonu Z2 a s modulací se chybového napětí pomocí vibračního relé R (obr. 20). K stabilisaci bylo použito počítacího zesilovače s úměrným plus derivačním přenosem (tabulka I, řádek 19)

$$u_0 = -(u_1 + u) k_1 \frac{1 + \tau_a p}{1 + \tau_b p}, \tag{32}$$

aby přenos otevřené smyčky servomechanismu

$$ky(p) = k \frac{1}{p(1 + \tau_m p)} \frac{1 + \tau_n(p)}{1 + \tau_b(p)}$$
(33)

měl amplitudovou charakteristiku tvaru grafu na obr. 21. Graf ukazuje, jak se dosahovalo žídané šířky pásma přenosu: Pásmo je v podstatů určeno hodnotou časové konstanty servomotoru τ_m a zesílením – konstantou rychlostní chyby – k. Je-li k pevně stanoveno požadavky na přesnost, je mastavení pásma třeba provést nastavením komstanty τ_m pomocí setrvačníku S potřebné velikosti na hřídeli motoru. Minimální šířka pásma je přírozeně určena setrvačnosti motoru bez setrvačníku.

^{*)} Podrobnější pojednání je v [6].

119

Servomechanismy tohoto druhu pracovaly celkem spolehlivě. Určité potizebyly jen s realisací velmi úzkého pásma přenosu pomocí nepříjemně velkéhosetrvačníku a nevyhovovaly také velké rozměry a náročnost výkonové části elektronického zesilovače a příslušného napájecího zdroje. Obě potíže měla vyřešiť druhá etapa prací.

Při zmenšování rozměrů počítacího servomechanismu byly vyzkoušeny novetypy pohonů s měně náročným zesilovačem, jež se proto zdály na první pobled silbnější. Postupně byly prozkoumány teoretické i praktické otázky návrhu a konstrukce přistrojových pohonů s magnetickými spojkami úměrnymi i spinacího typu, se ss motorky řízenými dyratrony či magnetickými zesilovaci v kotvě a ss motorky řízenými elektronicky v magnetech. Dvoufázový asynehroní motor přistrojové velikosti se však nepodařilo mhradit ani vlastnostma ani rozměry. Úsporu místa bylo nutno hledat jen v konstrukci výkonové části servozesilovače. Nejuspokojivější výsledek přineslo zatím použití nového obousměrného obvodu magnetického zesilovače s půleyklovou odezvou, který tvoří s dvoufázovým st motorem velmi výhodnou kombinaci. Konečné řešení, ke kterému bude možno sáhout až za učkolik let, přesto s magnetickými ze silovač nepočítá, a spolčíhá na slibný vývoj výkonových transistorů.

Problém nastavení pásma přenosu byl vyřešen vyvinntím dvou kvalitních rychlostních servomechanismů s vysokou sa hodnotou přenosu otovřené smyčky. U prvního z obou systémů, do jehož obvodu byl za st motor vřazen mechanický integrátor s kotoučem a kuličkou, dosahuje přenos dokonec ne konečné hodnoty, u druhého, v jehož smyčee je jen motor, hodnoty asi 60 dll3. To znamená, že v obou případech je pro řízení polohy k disposici dokonalý integrátor, a šířku pásma počítacího polohového servomechanismu je možno nastavit na libovolně malou hodnotu vhodnou volbou konstant stabilisačního filtru s úměrným plus integrálním přenosem. Charakteristika otevřeného obvo du počítacího servomechanismu má ovšem stejný tvar jako na obr. 21, ale úlohu konstanty τ_m určující šíři pásma, přebírá hlavní časová konstanta stabi

To był směr, kterým postupovaly práce na systémech servomechanismů. S nimi se souběžně řešila řada problémů elektrické i mechanické konstrukce, protože bylo nutno opatřit servomechanismy potřebnými elementy. Stručne o výsledeléh: Kromě vibračního relé, o němž byla řeč již v souvislosti s počíta cími zesilovači, byly vyvinuty přístrojové st servomotorky pro 50 i 500 Hz s vysokým poměrem záběrného momentu a momentu servačnosti (čtýřpólový motorek 500 Hz/1,5 W má maximální záběrný moment 40 gem, moment setr vačnosti 1 gems² a $M_z/J=40000~\rm s^{-2})$ a tedy s minimální časovou konstantou τ_m (theoretická časová konstanta, odpovídající uvedené hodnotě M_z/J a synchronám otáčkám 15000 ot/min, činí asi 0,04 s) (obr. 22). Z mechanických elementů běží o dvé provedení integrátorů s kotončem a kuličkou a o nejruz nější pohybové mechanismy, počínaje převodovými skříňkami servomotorů a konče několika typy spojek. Servomechanismy bylo třeba dále opatřit servo zesilovači s elektronickými a magnetickými zesilujícími stupni různého výkoma a zesilení.

15.4. Vstupní a výstupní jednotky

Při každém analogickém řešení je třeba do počítací sítě dané úlohy zavést vhodnou časovou změnu jedně či většího počtu nezávisle proměnných a za znamenat průběh odczvy všech závisle proměnných, které jsou pro řešení důležité. Do modelu typického polohového servomechanismu se na příklad oby čejně zavádí skoková změna — nebo skok rychlosti či zrychlení — napětí, představujícího vstupní úhel servomechanismu a zaznamenává se příslušná časová odczva napětí odpovídajícího výstupního úhlu. V tomto případě — a podobně tomu je i při modelování řady dalších regulačních úloh — stačí vstupní jednotku vybavit spinačem a potřebným počtem integračních zesilovačů a výstup zapsat pomocí vhoducho (na příklad několikasmyčkového) oscilografu.

U mnoha úloh se s jednoduchými vstupy nevystačí. Často je výhodné zavésí do některého vstupu šum — v tom případě je nutno vstupní jednodku doplnit použitím vhodného generátora šumu — a někdy se místo jednoduchých normálních vstupů, jež je možno vyrobit lineární úpravou skokové změny napětí, žádá složitější časová funkce vstupního signálu. Tady se obyčejně uplatní diodový generátor funkčních průběhů buzený lineárně rostoucím napětím z integračního zesilovače.

A nevystačí se mnohdy ani s oscilografickou výstupní jednotkou, neboť jednak oscilograf není nikdy natolik přesný, aby využil možnosti analogického výpočtu, a jednak je často třeba vynášet vzájemnou závislost dvou proměnných, z nichž ani jednou není čas. Lepší využití přesného analogického počitače umožní zapisovač XY – čili koordinátograf – s dvěma servomechanismy použitými k převodu ss napětí, odpovídajících dvěma proměnným veličinám úlohy na úměrný posuv ve dvou kolmých směrech odpovídajících proměnným pravoúhlým souřadnicím zápisu. Má-li být jednou proměnnou čast, musí jeden z obou polohových servomechanismů být schopen i funkce velmi přesného generátoru konstantní rychlosti. Kvalitní zapisovač je dále užitečné doplnit snimačem křivek. Jde o možnost zpětného převodu zápisu na přesně úměrné ss napětí vhodné k buzení počitače libovolnou časovou změnou vstupuí veličiny (zapisovač koná v tom případě i funkci vstupní jednotky počitače). Na kon strukci zapisovače XY vybaveného snimačem křivek i možností plynulého posuvu přesně definovanou konstantní rychlostí, což vše souhrnně představuje komplexní úkol velmi náročný jak po elektrické tak po mechanické stránce, se právě ve VÚT pracuje.

Mezi vstupy počítače je možno zahrnout i počáteční podmínky řešené úlohy. Jde o napětí, která musí byt zavedena před začátkem řešení do všech integračních zesilovačů modelu, aby při spuštění výpočtu byla ve všech bodech počítací sítě napětí přesně odpovídající stanoveným počátečním podmínkám. Zavedení vhodného napětí na výstup integračního zesilovače nečiní při jednorázovém řešení potíží. Je možno postupovat tak, že se zpětnovazební síř integrátoru přepne před započetím řešení do tvaru uvedeného v tabulce I na řádku II a do jejího vstupu se zavede napětí potřebné k získání žádaného u_0 , a při spuštění řešení se přepue do tvaru nutného k realisaci integrace (řádek 3).

Uvažované vstupní i výstupní jednotky umožňují výpočtářské použití počítače. Při zapojení počítače do výrobního či měřícího procesu je často třeba zajistit dálkový přenos úhlu natočení hřídele, po případě přenos kterékoliv jiné mechanické veličiny, již je možno převést na úhel. K tomu účelu byly ve VŮT vyvinnty přesně velmi rychlé širokopásmové vstupní servomechanismy se selsynovým indikátorem odchylky. Jejich technika vyšla z řešení počítacích servomechanismů [6],

15.5. Závěr

Přednáška o elektronických metodách analogického výpočtu měla dva oile. Šlo v ní předně o obecnou problematiku elektronických (a zčásti i elektromechanických) analogií a kromě toho měla stručně informovat o některých z výsledků, které byly na poli analogických počítačů dosaženy ve Výzkumném ústavu telekomunikací.

O analogických metodách byla řeč již na I. konferenci o automatisaci [8]. Proto bylo možno předpokládat znalost základních pravidel analogického výpočtu a soustředit pozornost především na ty stránky, které rozhodují o přesnosti nebo jsou důležité s hlediska praktického použití. Úvahy tohoto zaměření, jež byly do přednášky vřazeny, jsou z větší části původní. To se týká především statí o modelech lineárních úloh, tvořící jádro přednášky.

Informace o prveích analogii, vyvinutých ve VÚT, jsou doplněny v dalších

přednáškách podrobnějším pojednáním o servomechanismech konstruovaných pro použití při analogickém výpočtu [6] a o sestavě počítačů [3, 7].

Literatura

- Trudy vtorogo vsesojuznogo sověščanija po těorii avtomatičeskogo regulirovanija, Izd. AN SSSR, 1955.
- [2] B. Mirtes, Stejnosměrný zesilovač v analogických počítačích. Vyjde ve Slabopr.
- [3] J. ŠKARDA, Analysa a synthesa servomechanismú s nelinearitami na analogickém
- počítačí. Uveřejného v tomto sborníku.

 [4] J. Podzimek, Přesnó tyčové potenciometry pro analogové počítací stroje. Stroje na zpracování informací. Sborník IV. nakladatelství ČSAV, 1956.
- zpracování informací. Sborník IV. nakladatelství ČSAV, 1956. [5] G. S. BROWN, D. P. CAMPBELL, Principles of servomechanisms, J. Wiley & Sons, New
- [6] Z. Sládek, Servomechanismy použité v analogickém počítači. Uveřejněno v tomto
- [5] Z. Diadzek, voc. voc. sborníku.
 [7] Z. Fixa, Čelková koncepce analogického počítače VÚT. Uveřejněno v tomto sborníku.
 [8] Souhrn prací o automatisaci. Nakladatelství ČSAV, 1955.

Obr. 3. Blakové schema počítnetho zesilovače s nutomatickým mlovánim.

Obr. 2. Amplitudové charokteristiky přemost otevěnuš smycky počítnetho zesilovače v sumačním zobr. 3. Korekce průběha v mutí potenciometru nutná k desařzní limérnille přemost ng. * Ru, (pro k proměnuš od tok 1) s potenciometrou ateria k desařzní limérnille přemost ng. * Ru, (pro k proměnuš od tok 1) s potenciometrou ateria k desařzní limérnille přemost ng. * Ru, (pro k proměnuš od tok 1) s potenciometrou ateria k desařzní limérnille přemost ng. * Ru, (pro k proměnuší neby tele v se sevenání s blažným e vlavěním se potřaceho z seminárumí elektronkou (b).

Obr. 5. Vibrační reb V UT ve sevenání s blažným a vlavěním ciničním a se dvěma pentodami.

Obr. 5. Závislad mižkavetho prosulu trady na přehpění nířsky při konstinním anodovém napět.

Obr. 5. Avislad mižkavetho prosulu trady na přehpění nířsky při konstinním anodovém napět.

Obr. 6. Merovenění část přemosu síla ná přihlžině tvar gly) * 1 ± C, R_pP jestiže (Re + R_d) > R_d ~ R_b, R, R, ~ R_b, ~ R_b, ~ R, ~ C (s + C), C, R_d R_d, R_d, R, O, R_b ° gat 10.

Obr. 10. Model jednoducháho servomecharismu definavaného fluvární deformidní rovnicí 2. řídu.

Obr. 12. Amplitudové charakteristiky otej sine sayety, na didovov nelimentný.

Obr. 13. Elementním zapodním zapodním deformentním v deformentním v

121a

$$\begin{split} u_0 &= -u_i \\ u_0 &= -\frac{R_1}{R_1} u_i \\ u_0 &= -\frac{1}{pCR} u_i \\ u_0 &= -pCRu_i \\ u_0 &= -\left(\frac{A_0}{R_1} u_1 + \frac{R_0}{R_2} u_1 + \dots \frac{R_0}{R_n} u_n\right) \\ u_0 &= -\frac{1}{p} \left(\frac{u_1}{R_1C} + \frac{u_2}{R_2C} + \dots + \frac{u_n}{R_nC}\right) \\ u_0 &= -\frac{1}{\alpha} u_i, \quad 0 \leq \alpha \leq 1 \\ u_0 &= -\alpha u_i \\ u_0 &= -\frac{1}{p} \frac{RC}{\alpha} u_i \\ u_0 &= -p \frac{RC}{\alpha} u_i \end{split}$$

$$u_0 = -\frac{R_2}{R_1} \frac{1}{1 + pR_2C} u_1$$

$$R_1 + pR_2C$$

$$u_0 = -\frac{R_2}{R_1} \frac{1 + pR_1C}{p} u$$

$$u_0 = -\frac{pR_1C}{pR_1C}u_j$$

$$u_0 = -\frac{pR_1C}{1 + pR_1C}u_i$$

$$u_0 = -\frac{pR_2C_1}{(1+pR_1C_1)(1+pR_2C_2)}u_i$$

$$u_0 = -\frac{(1 + pR_1C_1)(1 + pR_1C_3)}{p^2R_1C_3} u_i$$

$$u_{0} = -\frac{C_{1}}{C_{2}} \frac{1 + pR_{2}C_{2}}{1 + pR_{1}C_{1}} u_{i}$$

$$u_{0} = -\frac{R_{2}}{R_{1}}\frac{1 + pR_{1}C_{1}}{1 + pR_{2}C_{2}}u_{i}$$

$$u_0 = -\left(\frac{R_a + R_c}{\alpha R_1}u_1 + \frac{R_a + R_c}{\alpha R_2}u_2 + \dots\right)$$

$$+\frac{R_a+R_o}{\alpha R_n}u_n\bigg)\frac{p\left(R_b+\frac{R_aR_o}{R_a+R_o}\right)C+1}{pCR+1}$$